

**INTRODUÇÃO À TOPOLOGIA
DE SINGULARIDADES
COMPLEXAS**

**Mario Jorge Dias Carneiro e
Marcio Gomes Soares**

COPYRIGHT © - 1985 - by Mario Jorge Dias Carneiro
Marcio Gomes Soares

Nenhuma parte deste livro pode ser reproduzida,
por qualquer processo, sem a permissão dos autores.

INSTITUTO DE MATEMÁTICA PURA E APLICADA

Estrada Dona Castorina 110

22.460 - Rio de Janeiro - RJ

Prefácio

O objetivo destas notas é expor alguns resultados fundamentais sobre a topologia de uma hipersuperfície complexa na vizinhança de um ponto singular isolado.

Uma hipersuperfície complexa V em \mathbb{C}^{n+1} é um subconjunto $V = \{(z_1, \dots, z_{n+1}) \in \mathbb{C}^{n+1} / f(z_1, \dots, z_{n+1}) = 0\}$ onde f é uma função holomorfa. Dizemos que um ponto $p \in V$ é um ponto singular isolado de V se p é um ponto crítico isolado de f isto é, se $f(p) = \frac{\partial f}{\partial z_1}(p) = \dots = \frac{\partial f}{\partial z_{n+1}}(p) = 0$ e existe uma vizinhança U de p em \mathbb{C}^{n+1} tal que $q \in V \cap U$ e $q \neq p$ então $\frac{\partial f}{\partial z_j}(q) \neq 0$ para algum $j \in \{1, \dots, n+1\}$.

Este trabalho está dividido em 6 capítulos.

Iniciamos no primeiro capítulo com um histórico sobre a teoria clássica de curvas em \mathbb{C}^2 onde se obtém os invariantes topológicos locais da curva como os coeficientes da expansão de Puiseux.

O segundo capítulo trata do resultado básico para o caso geral que é o Teorema da Fibrção de Milnor. Este resultado, que é válido para singularidades não isoladas também, permite-nos obter os primeiros invariantes topológicos locais de V . De fato por um teorema de King (que não trataremos aqui) caracteriza-se o tipo topológico local da hipersuperfície em termos desta fibração e da interseção K de V com uma pequena esfera em \mathbb{C}^{n+1} centrada no ponto p (vide *[King]).

* As referências no texto aparecem com o nome do autor (ou autores) entre colchêtes.

No terceiro capítulo estuda-se a topologia da fibra da Fibrção de Milnor e de K via teoria de Morse. Obtem-se assim para o caso de singularidade isolada a primeira definição de número de Milnor.

No capítulo IV define-se monodromia de uma singularidade isolada e prova-se que a monodromia (e portanto o número de Milnor) é um invariante associado ao tipo topológico local de V . Em vista disto descreve-se métodos para calcular o número de Milnor ou seja, as várias noções de multiplicidade.

O conceito de ciclo evanescente e a fórmula de Picard-Lefschetz são estudados no capítulo V bem como para o caso $n=1$ se estabelece a relação entre o polinomio característico da monodromia e o polinômio de Alexander de K .

Finalizamos com o capítulo VI onde é feita uma descrição da teoria de Brieskorn para o cálculo da monodromia.

Procuramos fazer com que esta exposição fosse acessível àqueles que possuem conhecimentos equivalentes a um curso básico de topologia algébrica, alguma álgebra comutativa e análise complexa elementar. Entretanto trata-se de uma teoria que toca vários campos da matemática tornando-se até difícil precisar os pré-requisitos necessários.

Vários tópicos importantes deixaram de ser tratados aqui, entre eles podemos apontar, a relação entre poliedro de Newton e monodromia, o estudo mais aprofundado de K (suas estruturas diferenciais por exemplo) e evidentemente a teoria de Brieskorn, suas consequências e generalizações. Optamos por

oferecer no capítulo VI uma descrição dos resultados de Brieskorn principalmente por que os pré-requisitos que devem ser admitidos lá são bastante diferentes dos que aparecem nos demais capítulos destas notas.

Incluimos dois apêndices: o primeiro trata de generalidades sobre subconjuntos algébricos em especial do Teorema de Whitney que afirma que a diferença entre dois subconjuntos algébricos possui no máximo um número finito de componentes conexas. No apêndice II encontramos uma prova do Lema de Seleção da Curva que é bastante usado nesta teoria.

Os autores agradecem a Lê Dũng Tráng e aos participantes dos seminários sobre Singularidades Complexas, realizados na UFMG e no IMPA, que portanto colaboraram na elaboração destas notas:

D. Avritzer, E. Chínaro, M.C. Ferreira, M.M. Pinto, P. Sad,
A. Lins Neto, J.C. Martins, C. Camacho.

Agradecemos também a Rogério Dias Trindade pelo excelente trabalho datilográfico.

Marcio Gomes Soares

Mário Jorge Dias Carneiro

Í N D I C E

CAPÍTULO I:	Histórico de alguns resultados sobre singularidades de curvas planas	1
CAPÍTULO II:	O Teorema da Fibrção	18
CAPÍTULO III:	A Topologia da Fibra e de K	41
CAPÍTULO IV:	A Monodromia Local	59
CAPÍTULO V:	A Fórmula de Picard-Lefschetz	90
CAPÍTULO VI:	A Conexão de Gauss-Manin	114
APÊNDICE I:	Alguns resultados básicos sobre conjuntos algébricos	139
APÊNDICE II:	O Lema de Seleção da Curva	148
REFERÊNCIAS:	155

CAPÍTULO I

HISTÓRICO DE ALGUNS RESULTADOS SOBRE SINGULARIDADES DE CURVAS PLANAS

Vamos considerar uma aplicação polinomial não constante $f: \mathbb{C}^2 \rightarrow \mathbb{C}$ que se anula na origem, que é analiticamente irreduzível em $0 \in \mathbb{C}^2$, isto é, o ideal $\langle f \rangle$ gerado por f no anel das séries formais $\mathbb{C}[x, y]$ é primo; e que tem $0 \in \mathbb{C}^2$ como ponto crítico (necessariamente isolado já que $\langle f \rangle$ é primo).

O problema de determinação de invariantes topológicos associados a uma tal singularidade, a partir de invariantes analíticos, foi considerado por [K. Brauner] e o método por êle utilizado consiste em estudar a interseção do conjunto de zeros de f com uma esfera de raio suficientemente pequeno. [Bourbaki], [Kähler] e [Zariski] também consideraram êsse problema e o que pretendemos é descrever alguns dos resultados por êles obtidos.

Sejam $V = f^{-1}(0)$, B_ϵ a bola fechada de centro na origem e raio $\epsilon > 0$, $S_\epsilon = \partial B_\epsilon$. Em II.1 é demonstrado que para ϵ suficientemente pequeno a esfera S_ϵ intercepta V transversalmente e que o par $(B_\epsilon, B_\epsilon \cap V)$ é homeomorfo ao par $(B_\epsilon, \text{Cone}(K_\epsilon))$ onde $K_\epsilon = S_\epsilon \cap V$. Além disso, o tipo do entrelaçamento K_ϵ não depende de ϵ desde que esse seja suficientemente pequeno. A hipótese de ser f analiticamente irreduzível em 0 implica que K_ϵ é conexo, ou seja, trata-se de um

nó. Para estudarmos o tipo de K_e precisaremos do teorema de Puiseux, que passamos a descrever (cf. [Walker]).

Seja $\mathbb{C}[t]$ o anel das séries formais em t e $\mathbb{C}((t))$ o seu corpo de frações. Todo elemento $\bar{a} \in \mathbb{C}((t))$ pode ser escrito, de modo único, na forma

$$\bar{a} = t^k(a_0 + a_1 t + \dots) \quad \text{com } a_0 \neq 0 \quad \text{e } k \in \mathbb{Z}.$$

O inteiro k é chamado de ordem de \bar{a} e notado $v(\bar{a})$. Uma substituição é um \mathbb{C} -homomorfismo $\varphi: \mathbb{C}((t)) \rightarrow \mathbb{C}((t))$ definido pela substituição de t por um elemento $\varphi(t) \in \mathbb{C}((t))$ com $v(\varphi(t)) > 0$. A ordem de uma substituição φ é, por definição, o inteiro $v(\varphi(t))$.

Uma parametrização de uma curva algébrica plana irreduzível C é um elemento $(\bar{x}, \bar{y}) \in \mathbb{C}[t]^2 \setminus \mathbb{C}^2$ tal que $g(\bar{x}, \bar{y}) = 0$, onde g é o gerador de $I(C)$. O ponto $(\bar{x}(0), \bar{y}(0)) \in \mathbb{C}^2$ é chamado de centro da parametrização.

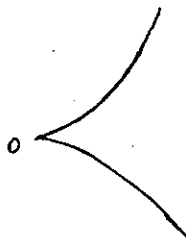
Se φ é uma substituição, podemos estendê-la uma parametrização colocando $\varphi(\bar{x}, \bar{y}) = (\varphi(\bar{x}), \varphi(\bar{y}))$. Daí segue que se (\bar{x}, \bar{y}) é uma parametrização de C , $\varphi(\bar{x}, \bar{y})$ também o é e com mesmo centro, uma vez que $\varphi(g(\bar{x}, \bar{y})) = g(\varphi(\bar{x}), \varphi(\bar{y}))$.

Diremos que duas parametrizações são equivalentes caso uma possa ser obtida a partir da outra por uma substituição de ordem 1. Uma parametrização (\bar{x}, \bar{y}) é dita reduzível se pode ser obtida de uma outra parametrização através de uma substituição de ordem maior que 1. (\bar{x}, \bar{y}) é dita irreduzível caso contrário. Finalmente, um ramo de C é uma classe de equiva-

lência de parametrizações irredutíveis. O centro do ramo é o centro de qualquer parametrização que o represente.

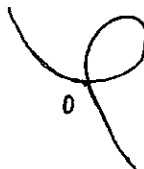
Exemplos:

(i) $C := \{x^3 - y^2 = 0\}$



C possui um único ramo de centro $(0,0)$, representado pela parametrização $\bar{x} = t^2$, $\bar{y} = t^3$.

(ii) $C := \{x^3 + y^3 - xy = 0\}$



C possui dois ramos de centro $(0,0)$ representados, respectivamente, pelas parametrizações irredutíveis

$$\begin{aligned} \bar{x}_1 &= t(1+t^3)^{-1} & \bar{x}_2 &= t^2(1+t^3)^{-1} \\ \bar{y}_1 &= t^2(1+t^3)^{-1} & \bar{y}_2 &= t(1+t^3)^{-1} \end{aligned} \quad \text{e}$$

Para ver isso considere o feixe de retas $y = tx$. Substituindo na equação que define C temos $x^2(x+t^3x-t) = 0$. Resolvendo $x + t^3x - t = 0$ obtemos $x = \frac{t}{1+t^3}$ e daí $y = \frac{t^2}{1+t^3}$. Um processo sistemático para obtenção de parametrizações é dado

por uma demonstração do teorema de Puiseux, baseada no chamado método do polígono de Newton (cf. [Simis]).

A caracterização de parametrizações irreduzíveis é dada pela

Proposição I.1:

Seja C uma curva em \mathbb{C}^2 distinta da curva $x=\text{const.}$. Então toda parametrização de C com centro em (a,b) é equivalente a uma da forma

$$\begin{aligned}\bar{x} &= a + t^r \\ \bar{y} &= b + b_1 t + b_2 t^2 + \dots, \quad r > 0\end{aligned}$$

Além disso, duas tais parametrizações são equivalentes se e somente se elas diferem por uma substituição do tipo $t \rightarrow \xi t$ com $\xi^r = 1$. Mais ainda, uma parametrização dessa forma é redutível se e somente se

$$\text{m.d.c.}\{m: m = r \text{ ou } b_m = 0\} > 1.$$

Vamos considerar agora o corpo das séries fracionárias. Seja $\mathbb{C}((x^{1/r}))$ o corpo de frações do anel das séries formais em $x^{1/r}$ onde $r \in \mathbb{N}$. Temos uma inclusão

$$\begin{array}{ccc}\mathbb{C}((x^{1/r})) & \xrightarrow{i_{s,r}} & \mathbb{C}((x^{1/s})) \\ x^{1/r} & \longmapsto & (x^{1/s})^{s/r}\end{array}$$

sempre que $r|s$ e portanto um sistema indutivo $\{\mathbb{C}((x^{1/r}))\}_{r \in \mathbb{N}}$.

O limite indutivo desse sistema é notado $\mathbb{C}\{x\}$ e chamado de corpo das séries formais fracionárias. Note que todo elemento $\bar{y} \in \mathbb{C}\{x\}$ se escreve na forma

$$\bar{y} = a_1 x^{r_1} + a_2 x^{r_2} + \dots \quad \text{onde} \quad a_1 \neq 0, r_i \in \mathbb{Q}, r_1 < r_2 < \dots$$

e se escrevermos r_i em forma irredutível $r_i = \frac{p_i}{q_i}$ então existe $q \in \mathbb{N}$ tal que $q_i \leq q$ para todo i . A ordem de \bar{y} é definida por $v(\bar{y}) = r_1$.

Teorema (Puiseux)

$\mathbb{C}\{x\}$ é algèbricamente fechado.

No enunciado acima podemos trocar \mathbb{C} por um corpo algèbricamente fechado de característica zero.

Seja $C := \{g = 0\}$ uma curva irredutível em \mathbb{C}^2 e considere g em $\mathbb{C}\{x\}[y]$ (estamos supondo que C é distinta de $x = \text{const.}$). Então,

Proposição I.2:

Existe uma correspondência entre o conjunto de ramos de C com centro $(0,0)$ e o conjunto de soluções \bar{y} de $g(x, \bar{y}) = 0$ em $\mathbb{C}\{x\}$ tais que $v(\bar{y}) > 0$. Mais precisamente, a cada solução \bar{y} com $v(\bar{y}) > 0$ corresponde um único ramo e a cada ramo de centro $(0,0)$ correspondem exatamente $v(\bar{x}_1)$ soluções de $g(x, \bar{y}) = 0$ onde $v(\bar{x}_1)$ é a ordem da primeira componente de uma parametrização (\bar{x}_1, \bar{y}_1) que represente o ramo.

Demonstração:

Seja \bar{y} uma solução de $g(x, \bar{y}) = 0$ com $v(\bar{y}) > 0$ (essa condição é necessária para que o centro seja $(0,0)$). Tome o menor inteiro r tal que $\bar{y} \in \mathbb{C}((x^{1/r}))$. Então obtemos uma parametrização

$$\begin{aligned}\bar{x}_1 &= t^r \\ \bar{y}_1 &= \bar{y}(t^r)\end{aligned}$$

que é irredutível pela proposição I.1 e que portanto determina um ramo de centro $(0,0)$.

Dada uma parametrização irredutível $\bar{x}_1 = t^r, \bar{y}_1 = \sum_{i \geq 1} a_i t^i$ obtemos uma solução $\bar{y} = \sum_{i \geq 1} a_i x^{i/r}$. A substituição $t \rightarrow \xi t$, com $\xi^r = 1$ fornece a solução \bar{y} com $x^{1/r}$ substituído por $\xi x^{1/r}$. Como existem r raízes da unidade e r é minimal, cada uma dessas substituições fornece soluções distintas. Além disso, $g(x, \bar{y}) = 0$ não possui soluções múltiplas, isto porque, sendo $g(x, y)$ irredutível em $\mathbb{C}[x, y]$ e envolve y , não possui soluções múltiplas em $\mathbb{C}\{x\}[y]$, já que a condição para que isso ocorra é uma condição polinomial nos coeficientes que não se altera sob extensões de corpos.

O resultado acima se transporta ao caso formal $g \in \mathbb{C}\{x, y\}$ (e mesmo ao caso convergente) desde que g seja, digamos, regular em relação a y . Pois pelo teorema de preparação de Weierstrass podemos escrever $g = uP$ com u uma unidade e $P \in \mathbb{C}\{x\}[y]$. Se $\bar{y}_1, \dots, \bar{y}_n$ são as soluções de $P(x, \bar{y}) = 0$ em $\mathbb{C}\{x\}$ então $g = u \prod_{i=1}^n (y - \bar{y}_i)$.

Retornamos agora à situação do início do capítulo. Seja $\bar{y} = \sum_{i \geq 1} a_i x^{\frac{\alpha_i}{n}}$ o desenvolvimento de Puiseux de V com centro $(0,0)$. Suponha que $y = 0$ é tangente a V em $(0,0)$. Então $\frac{\alpha_1}{n} > 1$ e $n \nmid \alpha_1$. Seja $\bar{x}_1 = t^n$, $\bar{y}_1 = \sum_{i \geq 1} a_i t^{\alpha_i}$ a parametrização associada. Ponha $e_1 = (n, \alpha_1)$ (máximo divisor comum) e $m_1 = \frac{\alpha_1}{e_1}$, $n_1 = \frac{n}{e_1}$. Seja β_q o menor expoente de t cujo coeficiente em \bar{y}_1 é não nulo e tal que $e_{q-1} \nmid \beta_q$. Ponha $e_q = (e_{q-1}, \beta_q)$ e $n_q = \frac{e_{q-1}}{e_q}$, $q \geq 2$. Seja g o maior inteiro tal que $n_g > 1$. Obtemos dessa maneira uma sequência finita n_1, n_2, \dots, n_g satisfazendo $n_1 \cdot n_2 \cdot \dots \cdot n_g = n$, $\beta_q = \frac{m_q}{n_1 \cdot \dots \cdot n_q} n$ com $(m_q, n_q) = 1$, $1 \leq q \leq g$. A sequência $(m_1, n_1), \dots, (m_g, n_g)$ é chamada de sequência de pares de Puiseux do ramo V , g é chamado gênero do ramo e $n, \alpha_1 = \beta_1, \beta_2, \dots, \beta_g$ são chamados expoentes característicos. Todos esses são invariantes analíticos.

Passamos agora à definição de um nó tórico iterado. Seja $(m_1, n_1), \dots, (m_g, n_g)$ uma sequência de pares de inteiros positivos. Definimos indutivamente o nó K_g como segue: Considere o toro T^2 mergulhado em \mathbb{R}^3 através de

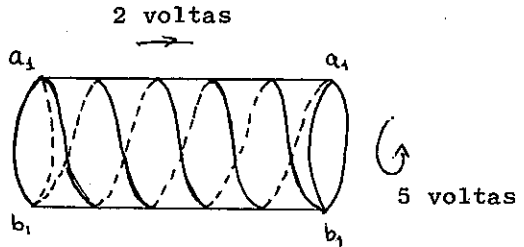
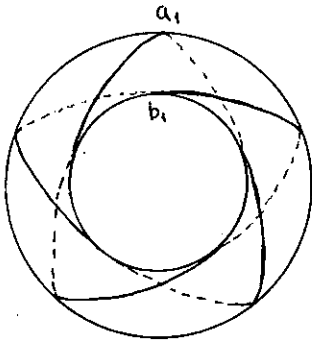
$$S^1 \times S^1 \xrightarrow{h} S^3 \xrightarrow{k} T^2 \subset \mathbb{R}^3$$

onde $h(e^{i\theta}, e^{i\tau}) = \frac{1}{\sqrt{2}} (e^{i\theta}, e^{i\tau})$ e k é a projeção estereográfica. Chamaremos de paralelo à curva em T^2 imagem de $\{e^{i\theta}\} \times S^1$ e de meridiano à imagem de $S^1 \times \{e^{i\tau}\}$. Se $g = 1$ seja K_1 a imagem em T^2 de $\lambda: e^{i\rho} \rightarrow (e^{im_1\rho}, e^{in_1\rho})$. K_1 é dito um nó tórico de tipo (m_1, n_1) isto porque se $\pi_i: S^1 \times S^1 \rightarrow S^1$, $i = 1, 2$, denota a i -ésima projeção sobre S^1

então $\pi_1 \circ \lambda$ e $\pi_2 \circ \lambda$ têm graus m_1 e n_1 respectivamente.

Exemplo:

$$(m_1, n_1) = (2, 5)$$



Se $g > 1$ suponha construído o nó K_{g-1} e que este está mergulhado em \mathbb{R}^3 . Tome uma vizinhança tubular $W_g \subset \mathbb{R}^3$ de K_{g-1} . Existe um difeomorfismo $H: \partial W_g \rightarrow S^1 \times S^1$ tal que $H^{-1}(\{e^{i\theta}\} \times S^1)$ seja um paralelo de ∂W_g ($H^{-1}(S^1 \times \{e^{i\tau}\})$ seja um meridiano), isto é, $H^{-1}(\{e^{i\theta}\} \times S^1)$ tem número de entrelaçamento zero com K_{g-1} ($H^{-1}(S^1 \times \{e^{i\tau}\})$ tem número de entrelaçamento 1 com K_{g-1}). Considere o nó tórico K_g^* de tipo (ℓ_g, n_g) em $S^1 \times S^1$ onde $\ell_g = m_g - m_{g-1}n_g + \ell_{g-1}n_{g-1}n_g$ ($\ell_1 = m_1$). Então $K_g = H^{-1}(K_g^*)$ é dito o nó iterado definido pela sequência $(m_1, n_1), \dots, (m_g, n_g)$.

Estamos em condições de enunciar o seguinte

Teorema (Brauner)

Seja $f: \mathbb{C}^2 \rightarrow \mathbb{C}$ uma aplicação polinomial satisfazendo $f(0) = 0$ e analiticamente irreduzível em 0 . Então, para $\epsilon > 0$ suficientemente pequeno, o nó $K_\epsilon = S_\epsilon \cap V$ em S_ϵ tem o tipo do nó K_g determinado pela sequência de pares de Puiseux de V em 0 .

O teorema de Brauner diz que o tipo topológico de f em $0 \in \mathbb{C}^2$ é o mesmo que o da curva algébrica determinada por $\bar{x} = t^n$, $\bar{y} = t^{\beta_1} + \dots + t^{\beta_g}$. Kähler considerou esse problema no caso de vários ramos e a conclusão a que se chega é que dadas duas curvas $V_1 =: \{f_1 = 0\}$, $V_2 =: \{f_2 = 0\}$ não necessariamente analiticamente irreduzíveis em 0 , porém reduzidas (isto é, a decomposição em componentes analíticas irreduzíveis $f_i = f_{1_i} \dots f_{j_i}$ ($i=1,2$) não possui fator múltiplo), que determinam igual número de ramos de centro $(0,0)$, sendo que a cada ramo de V_1 corresponde exatamente um ramo de V_2 possuindo os mesmos expoentes característicos e tais que os números de interseção dos ramos de V_1 em 0 , tomados dois a dois, são iguais aos números de interseção dos ramos de V_2 em 0 , tomados dois a dois, então os entrelaçamentos $K_1 = S_\epsilon \cap V_1$ e $K_2 = S_\epsilon \cap V_2$ são isotópicos. Zariski e Burau, independentemente, mostraram que se f é analiticamente irreduzível em 0 , então os expoentes característicos (e portanto a sequência de pares de Puiseux) são invariantes topológicos.

Dado um nó $K \subset S^3$, o grupo fundamental $\pi_1(S^3 - K, p)$

do complementar de K em S^3 é chamado grupo do nó. Obviamente se dois nós K_1 e K_2 são do mesmo tipo os grupos associados são isomorfos. O recíproco desse fato é falso em geral porém, em se tratando de nós algébricos, isto é, $K_g = S_g \cap V$, $V = f^{-1}(0)$ com f um polinômio analiticamente irreduzível em $0 \in \mathbb{C}^2$, o grupo do nó caracteriza o seu tipo. Na realidade basta considerarmos um invariante mais fraco que $\pi_1(S^3 - K, p)$ a saber, o chamado polinômio de Alexander, para caracterizarmos o tipo do nó. Mais precisamente temos

Proposição I.3:

Dois nós algébricos cujos polinômios de Alexander são iguais têm o mesmo tipo.

A demonstração será feita mais adiante, após algumas definições e resultados. A referência básica para o que se segue é [Crowell-Fox].

Primeiramente, note que dada uma seqüência de pares de inteiros positivos e primos entre si $(m_1, n_1), \dots, (m_g, n_g)$ esta é uma seqüência de pares de Puiseux se e somente se $m_{i-1}n_i < m_i$ para $i = 2, \dots, g$.

Lema I.4 ([Zariski])

Seja K_g o nó iterado definido pela seqüência de pares de Puiseux $(m_1, n_1), \dots, (m_g, n_g)$. Então o grupo $G = \pi_1(S^3 - K_g, p)$ de K_g é definido pelos geradores $P_i (i=1, \dots, g+1)$

e $Q_j (j=1, \dots, g)$ e pelas relações r_i e s_i dadas por

$$P_i^{\alpha_i} Q_{i-1}^{n_i-1} Q_i^{n_i} Q_i^{-n_i} = r_i \quad i = 1, \dots, g$$

$$P_{i+1}^{y_i} P_i^{n_i} Q_{i-1}^{n_i-1} Q_i^{x_i} Q_i^{-x_i} = s_i \quad i = 1, \dots, g$$

onde

$$Q_0 = 1$$

$$\alpha_1 = m_1$$

$$\alpha_i = m_i - n_i m_{i-1}, \quad i = 2, \dots, g$$

e x_i e y_i são inteiros tais que $\alpha_i x_i = n_i y_i + 1, i=1, \dots, g$.

Exercício: Demonstre o lema acima no caso $g = 1$.

Em [Crowell-Fox] é demonstrado que o abelianizado de G , isto é, G/G' onde G' é o subgrupo dos comutadores, é cíclico infinito (isto também pode ser visto notando que K_g é homeomorfo a S^1 e por dualidade de Alexander $G/G' \simeq H_1(S^3 \setminus K_g) \simeq \mathbb{Z}$).

Dado um grupo multiplicativo G considere o seu anel de grupo sobre os inteiros, $\mathbb{Z}[G]$. Se $\varphi: G \rightarrow G_1$ é um homomorfismo de grupos, então φ admite uma extensão única a um homomorfismo de anéis $\phi: \mathbb{Z}[G] \rightarrow \mathbb{Z}[G_1]$. Uma derivação em $\mathbb{Z}[G]$ é um homomorfismo aditivo

$$D: \mathbb{Z}[G] \longrightarrow \mathbb{Z}[G] \quad \text{satisfazendo}$$

$$D(xy) = D(x)\tau(y) + xD(y) \quad \text{onde } \tau: \mathbb{Z}[G] \rightarrow \mathbb{Z} \text{ é o}$$

homomorfismo trivializador definido por $\tau(\sum_i n_i y_i) = \sum_i n_i$.

Suponha agora que F é um grupo livre gerado por x_1, x_2, \dots . Temos que a cada gerador x_j está associada uma única derivação $D_j = \frac{\partial}{\partial x_j}: \mathbb{Z}[F] \rightarrow \mathbb{Z}[F]$ satisfazendo $\frac{\partial x_i}{\partial x_j} = \delta_{ij}$ (símbolo de Kronecker).

Se G é o grupo de um nó, definido pelos geradores x_1, \dots, x_k e pelas relações r_1, \dots, r_q , sejam F o grupo livre de tipo finito gerado por x_1, \dots, x_k e $\gamma: F \rightarrow G$ o epimorfismo cujo núcleo é gerado por r_1, \dots, r_q . Considere a sequência de anéis e homomorfismos de anéis

$$\mathbb{Z}[F] \xrightarrow{\frac{\partial}{\partial x_j}} \mathbb{Z}[F] \xrightarrow{\Gamma} \mathbb{Z}[G] \xrightarrow{\Lambda} \mathbb{Z}[G/G']$$

onde Γ e Λ são as extensões de γ e de $G \xrightarrow{\lambda} G/G'$ (epimorfismo canônico) respectivamente.

A matriz de Alexander de G é a matriz definida por

$$a_{ij} = \Lambda \Gamma \left(\frac{\partial r_i}{\partial x_j} \right), \quad \begin{matrix} i = 1, \dots, q \\ j = 1, \dots, k \end{matrix}$$

Adjuntando relações redundantes, se necessário, podemos supor $q \geq k$. Seja E_ℓ o ideal de $\mathbb{Z}[G/G']$ gerado pelos menores de ordem $k - \ell$ de (a_{ij}) . Obtemos uma sequência ascendente de ideais

$$E_0 \subset E_1 \subset \dots \subset E_k = \mathbb{Z}[G/G']$$

chamados ideais elementares de G . O seguinte resultado justi-

fica essa terminologia.

Proposição I.5: (Invariância dos Ideais Elementares)

A sequência de ideais elementares de G não depende da escolha dos geradores e das relações que definem G .

Como $G/G' \simeq \mathbb{Z}$, $\mathbb{Z}[G/G']$ é isomorfo ao anel $\mathbb{Z}[t, t^{-1}]$ onde t é uma indeterminada. Além disso, toda família de elementos de $\mathbb{Z}[t, t^{-1}]$ possui um máximo divisor comum definido, evidentemente, a menos de multiplicação por uma unidade ($\pm t^n$) de $\mathbb{Z}[t, t^{-1}]$.

O ℓ -ésimo polinômio do nó, Δ_ℓ , é o gerador do menor ideal principal que contém o ideal elementar E_ℓ . Δ_ℓ é um invariante do tipo do nó. Como Δ_ℓ é definido a menos de multiplicação por uma potência inteira de t , podemos escolhê-lo de tal modo que $\Delta_\ell(0) \neq 0$ para $\ell \geq 1$ uma vez que $E_0 = (0)$.

Proposição I.6:

O ideal elementar E_1 é principal e o seu gerador Δ_1 é chamado polinômio de Alexander do nó.

Exercício: Mostre que o polinômio de Alexander de um nó tórico de tipo (m_1, n_1) é
$$\Delta(t) = \frac{(t^{m_1 n_1} - 1)(t - 1)}{(t^{m_1} - 1)(t^{n_1} - 1)}$$

Retornamos agora à situação do lema I.4. Em [Zassenhaus] é demonstrado que, se

$$\mathbb{Z}[G] \xrightarrow{\Lambda} \mathbb{Z}[G/G'] \simeq \mathbb{Z}[t, t^{-1}] \quad \text{então}$$

$$\Lambda(P_{g+1}) = t, \quad \Lambda(P_i) = t^{\gamma_i}, \quad \Lambda(Q_i) = t^{\tau_i \gamma_{i+1}} \quad \text{onde}$$

$$\gamma_i = n_i \dots n_g, \quad i = 1, \dots, g \quad \text{e} \quad \tau_1 = \alpha_1$$

$$\gamma_{g+1} = 1 \qquad \tau_i = \alpha_i + \tau_{i-1} n_i n_{i-1},$$

$$i = 2, \dots, g$$

Seja $f_{\tau, n}(t) = \frac{(t^{\tau n} - 1)(t - 1)}{(t^{\tau} - 1)(t^n - 1)}$. Então,

Lema I.7 (Lê, [1])

O polinômio $\Delta(t) = (-1)^g f_{\tau_1, n_1}(t^{\gamma_2}) f_{\tau_2, n_2}(t^{\gamma_3}) \dots f_{\tau_g, n_g}(t)$ é o polinômio de Alexander do nó K_g .

Note que as raízes de $\Delta(t)$ são raízes da unidade. Portanto, podemos escrever $\Delta(t) = \prod_{s \in S} (g_s(t))^{k_s}$ onde g_s é o polinômio ciclotômico irredutível sobre \mathbb{Q} cujas raízes são as s -ésimas raízes primitivas da unidade, S é o conjunto de tais raízes que são também raízes de $\Delta(t)$ e k_s é um inteiro positivo. Finalmente temos a

Demonstração da Proposição I.3:

Sejam K e K' dois nós algébricos definidos pelas

sequências de pares de Puiseux $(m_1, n_1), \dots, (m_g, n_g)$ e $(m'_1, n'_1), \dots, (m'_g, n'_g)$ respectivamente, e sejam $\Delta(t)$ e $\Delta'(t)$ os correspondentes polinômios de Alexander. Como $\Delta(t) = \Delta'(t)$, se escrevermos

$$\Delta(t) = \prod_{s \in S} (g_s(t))^{k_s}, \quad \Delta'(t) = \prod_{s' \in S'} (g_{s'}(t))^{k_{s'}} \quad \text{então } S=S'$$

Temos a seguinte desigualdade:

(*) $l_g > l_i n_i \dots n_g, \quad i = 1, \dots, g-1$. De fato, pela observação que antecede o lema I.4, $m_i > n_i m_{i-1}, \quad i = 2, \dots, g$, daí,
 $l_i = m_i - n_i m_{i-1} + l_{i-1} n_i n_{i-1} > l_{i-1} n_i n_{i-1}, \quad i = 2, \dots, g$. Logo,
 $l_g > l_{g-1} n_{g-1} n_g > \dots > l_{i-1} n_{i-1} \dots n_g > \dots > l_1 n_1 \dots n_g$.

Considere agora o polinômio

$$f_{l_i, n_i}(t^{y_{i+1}}) = \frac{(t^{l_i n_i \dots n_{g-1}})(t^{n_{i+1} \dots n_{g-1}})}{(t^{l_i n_{i+1} \dots n_{g-1}})(t^{n_i \dots n_{g-1}})}$$

e seja ξ uma s-ésima raiz primitiva da unidade. Então ξ é raiz de $f_{l_i, n_i}(t^{y_{i+1}})$ se e somente se $s | l_i n_i \dots n_g$, $s | l_i n_{i+1} \dots n_g$ e $s | n_i \dots n_g$. Portanto, as $l_i n_i \dots n_g$ -ésimas raízes primitivas da unidade são raízes de $f_{l_i, n_i}(t^{y_{i+1}})$. Mas, por (*), temos que $l_g n_g > l_i n_i \dots n_g$ para $i = 1, \dots, g-1$ e daí concluímos que $l_g n_g = \max S$. Análogamente, $l'_g n'_g = \max S$, ou seja, $l_g n_g = l'_g n'_g$.

Se fôr $l'_g > l_g$ então, usando (*) novamente, concluímos que as l'_g -ésimas raízes primitivas da unidade são raí-

zes de $f_{\ell_g, n_g}(t)$ e portanto de $\Delta(t) = \Delta'(t)$. Por outro lado, essas não são raízes de $f_{\ell'_i, n'_i}(t^{i+1})$, $i = 1, \dots, g'-1$ e tampouco de $f_{\ell'_g, n'_g}(t)$, donde não são raízes de $\Delta(t) = \Delta'(t)$. Essa contradição mostra que $\ell_g = \ell'_g$ e $n_g = n'_g$. Fatorando $f_{\ell_g, n_g}(t)$ em ambos os lados de $\Delta(t) = \Delta'(t)$ ficamos com

$$\begin{aligned} & (-1)^{g_f} f_{\ell_1, n_1}(t^{y_2}) \dots f_{\ell_{g-1}, n_{g-1}}(t^{n_{g-1} n_g}) = \\ & = (-1)^{g'_f} f_{\ell'_1, n'_1}(t^{y'_2}) \dots f_{\ell'_{g'-1}, n'_{g'-1}}(t^{n'_{g'-1} n'_g}) \end{aligned}$$

Fazendo $T = t^{n_g}$ temos

$$\begin{aligned} & (-1)^{g_f} f_{\ell_1, n_1}(T^{n_2 \dots n_{g-1}}) \dots f_{\ell_{g-1}, n_{g-1}}(T^{n_{g-1}}) = \\ & = (-1)^{g'_f} f_{\ell'_1, n'_1}(T^{n'_2 \dots n'_{g'-1}}) \dots f_{\ell'_{g'-1}, n'_{g'-1}}(T^{n'_{g'-1}}) \end{aligned}$$

Ora, o polinômio à esquerda (direita) dessa igualdade é, após o lema 7, o polinômio de Alexander do nó algébrico definido pela sequência $(m_1, n_1), \dots, (m_{g-1}, n_{g-1}) ((m'_1, n'_1), \dots, \dots, (m'_{g'-1}, n'_{g'-1}))$. Daí, por indução em $\max\{g, g'\}$, concluímos que $g'-1 = g-1$ e $m_i = m'_i$, $n_i = n'_i$ para $i=1, \dots, g-1$. Logo, $m_g = m'_g$.

Temos então

Teorema (Bureau-Zariski)

Se $f: \mathbb{C}^2 \rightarrow \mathbb{C}$, $f(0) = 0$, é um polinômio analiticamente irreduzível em $0 \in \mathbb{C}^2$ então a sequência de pares de Puiseux determina o tipo topológico de f em 0 .

CAPÍTULO II

O TEOREMA DA FIBRAÇÃO

Seja $f: \mathbb{C}^{n+1} \rightarrow \mathbb{C}$ um polinômio tal que $f(0) = 0$ e 0 é um ponto crítico isolado isto é, existe uma vizinhança U de 0 em \mathbb{C}^{n+1} tal que $df(z) = 0, z \in U$ implica $z = 0$. Denotemos $V = f^{-1}(0)$ e $S_\epsilon = \{(z_1, \dots, z_{n+1}) \in \mathbb{C}^{n+1} / \sum_{j=1}^{n+1} |z_j|^2 = \epsilon^2\}$. Temos inicialmente a seguinte

Proposição II.1: Se $\epsilon > 0$ for suficientemente pequeno então $K_\epsilon = S_\epsilon \cap V$ é uma subvariedade C^∞ .

Demonstração: Mostraremos que S_ϵ é transversal a V para $\epsilon > 0$ suficientemente pequeno, ou seja, que se $S_\epsilon \cap V \neq \emptyset$ e $p \in S_\epsilon \cap V$ então $T_p S_\epsilon + T_p V = T_p \mathbb{C}^{n+1}$ o que implica pelo Teorema da Função Implícita que $K_\epsilon = S_\epsilon \cap V$ é uma subvariedade real de dimensão $2n - 1$.

Considere a função $r: \mathbb{C}^{n+1} \rightarrow \mathbb{R}, r(z) = \sum_{j=1}^{n+1} |z_j|^2$ e a restrição $\tilde{r} = r|_{V - \{0\} \cup V}$. Provaremos que \tilde{r} possui um número finito de valores críticos, de modo que basta tomar ϵ menor do que o mínimo entre estes valores.

Escrevendo $z = x+iy, x = (x_1, \dots, x_{n+1})$ e $y = (y_1, \dots, y_{n+1})$ coordenadas em \mathbb{R}^{n+1} e $f(z) = f(x, y) = (u(x, y), v(x, y)) \in \mathbb{R}^2 = \mathbb{C}$ vemos que (x, y) é ponto crítico

de \tilde{r} se e somente se posto $\begin{bmatrix} u_x & u_y \\ v_x & v_y \\ x & y \end{bmatrix} \leq 2$ e $u(x,y) = v(x,y) = 0$.

Portanto $H = \{\text{pontos críticos de } \tilde{r}\}$ é um subconjunto de $V - \{0\}$ definido por equações polinomiais e $\tilde{H} = H \cup \{0\}$ é um subconjunto algébrico de \mathbb{R}^{2n+2} . H é uma união finita de subvariedades C^∞ cada uma possuindo um número finito de componentes. [veja apêndice I]

Como \tilde{r} restrita a cada uma destas componentes tem posto 0 (cada componente é formada por pontos críticos de \tilde{r}) então \tilde{r} é constante em cada componente. Logo o conjunto de valores críticos de $\tilde{r} = r(H)$ é finito. ■

Exemplo II.1: $f(z_1, z_2) = z_1^p + z_2^q$ p, q primos entre si

$$K_\epsilon = f^{-1}(0) \cap S_\epsilon = \{(z_1, z_2) / z_1^p + z_2^q = 0, |z_1|^2 + |z_2|^2 = \epsilon^2\}.$$

Escrevendo $z_1 = r e^{i\theta}$, $z_2 = \rho e^{i\varphi}$ temos: $r^2 + \rho^2 = \epsilon^2$
 $r^p e^{ip\theta} + \rho^q e^{iq\varphi} = 0$. Ou seja, $r^p = \rho^q$, $r^2 + \rho^2 = \epsilon^2$ e K_ϵ
 está contido no toro $|z_1| = r_0$, $|z_2| = \rho_0$ e pode ser parametrizado por $\alpha \rightarrow (r_0 e^{iq\alpha}, \rho_0 e^{i(p\alpha + \frac{\pi}{q})})$. Isto é uma curva de
 Kronecker (nó) no toro.

O que ocorrerá se p e q não forem primos entre si?

Em geral para $n = 1$ K_ϵ é união disjunta de círculos.

Exemplo 2: $f(z_1, \dots, z_{n+1}) = z_1^2 + \dots + z_{n+1}^2$ (função de Morse).

Escrevendo $z_j = x_j + iy_j$ obtemos

$$V = f^{-1}(0) = \left\{ \sum_{j=1}^{n+1} x_j^2 - \sum_{j=1}^{n+1} y_j^2 = 0, \sum_{j=1}^{n+1} x_j y_j = 0 \right\} e$$

$$K_\epsilon = V \cap S_\epsilon = \{ \|x\|^2 = \|y\|^2, \langle x, y \rangle = 0, \|x\|^2 + \|y\|^2 = \epsilon^2 \}$$

(onde $\langle x, y \rangle = \sum x_j y_j$ e $\|x\|^2 = \langle x, x \rangle$).

Ou seja $K_\epsilon = \{ \|x\| = \frac{\epsilon}{\sqrt{2}}, \|y\| = \frac{\epsilon}{\sqrt{2}}, \langle x, y \rangle = 0 \}$ é difeomorfo ao fibrado por esferas de raio $\frac{\epsilon}{\sqrt{2}}$ tangente a $S_{\frac{\epsilon}{\sqrt{2}}}^n$.

O próximo teorema estabelece a relação entre a topologia de K_ϵ e a de V e mostra que o conhecimento da topologia de K_ϵ e do mergulho de K_ϵ em S_ϵ nos dá a topologia de V .

Teorema II.1: Sejam $B_\epsilon = \{z \in \mathbb{C}^{n+1} / \|z\| \leq \epsilon\}$, $S_\epsilon = \partial B_\epsilon$ e $K_\epsilon = V \cap S_\epsilon$. Para $\epsilon > 0$ suficientemente pequeno $V \cap B_\epsilon$ é homeomorfo ao cone $C(K_\epsilon) = \{tz, 0 \leq t \leq 1, z \in K_\epsilon\}$. De fato o par $(B_\epsilon, V \cap B_\epsilon)$ é homeomorfo ao par $(C(S_\epsilon), C(K_\epsilon))$.

Demonstração: Iremos construir uma aplicação

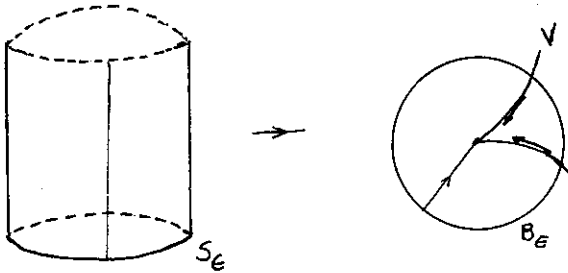
$$p: S_\epsilon \times (0, \epsilon^2] \longrightarrow B_\epsilon - \{0\} \text{ com } p(a, \epsilon^2) = a$$

de modo que para $a \in S_\epsilon$ fixo, a curva $p(a, t)$ satisfaz:

$$1) \|p(a, t)\|^2 = t$$

2) $a \in K_\epsilon$ $f(p(a,t)) = 0$ (a curva está contida em V)

3) $p(a,t)$ é definida andando o tempo $-t$ ao longo da trajetória α de um campo v definido em $B_\epsilon - \{0\}$ tal que $\alpha(\epsilon^2) = a$.



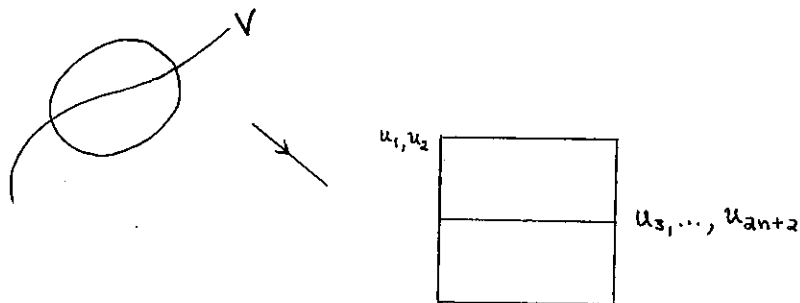
Observe que se $r(z) = \|z\|^2$ então $\frac{d}{dt} r(\alpha(t)) \Big|_{t=0} = 2\langle \alpha'(0), \alpha'(0) \rangle$, portanto construiremos inicialmente um campo w em $B_\epsilon - \{0\}$ tal que $\langle w(z), z \rangle > 0$ e $v(z)$ é tangente a $V - \{0\}$ se $z \in V - \{0\}$. Temos duas situações:

- (i) $z \notin V$, definimos localmente $w(y) = y$ para $y \in U$ vizinhança de z disjunta de V (campo radial),
- (ii) para $z \in V - \{0\}$ como z não é ponto crítico de $r|_{V - \{0\}}$ podemos escolher um sistema de coordenadas em uma vizinhança U de z em \mathbb{C}^{n+1} de modo que $V \cap U = \{(u_1, \dots, u_{2n+2}) / u_1 = u_2 = 0\}$ e $\frac{\partial r}{\partial u_k}(z) \neq 0$ para algum $k \in \{3, \dots, 2n+2\}$.

Suponhamos que $\frac{\partial r}{\partial u_{2n+2}}(z) \neq 0$.

Tomando uma vizinhança conexa U_z de z em \mathbb{C}^{n+1} onde $\frac{\partial r}{\partial u_{2n+2}} \neq 0$ e observando que

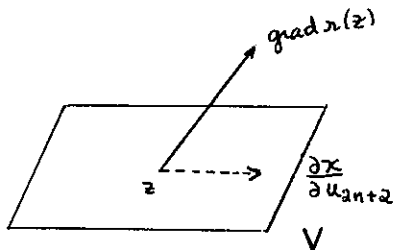
$\frac{\partial r}{\partial u_{2n+2}}(x(u)) = \text{grad } r(x(u)) \frac{\partial x}{\partial u_{2n+2}} = 2\langle x(u), \frac{\partial x}{\partial u_{2n+2}}(u) \rangle$ podemos definir $w(x) = \pm \frac{\partial x}{\partial u_{2n+2}}$ de acordo com o sinal de $\frac{\partial r}{\partial u_{2n+2}}(x(u))$.



Tomando-se uma partição da unidade subordinada à cobertura $\{U_z\}$ de $B_\epsilon - \{0\}$ obtemos um campo $w \in C^\infty$ que pode ser normalizado por $v(z) = \frac{w(z)}{2\langle z, w(z) \rangle}$ para que ao considerarmos uma curva integral $\alpha(t)$ de w temos

$$\begin{aligned} \frac{d}{dt} \|\alpha(t)\|^2 &= 2\langle \alpha'(t), \alpha(t) \rangle = 2\langle w(\alpha(t)), \alpha(t) \rangle = \\ &= \frac{2\langle w(\alpha(t)), \alpha(t) \rangle}{2\langle w(\alpha(t)), \alpha(t) \rangle} = 1 \quad \text{ou seja} \end{aligned}$$

$$r(\alpha(t)) = t.$$



Observe que o intervalo maximal de definição de uma curva integral $\alpha(t)$ do campo v é $(0, \epsilon^2]$ [prove]. Definimos

$$P: S_\epsilon \times (0, \epsilon^2] \longrightarrow B_\epsilon - \{0\}$$

$$(a, t) \longmapsto P(a, t) = \alpha(a, t)$$

onde $\alpha(a, t) =$ curva integral do campo v tal que $\alpha(a, \epsilon^2) = a$.

É claro que P é um difeomorfismo que restrito a $K_\epsilon \times (0, \epsilon^2]$ possui imagem em $V \cap B_\epsilon - \{0\}$. Finalmente definiremos

$$\varphi: C(S_\epsilon) \longrightarrow B_\epsilon$$

$$tz \longrightarrow P(z, t\epsilon^2)$$

homeomorfismo que leva $C(t_\epsilon)$ em $V \cap B_\epsilon$.

■

Desta forma provamos que o tipo homotópico de $B_\epsilon - V$ é o mesmo de $S_\epsilon - K$. Portanto para conhecermos a topologia de $V \cap B_\epsilon$ precisamos estudar a topologia de K_ϵ e de seu complementar. O próximo teorema é o instrumento fundamental para este estudo.

Teorema II.2 (da Fibrção de Milnor):

Seja $f: \mathbb{C}^{n+1} \rightarrow \mathbb{C}$ polinômio tal que $f(0) = 0$. Então existe $\epsilon_0 > 0$ tal que para todo $0 < \epsilon \leq \epsilon_0$ a aplicação

$$\varphi_\epsilon: S_\epsilon - K_\epsilon \longrightarrow S^1$$

$$z \longrightarrow \frac{f(z)}{|f(z)|}$$

é a projeção de uma fibração C^∞ localmente trivial.

Demonstração: [Milnor (1)]

A prova deste Teorema envolve duas etapas:

A primeira consiste em mostrar que φ_ϵ é uma submersão para $\epsilon > 0$ suficientemente pequeno. Em seguida mostra-se que podemos levantar o campo unitário tangente a S^1 a um campo w transversal às fibras $\varphi_\epsilon^{-1}(e^{i\theta}) = F_\theta$ de modo que se $\alpha(t)$ é uma curva integral de w então $\varphi_\epsilon(\alpha(t)) = e^{it}$. A trivialização local será dada pelo fluxo gerado pelo campo w ou seja

$$\begin{aligned} \psi: F_\theta \times I &\longrightarrow S_\epsilon - K_\epsilon \\ (a, t) &\longrightarrow \psi_t(a) \end{aligned}$$

com $\varphi_\epsilon \circ \psi_t(a) = e^{i(t+\arg a)} = e^{i\theta} \cdot e^{it}$.

1. Caracterização dos pontos críticos de φ_ϵ :

Se h é uma função holomorfa definimos gradiente de h por $\text{grad } h(z)$ é o vetor de \mathbb{C}^{n+1} tal que $\forall u \in \mathbb{C}^{n+1}$
 $dh(z) \cdot u = \langle u, \text{grad } h(z) \rangle$ onde $\langle u, v \rangle = \sum u_j \bar{v}_j$ (produto hermitiano usual). Portanto se z_1, \dots, z_{n+1} são coordenadas em \mathbb{C}^{n+1} então $dh(z) \frac{\partial}{\partial z_j} = \langle \frac{\partial}{\partial z_j}, \text{grad } h(z) \rangle = \frac{\partial h}{\partial z_j}$ isto é

$$\text{grad } h(z) = \left(\frac{\partial h(z)}{\partial z_1}, \dots, \frac{\partial h(z)}{\partial z_{n+1}} \right).$$

Se $f(z) \neq 0$ podemos escolher localmente uma determinação para $\text{Log } f(z)$ de modo que $\varphi_\epsilon(z) = \frac{f(z)}{|f(z)|} = e^{i\theta(z)}$ com $\theta(z) = \text{Re}[-i \text{Log } f(z)]$.

Se $p(t)$ é uma curva em \mathbb{C}^{n+1} passando por z então derivando a expressão $\theta(p(t)) = \text{Re}(-i \text{Log } f(p(t)))$ obtemos

$$\begin{aligned} \frac{d}{dt} \theta(p(t)) &= \text{Re} \left[\frac{d}{dt} (-i \text{Log } f(p(t))) \right] = \\ &= \text{Re} \left\langle \frac{dp}{dt}(t), \text{grad}(-i \text{Log } f(p(t))) \right\rangle \end{aligned}$$

ou seja $d\theta(z).v = \text{Re} \langle v, i \text{grad}(\text{Log } f(z)) \rangle$.

Observe agora que $v \in T_z S_\epsilon$ se e somente se $\text{Re} \langle v, z \rangle = 0$ (verifique) portanto $z \in S_\epsilon$ é ponto crítico de φ_ϵ se e somente se o sistema

$$\begin{cases} \text{Re} \langle v, i \text{grad}(\text{Log } f(z)) \rangle = 0 \\ \text{Re} \langle v, z \rangle = 0 \end{cases}$$

admite $2n+1$ soluções linearmente independentes.

Mas isto ocorre se e somente se z e $i \text{grad } \text{Log } f(z)$ são linearmente dependentes sobre \mathbb{R} . Concluimos assim que o conjunto dos pontos críticos de φ_ϵ é igual a

$$\{z \in S_\epsilon / i \text{grad}(\text{Log } f(z)) = cz, c \in \mathbb{R}\}.$$

2. Existe $\epsilon_0 > 0$ tal que se $0 < \epsilon \leq \epsilon_0$ então φ_ϵ é uma
submersão:

A prova desta afirmação segue imediatamente do

Lema II.1: Se f é um polinômio que se anula em 0 então existe $\epsilon_0 > 0$ tal que $\forall z \in \mathbb{C}^{n+1} - f^{-1}(0), \|z\| \leq \epsilon_0$ temos:

z e $\text{grad Log } f(z)$ são linearmente independentes sobre \mathbb{C} ou $\text{grad Log } f(z) = \lambda z$, $\lambda \neq 0$ $|\arg \lambda| < \frac{\pi}{4}$.

Antes de provarmos o lema verifiquemos que se $p: [0, \epsilon) \rightarrow \mathbb{C}^{n+1}$ é uma curva real analítica com $p(0) = 0$, $f(p(t)) \neq 0$ para $t \neq 0$ e $\text{grad Log } f(p(t)) = \lambda(t)p(t)$, $\lambda(t) \in \mathbb{C}$ então $\arg \lambda(t) \rightarrow 0$ quando $t \rightarrow 0$.

Prova: Escrevendo $p(t) = at^\alpha + a_1 t^{\alpha+1} + \dots$ com $a_i \in \mathbb{C}^{n+1}$ $a \neq 0$
 $f(p(t)) = bt^\beta + \dots$ $b \in \mathbb{C}$
 $\text{grad } f(p(t)) = ct^\gamma + \dots$ $c \neq 0$, $c \in \mathbb{C}^{n+1}$

séries convergentes em $|t| < \epsilon'$, da hipótese $\text{grad Log } f(p(t)) = \lambda(t)p(t)$ segue que $\text{grad } f(p(t)) = \lambda(t) \overline{f(p(t))} p(t)$ ou $ct^\gamma + \dots = \lambda(t)[\bar{a}\bar{b} t^{\alpha+\beta} + \dots]$.

Assim, podemos escrever $\lambda(t) = \lambda_0 t^{\gamma-\alpha-\beta} [1+k_1 t + \dots]$

com $c = \lambda_0 \bar{b} a$ de modo que $\frac{\lambda(t)}{|\lambda(t)|} = \frac{\lambda_0 (1+k_1 t + \dots)}{|\lambda_0| |1+k_1 t + \dots|}$ e

$\lim_{t \rightarrow 0} \frac{\lambda(t)}{|\lambda(t)|} = \frac{\lambda_0}{|\lambda_0|}$. Por outro lado $\frac{d}{dt} f(p(t)) = b\beta t^{\beta-1} + \dots =$
 $= \langle p'(t), \text{grad } f(p(t)) \rangle = \langle a\alpha t^{\alpha-1} + \dots, ct^\gamma + \dots \rangle =$
 $= \langle a\alpha t^{\alpha-1} + \dots, \lambda_0 \bar{b} a t^{\gamma} + \dots \rangle$. Donde $b\beta t^{\beta-1} + \dots = \bar{\lambda}_0 b a |a|^2 t^{\alpha+\gamma-1} + \dots$
isto é $\beta = \alpha |a|^2 \bar{\lambda}_0$. Logo $\bar{\lambda}_0 > 0$ isto é $\lambda_0 > 0$.

Concluimos assim que $\lim_{t \rightarrow 0} \frac{\lambda(t)}{|\lambda(t)|} = 1$.

Demonstração do Lema II.1:

Vamos supor, por absurdo, que arbitrariamente próximo de 0 exista $z \in \mathbb{C}^{n+1} - V$ tal que $\text{grad Log } f(z) = \lambda z$ com $\lambda = 0$ ou $|\arg \lambda| \geq \frac{\pi}{4}$. Iremos provar que existe uma curva analítica real $p(t)$ tal que $p(0) = 0$ e que ao longo dos pontos $p(t)$ as condições acima são satisfeitas, obteremos assim uma contradição com a observação anterior. A existência de tal curva segue do Lema de Seleção da Curva [veja o Apêndice II].

"Sejam $V \subset \mathbb{R}^m$ um subconjunto algébrico e $U \subset \mathbb{R}^m$ um aberto semi-algébrico, isto é $U = \{x \in \mathbb{R}^m / g_1(x) > 0, \dots, \dots, g_\ell(x) > 0\}$ com g_i polinômio $i = 1, 2, \dots, \ell$.

Se $U \cap V$ contém pontos arbitrariamente próximos de 0 ($0 \in \overline{U \cap V}$) então existe uma curva $p: [0, \delta) \rightarrow \mathbb{R}^m$ analítica real tal que $p(0) = 0$ e $p(t) \in U \cap V$, $t > 0$ ".

Deste modo, para provarmos o Lema II.1 basta expressar as condições $\text{grad Log } f(z) = \lambda z$ com $\lambda = 0$ ou $|\arg \lambda| \geq \frac{\pi}{4}$ como interseção de conjuntos de acordo com o Lema da Seleção da Curva.

Seja $W = \{z \in \mathbb{C}^{n+1} / \text{grad } f(z) = \lambda z\}$, então $z \in W$ se e somente se $z_k \frac{\partial f}{\partial z_j}(z) = z_j \frac{\partial f}{\partial z_k}(z)$. Obtemos assim W como um subconjunto algébrico real de \mathbb{C}^{n+1} pois é definido por um número finito de equações polinomiais nas variáveis x_j, y_j quando escrevemos $z_j = x_j + iy_j$ e $z = (z_1, \dots, z_{n+1})$. Além disso como $\text{grad Log } f(z) = \frac{\text{grad } f(z)}{f(z)}$ então $\text{grad Log } f(z) = \lambda z$ se

e sòmente se $\text{grad } f(z) = \lambda \cdot \overline{f(z)}z$ e $\arg \lambda = \arg \langle \text{grad } f(z), \overline{f(z)}z \rangle$.

Portanto as condições $\text{grad } \text{Log } f(z) = \lambda z$ e $|\arg \lambda| > \frac{\pi}{4}$ são equivalentes a $z \in W$ e $|\arg \langle \text{grad } f(z), \overline{f(z)}z \rangle| > \frac{\pi}{4}$, o que é o mesmo que $z \in W \cap (U_+ \cup U_-)$ onde

$$U_+ = \{z / \text{Re}[(1+i)\langle \text{grad } f(z), \overline{f(z)}z \rangle] < 0\} \quad \text{e}$$

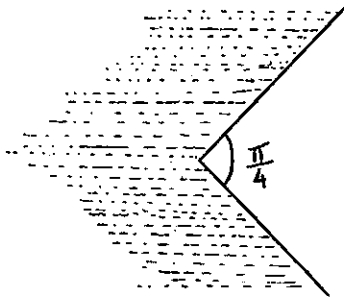
$$U_- = \{z / \text{Re}[(1-i)\langle \text{grad } f(z), \overline{f(z)}z \rangle] < 0\} \quad \text{são}$$

subconjuntos semi-algèbricos reais.

Para as condições $\text{grad } \text{Log } f(z) = \lambda z$, $\lambda = 0$ ou $|\arg \lambda| = \frac{\pi}{4}$ usamos

$$W = \{z / \text{Re}[(1+i)\langle \text{grad } f(z), \overline{f(z)}z \rangle] \cdot \text{Re}[(1-i)\langle \text{grad } f(z), \overline{f(z)}z \rangle] = 0\}$$

e $U = |f(z)|^2 > 0$.



3. Para $0 < \epsilon \leq \epsilon_0$ $(S_\epsilon - K_\epsilon, \varphi_\epsilon, S^1)$ é uma fibração localmente trivial.

Seja $F_\theta = \varphi_\epsilon^{-1}(e^{i\theta})$ devemos mostrar que existe uma

vizinhança $U_\theta \subset S^1$ e um difeomorfismo $\psi_\theta: U_\theta \times F_\theta \rightarrow \varphi_\epsilon^{-1}(U_\theta)$ tal que $\varphi_\epsilon \circ \psi_\theta(e^{i\alpha}, x) = e^{i\alpha}$.

Como dissemos no início da demonstração deste teorema esta trivialização é obtida pela construção para cada ponto $z \in F_\theta$ de uma curva transversal às fibras que projeta-se via φ_ϵ em um laço em S^1 com velocidade constante positiva. (Levanta-mento horizontal do laço e^{it} $0 \leq t \leq 2\pi$).

Suponhamos que $p(t)$ seja uma tal curva em $S_\epsilon - K_\epsilon$, então $\varphi_\epsilon(p(t)) = \frac{f(p(t))}{|f(p(t))|} = e^{i\theta(p(t))}$ ou seja $\theta(p(t)) = \text{Re}[-i \text{Log } f(p(t))]$. Derivando teremos:

$$\frac{d}{dt} \theta(p(t)) = \text{Re} \langle p'(t), i \text{grad } \text{Log } f(p(t)) \rangle = c > 0$$

Assim provamos inicialmente que existe um campo de vetores v de classe C^∞ , tangente à $S_\epsilon - K_\epsilon$ tal que

$$0 < |\arg \langle v(z), i \text{grad } \text{Log } f(z) \rangle| < \frac{\pi}{4}, \quad \forall z \in S_\epsilon - K_\epsilon.$$

Construimos este campo localmente e em seguida usamos uma partição da unidade para obter v .

Se $z_0 \in S_\epsilon - K_\epsilon$ para a construção local temos 2 situações a considerar:

1) z_0 e $\text{grad } \text{Log } f(z_0)$ são linearmente independentes sobre \mathbb{C} . Neste caso o sistema
$$\begin{cases} \langle v, z \rangle = 0 \\ \langle v, i \text{grad } \text{Log } f(z) \rangle = 1 \end{cases}$$

nos dá uma solução $v(z)$ em uma vizinhança de z_0 . Observe que

a primeira equação nos dá automaticamente que $v(z) \in T_z S_e$.

2) $\text{grad Log } f(z_0) = \lambda z_0$. De acordo com o Lema II.1 $0 < |\arg \lambda| < \frac{\pi}{4}$. Definimos $v(z) = iz$ em uma vizinhança de z_0 de modo que $\text{Re}\langle v(z), z \rangle = 0$ (iz é tangente a S_e) e como $\langle v(z_0), i \text{grad Log } f(z_0) \rangle = \langle iz_0, i\lambda z_0 \rangle = \bar{\lambda} |z_0|^2$ então $0 < |\arg\langle v(z), i \text{grad Log } f(z) \rangle| < \frac{\pi}{4}$ para z suficientemente próximo de z_0 .

Seja $w(z) = \frac{v(z)}{\text{Re}\langle v(z), i \text{grad Log } f(z) \rangle}$, então w é um

campo tangente a $S_e - K_e$ que satisfaz $\text{Re}\langle v(z), i \text{grad Log } f(z) \rangle = 1$.

Além disso $|\text{Re}\langle w(z), \text{grad Log } f(z) \rangle| =$

$$= \frac{|\text{Re}\langle v(z), \text{grad Log } f(z) \rangle|}{|\text{Re}\langle v(z), i \text{grad Log } f(z) \rangle|} = \frac{|\text{Im}\langle v(z), i \text{grad Log } f(z) \rangle|}{|\text{Re}\langle v(z), i \text{grad Log } f(z) \rangle|} < 1.$$

Esta inequação nos garante que o fluxo gerado pelo campo w está definido para todo $t \in \mathbb{R}$ pois do contrário, se alguma curva integral $p(t)$ tende a K_e quando $t \rightarrow t_0 < \infty$ então

$\lim_{t \rightarrow t_0} f(p(t)) = 0$ ou seja $\lim_{t \rightarrow t_0} \text{Re}(\text{Log } f(p(t))) = -\infty$. Mas isto

não ocorre pois $\frac{d}{dt} \text{Re}(\text{Log } f(p(t))) = \text{Re}\langle w(p(t)), \text{grad Log } f(p(t)) \rangle$ ou seja $\text{Re } \text{Log } f(p(t))$ tem derivada limitada.

Desta forma, se h é o fluxo gerado por w então

$h_t: S_e - K_e \rightarrow S_e - K_e$ é um difeomorfismo tal que $h_t(F_\theta) = F_{\theta+t}$.

Portanto dado $e^{i\theta} \in S^1$ seja U_θ um intervalo aberto em S^1 em torno de $e^{i\theta}$. $\psi_\theta: U_\theta \times F_\theta \longrightarrow \varphi_e^{-1}(U_\theta)$ é um difeomorfismo tal que

$$(e^{i\alpha}, z) \longmapsto h_{\alpha-\theta}(z)$$

mo tal que $\varphi_e \circ \psi_\theta(z) = \varphi_e \circ h_{\alpha-\theta}(z) = e^{i(\alpha-\theta)} \cdot e^{i\theta} = e^{i\alpha}$ como que

ríamos. ■

Exercício II.1: Em alguns casos é possível encontrar explicitamente um campo que satisfaz as propriedades do item 3) da prova do Teorema da Fibrção.

Por exemplo, seja $f(z_1, z_2, \dots, z_{n+1}) = z_1^{a_1} + \dots + z_{n+1}^{a_{n+1}}$
 $a_i \geq 2, a_i \in \mathbb{N}$ para $i = 1, 2, \dots, n+1$.

$$\text{Então } i \text{ grad Log } f(z) = \frac{1}{\sum_{j=1}^{n+1} \bar{z}_j^{a_j}} (a_1 \bar{z}_1^{a_1-1}, \dots, a_{n+1} \bar{z}_{n+1}^{a_{n+1}-1}) e$$

$$\langle v, i \text{ grad Log } f(z) \rangle = -i \frac{\sum_{j=1}^{n+1} a_j v_j z_j^{a_j-1}}{\sum_{j=1}^{n+1} z_j^{a_j}}$$

Queremos $\begin{cases} \text{Re}\langle v, z \rangle = 0 & (v \text{ tangente à esfera}) \\ \text{Re}\langle v, i \text{ grad Log } f(z) \rangle > 0 \end{cases}$

Basta fazer por exemplo $v = (v_1, \dots, v_{n+1})$ com $v_j = i \frac{z_j}{a_j}$ de modo que $\text{Re}\langle v, z \rangle = 0$ e $\langle v, i \text{ grad Log } f(z) \rangle = 1$. v é um campo linear em \mathbb{C}^{n+1} e tangente à esfera S_ϵ . O fluxo gerado por v é $\psi_t(z_1^0, \dots, z_{n+1}^0) = (e^{\frac{it}{a_1}} z_1^0, \dots, e^{it/a_{n+1}} z_{n+1}^0)$

e satisfaz $\varphi_\epsilon \circ \psi_t(z^0) = \frac{f \circ \psi_t(z^0)}{|f \circ \psi_t(z^0)|} = e^{it} \varphi_\epsilon(z^0)$.

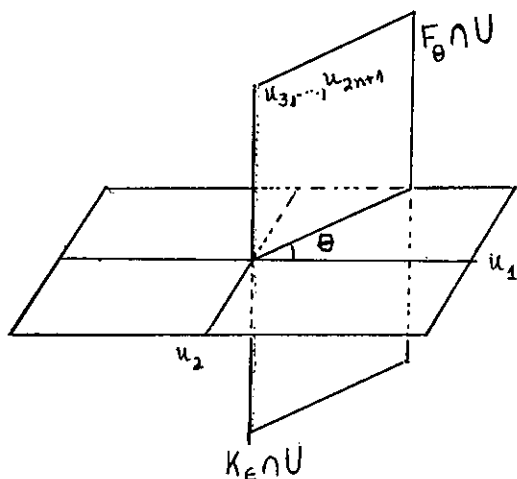
Exercício II.2: Prove que z é ponto singular de $f|_{S_\epsilon}$ se e sòmente se $\text{grad } f(z) = cz$ para algum $c \in \mathbb{C}$.

Exercício II.3: Se 0 é um ponto regular de f , $f(0) = 0$ então se $V = f^{-1}(0)$ e $F_0 = \varphi_\epsilon^{-1}(1)$ com $\varphi_\epsilon: S_\epsilon - K \rightarrow S^1$ como no Teorema da Fibração então F_0 é diomorfa a \mathbb{R}^{2n} $F_0 = f^{-1}(\mathbb{R}_+) \cap S_\epsilon$.

Sugestão:

Use o Lema de Morse e prove que existem coordenadas u_1, \dots, u_{2n+1} em uma vizinhança de 0 para a subvariedade $f^{-1}(\mathbb{R})$ tais que $f^{-1}(0) = \{u_1 = 0\}$ e se $r(z) = \|z\|^2$ então $r|_{f^{-1}(\mathbb{R})}$ se escreve $\sum_{j=1}^{2n+1} u_j^2$. Logo $f^{-1}(\mathbb{R}_+) \cap S_\epsilon = \{u_1 > 0, \sum_{j=1}^{2n+1} u_j^2 = \epsilon^2\}$ (hemisfério) portanto difeomorfo a \mathbb{R}^{2n} .

Vimos pela Proposição II.1 que se 0 é um ponto crítico isolado de f , para $\epsilon > 0$ suficientemente pequeno a esfera S_ϵ é transversal a $f^{-1}(0)$ com $K_\epsilon = S_\epsilon \cap f^{-1}(0)$ uma subvariedade de dimensão $2n-1$. Isto implica que se $z^0 \in K_\epsilon$ então z^0 não é ponto singular de $f|_{S_\epsilon}$. Pelo Teorema da Função Implícita existem coordenadas u_1, \dots, u_{2n+1} em uma vizinhança U de z^0 em S_ϵ tais que $f(u_1, \dots, u_{2n+1}) = u_1 + iu_2$. Onde se $F_\theta = \varphi_\epsilon^{-1}(e^{i\theta})$ então $z \in U \cap F_\theta$ se e somente se $u_1(z)^2 + u_2(z)^2 \neq 0$ e $\arg(u_1(z) + iu_2(z)) = \theta$ (por exemplo $F_0 = \{u_2 = 0, u_1 > 0\}$). De modo que $\bar{F}_\theta \cap U = [F_\theta \cup \{u_1(z) = u_2(z) = 0\}] \cap U = [F_\theta \cup K_\epsilon] \cap U$.



Provamos assim que se 0 é um ponto crítico isolado de f então \bar{F}_θ é uma variedade de dimensão $2n$ com fronteira $\partial \bar{F}_\theta = K_e$.

Proposição II.2: \bar{F}_θ está mergulhada em S_ϵ de modo que $\pi_1(\bar{F}_\theta) \cong \pi_1(S_\epsilon - \bar{F}_\theta)$.

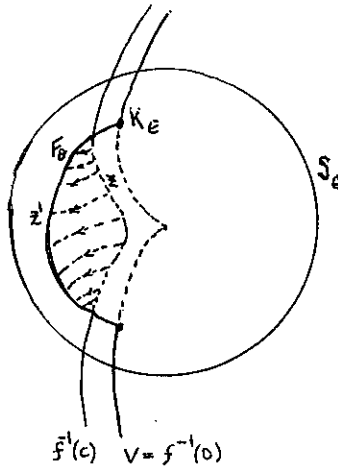
Demonstração: $\varphi_\epsilon: S_\epsilon - \bar{F}_\theta \rightarrow S^1 - e^{i\theta}$ é uma fibração localmente trivial. Como $S^1 - e^{i\theta}$ é contrátil então $S_\epsilon - \bar{F}_\theta$ possui qualquer outra fibra $F_{\theta'}$, ($\theta' \neq \theta$) como retrato por deformação. Portanto $\pi_1(F_{\theta'}) \cong \pi_1(S_\epsilon - \bar{F}_\theta)$, mas $F_{\theta'}$ é difeomorfa a F_θ logo $\pi_1(S_\epsilon - \bar{F}_\theta) \cong \pi_1(F_\theta) \cong \pi_1(\bar{F}_\theta)$. ■

Esta proposição será usada mais adiante no estudo da topologia da fibra F_θ . Antes porém provaremos uma proposição

que nos dá uma descrição alternativa da fibra.

Proposição II.3: Se $c \in \mathbb{C}$ possui módulo suficientemente pequeno então $f^{-1}(c) \cap D_\epsilon$ é difeomorfo a $F_\theta \cap \{z / |f(z)| > |c|\}$ onde $e^{i\theta} = \frac{c}{|c|}$ e $D_\epsilon = \{z \in \mathbb{C}^{n+1} / \|z\| < \epsilon\}$.

Demonstração: A idéia da prova desta proposição é ir puxando a fibra $f^{-1}(c) \cap D_\epsilon$ para a esfera preservando o argumento de f . (Veja a Figura)



Seja $z \in D_\epsilon - V$ tal que $f(z) = c$. Se $p(z,t)$ é uma curva em $D_\epsilon - V$ que satisfaz: $p(z,0) = z$, $\|p(z,t)\|$ é crescente e $\arg f(p(z,t))$ é constante então no instante em que $p(z,t)$ atingir a esfera S_ϵ teremos um ponto sobre a fibra F_θ . Desta maneira definimos uma correspondência que a cada ponto

z de $f^{-1}(c) \cap D_e$ associa o único ponto da interseção $p(z, t) \cap S_e$.

Condições suficientes para definirmos tal curva são:

$$(i) \quad \frac{d}{dt} \|p(z, t)\|^2 > 0 \quad \text{ou} \quad \operatorname{Re} \left\langle \frac{d}{dt} p(z, t), p(z, t) \right\rangle > 0$$

$$(ii) \quad \frac{f(p(z, t))}{|f(p(z, t))|} = e^{i\theta(p(z, t))} = \text{constante} \quad \text{ou}$$

$$0 = \frac{d}{dt} \theta(p(z, t)) = \operatorname{Re} \left\langle \frac{d}{dt} p(z, t), i \operatorname{grad} \operatorname{Log} f(p(z, t)) \right\rangle$$

ou ainda $\left\langle \frac{d}{dt} p(z, t), \operatorname{grad} \operatorname{Log} f(p(z, t)) \right\rangle \in \mathbb{R}$.

Definimos então um campo em D_e de modo análogo ao Teorema II.2. Localmente temos:

a) se z_0 e $\operatorname{grad} \operatorname{Log} f(z_0)$ são linearmente independentes então o sistema

$$\begin{cases} \langle v(z), \operatorname{grad} \operatorname{Log} f(z) \rangle = 1 & \text{possui solução} \\ \langle v(z), z \rangle = 1 \end{cases}$$

C^∞ em uma vizinhança de z_0 .

b) se $\operatorname{grad} \operatorname{Log} f(z_0) = \lambda z_0$ definimos $v(z) = \operatorname{grad} \operatorname{Log} f(z)$. É claro que $\langle v(z), \operatorname{grad} \operatorname{Log} f(z) \rangle > 0$. Além disso pelo Lema II.1 $\operatorname{Re} \lambda > 0$ e $\operatorname{Re} \langle v(z_0), z_0 \rangle = \operatorname{Re} \lambda \|z_0\|^2 > 0$ portanto $\operatorname{Re} \langle v(z), z \rangle$ é positivo em uma vizinhança de z_0 . Usando uma partição da unidade obtemos $v(z)$.

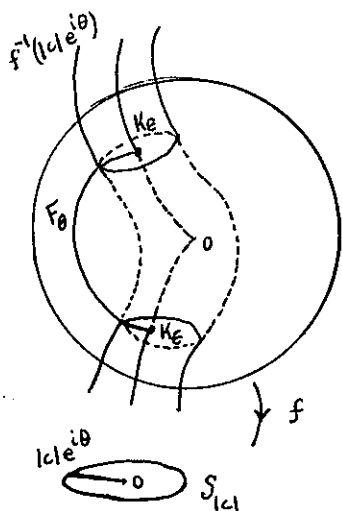
Observe que com o campo assim definido se $p(z, t)$ é uma curva integral de v passando por z então $|f(p(z, t))|$ é também crescente de maneira que $p(z, t)$ está definida para todo $t > 0$ tal que $p(z, t)$ está em uma vizinhança de D_e^{-v} .

A equação $\|p(z,t)\|^2 = \epsilon^2$ define implicitamente t como função diferenciável de z , logo podemos definir a aplicação $f^{-1}(c) \cap D_\epsilon \longrightarrow S_\epsilon$. Como vimos a imagem $z \longmapsto p(z,t(z)) = p(z,t) \cap S_\epsilon$ desta aplicação (difeomorfismo) é a parte de F_θ tal que $|f(z)| > c$ pois $|f|$ é crescente ao longo das trajetórias de v .



Usando Teoria de Morse é possível provar que de fato $f^{-1}(c) \cap D_\epsilon$ é difeomorfa a F_θ .

Segue da prova desta proposição que para θ fixo $f^{-1}(|c|e^{i\theta}) \cap D_\epsilon$ é difeomorfa a $F_\theta \cap \{z \mid |f(z)| > |c|\}$. Variando θ no intervalo $[0, 2\pi]$ teremos $f^{-1}(S_{|c|}) \cap D_\epsilon$ é difeomorfo a $S_\epsilon - V \cap \{z \mid |f(z)| > |c|\}$ onde $S_{|c|} = \{z \in \mathbb{C} \mid |z| = |c|\}$. Além disso $f^{-1}(S_{|c|}) \cap B_\epsilon$ é homeomorfo a $S_\epsilon - K_\epsilon \cap \{z \mid |f(z)| \geq |c|\}$.



Isto sugere que ao variarmos c (suficientemente próximo de 0 de forma que $f^{-1}(c)$ seja transversal a S_ϵ) poderemos fibrar também o complementar de V em B_ϵ . Este é o conteúdo do próximo teorema.

Teorema II.3:

Seja $f: \mathbb{C}^{n+1} \rightarrow \mathbb{C}$ uma função holomorfa com um número finito de pontos críticos na bola $B_\epsilon = \{z \in \mathbb{C}^{n+1} / |z| \leq \epsilon\}$. Suponhamos que f não tenha pontos críticos em $\partial B_\epsilon = S_\epsilon$ e que os valores críticos t_1, \dots, t_r estejam contidos no interior de um disco $D_\eta = \{z \in \mathbb{C} / |z| \leq \eta\}$ ($\eta = \eta(\epsilon)$) de modo que $f^{-1}(t)$ é transversal a S_ϵ para todo $t \in D_\eta - \{t_1, \dots, t_r\}$.

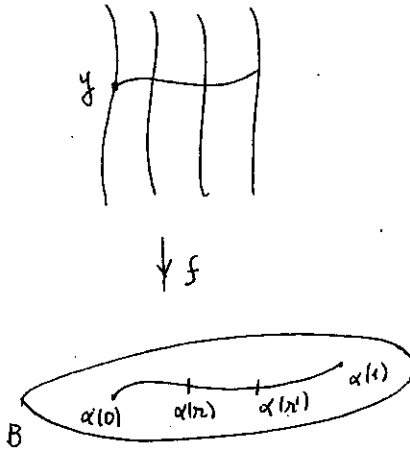
Então $f_\epsilon: B_\epsilon \cap f^{-1}(D_\eta - \{t_1, \dots, t_r\}) \rightarrow D_\eta - \{t_1, \dots, t_r\}$ é a projeção de uma fibração localmente trivial com bordo.

Demonstração: Observe que f_ϵ e $f_\epsilon|_{S_\epsilon}$ têm posto máximo (=2) e que as fibras $f_\epsilon^{-1}(t)$ são subvariedades (compactas) com bordo. O fato de que as fibras $f_\epsilon^{-1}(t)$ são difeomorfas segue do Teorema de Ehresmann ([veja Ehresmann] e [Wolf]) que pode ser enunciado assim:

"Sejam $f: E \rightarrow B$ uma aplicação própria sobrejetiva com E, B variedades diferenciáveis conexas tais que posto de $f = \dim B$ e posto $f|_{\partial E} = \dim B$. Então para cada ponto $b \in B$ existem uma vizinhança U de b e um difeomorfismo $\Phi: [f^{-1}(b) \times U, (f^{-1}(b) \cap \partial E) \times U] \longrightarrow [f^{-1}(U), f^{-1}(U) \times \partial E]$ (isto é (E, B, f) é uma fibração localmente trivial)".

Seguindo [Wolf] vamos dar a idéia da prova deste teorema:

Suponhamos inicialmente que $\partial E = \emptyset$ e B seja uma variedade Riemanniana. Seja $\alpha: [0,1] \rightarrow B$ uma curva em B . Se $\alpha^{r,s} = \alpha|_{[r,s]}$ com $0 \leq r \leq s \leq 1$ então para cada $y \in f^{-1}(\alpha(r))$ existe um número $s(y)$, $r < s(y) \leq 1$ tal que a curva $\alpha^{r,s(y)}$ possui um levantamento horizontal ao ponto y , isto é, existe uma curva α_y tal que $f \circ \alpha_y(t) = \alpha(t)$ para $r \leq t \leq s(y)$ e $\alpha_y(r) = y$.

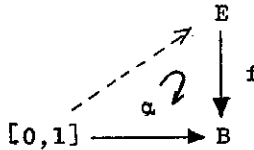


Mas $s(y)$ é contínua e como a fibra $f^{-1}(\alpha(r))$ é compacta existe $r' = \min_{y \in f^{-1}(\alpha(r))} s(y)$ $r < r'$ e $\alpha^{r,r'}$ possui um levantamento horizontal a partir de qualquer ponto de $f^{-1}(\alpha(r))$.

Desta forma, como r é arbitrário, obtemos um levantamento horizontal para $0 \leq r < 1$.

Usando a curva $\beta(t) = \alpha(1-t)$ obtemos que β possui levantamento horizontal o que significa que $\alpha = \alpha^{0,1}$, possui levantamento horizontal.

Vimos assim que toda curva em B possui levantamento horizontal.



Sejam $b \in B$ e U uma vizinhança normal de b em B . Se $v \in U$ denotamos por $v(t)$ $0 \leq t \leq 1$ o raio geodésico em U de b a v .

Definimos $h: f^{-1}(b) \times U \longrightarrow f^{-1}(U)$ onde $v_x(t)$ é

$$(x, v) \longrightarrow v_x(1)$$

um levantamento horizontal de $v(t)$ ao ponto x . h é injetiva (por construção) e sobrejetiva pois U é vizinhança normal de b . [$v(1-t)$ possui levantamento horizontal]. É fácil ver que h é um difeomorfismo.

No caso em que $\partial E \neq \emptyset$ basta obter o levantamento horizontal de modo que se $x \in \partial E \cap f^{-1}(U)$ então $v_x(t) \in f^{-1}(U) \cap \partial E$ (levantamento a partir de pontos que estão na fronteira ficam totalmente contidos na fronteira).

■

Seguindo a notação de Ehresmann, se $\phi: E \rightarrow B$ é uma submersão sobrejetiva e $x \in E$ chamamos de subespaço vertical de

$T_x E$ ao subespaço $V_x = \{v \in T_x E / d\phi(x) v = 0\}$ e ao seu complementar H_x tal que $T_x E = V_x \oplus H_x$ o subespaço horizontal em x . ($d\phi(x): H_x \rightarrow T_{\phi(x)} B$ é um isomorfismo).

A distribuição vertical é o conjunto $\mathcal{V} = \{V_x\}_{x \in E}$ e uma conexão de Ehresmann para ϕ é uma distribuição $\mathcal{H} = \{H_x\}_{x \in E}$ complementar a \mathcal{V} .

Em coordenadas locais podemos ver uma conexão de Ehresmann como um sistema de equações diferenciais cujos coeficientes depende diferenciavelmente (C^∞) do ponto x .

Exercício: Dê um exemplo de submersão sobrejetiva $\phi: E \rightarrow B$ que não é uma fibração.

CAPÍTULO III

TOPOLOGIA DA FIBRA E DE K

Neste capítulo descreveremos alguns resultados sobre a topologia da fibra e de $K = S_g \cap V$, onde $f: \mathbb{C}^{n+1} \rightarrow \mathbb{C}$, $f(0) = 0$, é uma função polinomial. Tal estudo é baseado em métodos da teoria de Morse. As principais referencias para este capítulo são [Milnor (1)] e [Milnor (3)]. Começamos com:

Teorema III.1:

A variedade F_θ tem o tipo de homotopia de um CW-complexo finito de dimensão n . Além disso, F_θ é paralelizável.

Demonstração:

Estudamos inicialmente a função $g_\theta: F_\theta \rightarrow \mathbb{R}$ definida por $g_\theta(z) = \log|f(z)|$. Em seguida aproximamos g_θ por uma função de Morse satisfazendo certas propriedades que permitirão obter o resultado.

Lema III.2:

Os pontos críticos de g_θ são os pontos $z \in F_\theta$ tais que $\text{grad } \log f(z)$ é um múltiplo complexo de z .

Demonstração de III.2:

Seja $\rho: \mathbb{R} \rightarrow F_\theta$ um caminho diferenciável passando por $z = \rho(0)$. Como $\log|f(z)| = \text{Re} \text{Log} f(z)$ temos

$$\frac{d}{dt} \text{Re} \text{Log} f(\rho(t)) \Big|_{t=0} = \text{Re} \left\langle \frac{d\rho}{dt} \Big|_{t=0}, \text{grad} \text{Log} f(\rho(0)) \right\rangle.$$

Portanto, afim de que z seja ponto crítico de g_θ devemos ter $\text{Re} \left\langle \frac{d\rho}{dt} \Big|_{t=0}, \text{grad} \text{Log} f(z) \right\rangle = 0$, ou seja, $\text{grad} \text{Log} f(z)$ é normal a F_θ em z . Agora, por II.2, z e $i \text{grad} \text{Log} f(z)$ geram o espaço normal (real) a F_θ em z e daí segue que

$$\text{grad} \text{Log} f(z) = \lambda_1 z + \lambda_2 i \text{grad} \text{Log} f(z), \quad \lambda_i \in \mathbb{R}$$

$$\text{ou seja, } \text{grad} \text{Log} f(z) = \frac{\lambda_1}{1-i\lambda_2} z.$$

Continuando o estudo de g_θ obteremos agora uma descrição da Hessiana de g_θ num ponto crítico $z \in F_\theta$ que nos permitirá calcular o índice de Morse num tal ponto.

Dado $v \in T_z F_\theta$ seja $\rho: \mathbb{R} \rightarrow F_\theta$ um caminho diferenciável tal que $z = \rho(0)$ e $v = \frac{d\rho}{dt} \Big|_{t=0}$.

Lema III.3:

$$\frac{d^2}{dt^2} (g_\theta \circ \rho) \Big|_{t=0} = \Sigma \text{Re}(b_{jk} v_j v_k) - c|v|^2 \quad \text{onde } (b_{jk})$$

é uma matriz complexa e c é um número real positivo.

Demonstração de III.3:

Como F_θ é definida por $\frac{f}{|f|} = e^{i\theta}$ e $p(t) \in F_\theta$

temos que $(g_{\theta} \circ p)(t) = \log |f(p(t))| = \text{Log } f(p(t)) - i\theta$. Daí segue que $\frac{d}{dt}(g_{\theta} \circ p) = \sum_j \left(\frac{\partial}{\partial z_j} \text{Log } f(p(t)) \right) \frac{dp_j}{dt}$. Derivando novamente obtemos

$$\frac{d^2}{dt^2}(g_{\theta} \circ p) = \sum_j \left(\frac{\partial}{\partial z_j} \text{Log } f(p(t)) \right) \frac{d^2 p_j}{dt^2} + \sum_{j,k} \frac{\partial^2}{\partial z_j \partial z_k} \text{Log } f(p(t)) \frac{dp_j}{dt} \frac{dp_k}{dt}.$$

Fazendo $t = 0$ e lembrando que $\text{grad } \log f(z) = \lambda z$ por III.2 ficamos com

$$\left. \frac{d^2}{dt^2} (g_{\theta} \circ p) \right|_{t=0} = \left\langle \left. \frac{d^2 p}{dt^2} \right|_{t=0}, \lambda z \right\rangle + \sum_{j,k} B_{jk} v_j v_k \quad \text{onde}$$

$B_{jk} = \frac{\partial^2}{\partial z_j \partial z_k} \text{Log } f(z)$. Como $\left. \frac{d^2}{dt^2} (g_{\theta} \circ p) \right|_{t=0}$ é real, multiplicando ambos os membros por λ e tomando a parte real obtemos

$$\left. \frac{d^2}{dt^2} (g_{\theta} \circ p) \right|_{t=0} \text{Re}(\lambda) = |\lambda|^2 \text{Re} \left\langle \left. \frac{d^2 p}{dt^2} \right|_{t=0}, z \right\rangle + \sum_{j,k} \text{Re}(\lambda B_{jk} v_j v_k).$$

Por outro lado, derivando duas vezes a identidade $\langle p(t), p(t) \rangle = \text{constante}$ se tem que $\text{Re} \left\langle \left. \frac{d^2 p}{dt^2} \right|_{t=0}, z \right\rangle = -|v|^2$. Agora, sabemos por II que $\text{Re}(\lambda) > 0$. Substituindo na expressão acima ficamos com

$$\left. \frac{d^2}{dt^2} (g_{\theta} \circ p) \right|_{t=0} = \sum_{j,k} \text{Re} \left(\frac{\lambda B_{jk}}{\text{Re}(\lambda)} v_j v_k \right) - \frac{|\lambda|^2}{\text{Re}(\lambda)} |v|^2.$$

Colocando $b_{jk} = \frac{\lambda B_{jk}}{\text{Re}(\lambda)}$ e $c = \frac{|\lambda|^2}{\text{Re}(\lambda)}$ concluímos a demonstração de III.3.

Antes de prosseguirmos, observamos que $T_z F_\theta$ onde z é ponto crítico de g_θ é um \mathbb{C} -espaço vetorial caracterizado por $\langle v, z \rangle = 0$ (produto hermitiano). De fato, se $i \operatorname{grad} \operatorname{Log} f(z) = \lambda z$ com $\lambda \in \mathbb{C}$, então dizer que $\operatorname{Re} \langle v, i \operatorname{grad} \operatorname{Log} f(z) \rangle = 0$ é o mesmo que dizer que $\operatorname{Re} \langle v, -i \lambda z \rangle = 0$. Daí segue que $\operatorname{Im} \langle v, z \rangle = 0$ e que $\operatorname{Re} \langle v, z \rangle = 0$, portanto, $\langle v, z \rangle = 0$.

Recordamos também que o índice de Morse de um funcional bilinear H sobre um espaço vetorial V é a máxima dentre as dimensões dos subespaços de V nos quais H é definido negativo.

Com isto em mãos temos

Lema III.4:

O índice de Morse i de $g_\theta: F_\theta \rightarrow \mathbb{R}$ num ponto crítico satisfaz $i \geq n$.

Demonstração de III.4:

Por III.3 sabemos que a Hessiana de g_θ no ponto z é dada por $H(v) = \sum_{j,k} \operatorname{Re}(b_{jk} v_j v_k) - c|v|^2$ e pela observação acima temos que se $v \in T_z F_\theta$ o mesmo ocorre com iv . Daí concluímos que se $H(v) \geq 0$ então $H(iv) < 0$ isto porque o primeiro termo troca de sinal e o segundo é negativo.

Decomponha $T_z F_\theta = T_- \oplus T$, soma direta real, onde H é definida negativa em T_- e definida semi-positiva em T . Por definição $i = \dim_{\mathbb{R}} T_-$ é o índice de Morse de H . Mas como H

também é definida negativa em iT devemos ter $i \geq \dim_{\mathbb{R}}(iT) = \dim_{\mathbb{R}} T = 2n - i$ ou seja, $i \geq n$.

Para podermos aproximar g_θ por uma função de Morse precisaremos do

Lema III.5:

Existe uma constante $\eta_\theta > 0$ tal que todos os pontos críticos de g_θ estão contidos no subconjunto compacto de F_θ dado por $|f(z)| \geq \eta_\theta$.

Demonstração de III.5:

Suponha que exista uma sequência (z_n) de pontos críticos de g_θ satisfazendo $|f(z_n)| \rightarrow 0$ para $n \rightarrow \infty$. Tome uma subsequência de (z_n) que converge a $z_0 \in S_\theta$ com $|f(z_0)| = 0$. Pelo Lema de Seleção da Curva, existe um caminho $p: (0, \delta) \rightarrow F_\theta$ cuja imagem consiste de pontos críticos de g_θ e satisfaz $p(t) \rightarrow z_0$ para $t \rightarrow 0$. Ora, como g_θ é constante ao longo de p , $|f|$ também o é e não podemos ter $|f(p(t))| \rightarrow |f(z_0)| = 0$ para $t \rightarrow 0$. Essa contradição nos dá III.5.

Necessitamos mais um argumento antes de podermos demonstrar que F_θ tem o tipo de homotopia de um CW-complexo finito.

Lema III.6:

Existe uma função $G_\theta: F_\theta \xrightarrow{C^\infty} \mathbb{R}_+$ tal que todos os

pontos críticos de G_θ são não-degenerados, têm índice $i \geq n$ e $G_\theta(z) = |f(z)|$ para $|f(z)|$ suficientemente pequeno.

Demonstração de III.6:

Primeiramente note que como todos os pontos críticos de $g_\theta = \log|f|$ estão num compacto e têm índice $i \geq n$, o mesmo ocorre em relação aos pontos críticos de $|f|$. Por outro lado, as funções de Morse formam um aberto denso em $C^\infty(F_\theta, \mathbb{R})$ e portanto podemos escolher $G_\theta: F_\theta \rightarrow \mathbb{R}_+$, de Morse, que coincide com $|f|$ fora de uma vizinhança compacta que contém os pontos críticos de $|f|$. Nesse compacto G_θ aproxima $|f|$ uniformemente em classe C^∞ e como os pontos críticos de $|f|$ têm índice $i \geq n$, o mesmo é verificado pelos pontos críticos de G_θ (cf. [Milnor (3)], 22.4; na realidade isso é verdadeiro para aproximações em classe C^2). Observe que G_θ tem apenas um número finito de pontos críticos uma vez que esses, por serem não-degenerados são isolados e além disso estão todos contidos num compacto.

Finalmente, para vermos que F_θ tem o tipo de homotopia de um CW-complexo finito de dimensão n , consideramos a função $\varphi_\theta: F_\theta \xrightarrow{C^\infty} \mathbb{R}$ definida por $\varphi_\theta(z) = -\log G_\theta(z)$. Como $\varphi_\theta^{-1}(-\infty, c] \subset F_\theta$ é compacto, podemos aplicar o seguinte:

Teorema ([Milnor (3)], 3.5)

Se M é uma variedade diferenciável, $f: M \rightarrow \mathbb{R}$ uma função diferenciável cujos pontos críticos são não-degenerados e se $f^{-1}(-\infty, a]$ é compacto, então M tem o tipo de homotopia de

um CW-complexo obtido pela adunção de uma célula de dimensão i para cada ponto crítico de índice i .

Para demonstrarmos que F_θ é paralelizável necessitaremos de alguns fatos novos, que passamos a descrever.

Primeiramente, a Proposição II.3 mostra que se $c \in C$ tem módulo suficientemente pequeno, então $f^{-1}(c) \cap \overset{\circ}{B}_c$ é difeomorfo à porção da fibra F_θ determinada por $F_\theta \cap \{z : |f(z)| > |c|\}$, onde $e^{i\theta} = \frac{c}{|c|}$. Por outro lado, o Lema III.5 nos diz que os pontos críticos da função $|f| = F_\theta \rightarrow \mathbb{R}$ estão todos contidos no compacto $K_{\eta_\theta} = \{z \in F_\theta : |f(z)| \geq \eta_\theta\}$. Com isso em mente temos o seguinte

Lema III.7:

F_θ é difeomorfa a $f^{-1}(c) \cap \overset{\circ}{B}_c$.

Demonstração de III.7:

Escolha $c \neq 0$ tal que $|c| = \frac{1}{3} \eta_\theta$ e sejam $A = \{z \in F_\theta : |f(z)| < |c|\}$, $B = \{z \in F_\theta : |f(z)| \leq \frac{2}{3} \eta_\theta\}$ e $K_{\eta_\theta} = \{z \in F_\theta : |f(z)| \geq \eta_\theta\}$.

Sejam $\rho: F_\theta \rightarrow \mathbb{R}$ uma função de classe C^∞ satisfazendo

$$\rho = \begin{cases} \frac{1}{\langle \text{grad}|f|, \text{grad}|f| \rangle} & \text{em } B \\ 0 & \text{em } K_{\eta_\theta} \end{cases}$$

e X o campo em F_θ definido por $X = \rho \operatorname{grad}|f|$. Dado $z \in A$, seja $\varphi_t(z)$ o fluxo local gerado por X em torno de z .

$$\begin{aligned} \text{Se } \varphi_t(z) \in B \text{ então } \frac{d}{dt} |f(\varphi_t(z))| &= \\ = \langle \frac{d}{dt} (\varphi_t(z)), \operatorname{grad}|f(\varphi_t(z))| \rangle &= \langle X(\varphi_t(z)), \operatorname{grad}|f(\varphi_t(z))| \rangle = 1 \end{aligned}$$

ou seja, $t \rightarrow |f(\varphi_t(z))|$ é linear e estritamente crescente. Daí concluímos que as soluções por $z \in A$ estão definidas para, pelo menos, $0 \leq t < \frac{1}{3} \eta_\theta$.

Como $F_\theta - A$ é compacto, cubra-o com um número finito de abertos U_i tais que $\varphi_t(z)$ esteja definido para

$|t| < \epsilon_i$ sempre que $z \in U_i$. Ponha $\epsilon_0 = \min\{\frac{1}{3} \eta_\theta, \epsilon_i\}$ e escreva $|c| = \frac{1}{3} \eta_\theta = m(\frac{\epsilon_0}{2}) + r$ com $r < \frac{\epsilon_0}{2}$. Dado $z \in F_\theta$ seja

$$\varphi_{|c|}(z) = \varphi_{\frac{\epsilon_0}{2}} \circ \dots \circ \varphi_{\frac{\epsilon_0}{2}} \circ \varphi_r(z) \text{ onde compomos } \varphi_{\frac{\epsilon_0}{2}} \text{ } m \text{ vezes.}$$

Então $\varphi_{|c|}: F_\theta \rightarrow \widehat{F_\theta - A}$ é o difeomorfismo procurado.

Uma consequência imediata desse fato é que F_θ é orientável uma vez que é difeomorfa a uma variedade analítica complexa. Por outro lado já sabemos que F_θ tem o tipo de homotopia de um CW-complexo finito de dimensão n e portanto $H_{2n}(F_\theta; \mathbb{Z}_2) = 0$ e isto implica que F_θ não possui componente compacta. De fato, se A fosse uma componente compacta de F_θ teríamos $H_{2n}(A; \mathbb{Z}_2) \simeq \mathbb{Z}_2$ e daí

$$\begin{array}{ccccccc} 0 & \longrightarrow & H_{2n}(A; \mathbb{Z}_2) & \longrightarrow & H_{2n}(F_\theta; \mathbb{Z}_2) & \longrightarrow & \dots \\ & & \downarrow \sim & & \parallel & & \\ & & \mathbb{Z}_2 & \xrightarrow{\text{injetiva}} & 0 & & \text{o que é absurdo.} \end{array}$$

No que segue utilizaremos o resultado descrito abaixo, devido a Milnor e Kervaire (veja [Kervaire e Milnor]). Antes porém, uma definição, que é encontrada na mesma referência.

Definição:

Uma variedade M , de classe C^∞ , é dita s -paralelizável se a soma de Whitney $TM \oplus \epsilon^1$ é trivial, onde TM é o fibrado tangente a M e ϵ^1 é um fibrado trivial de posto 1 sobre M .

Teorema:

Seja M uma variedade de classe C^∞ , compacta, conexa, orientável, com bordo. Então M é s -paralelizável se e somente se M é paralelizável.

Estamos em condições de iniciar a demonstração de que F_θ é paralelizável.

Sejam $\nu_{S_\epsilon}(F_\theta)$ o fibrado normal de F_θ em S_ϵ^{2n+1} e U uma vizinhança tubular de F_θ em $S_\epsilon - K_\epsilon$. Como F_θ separa U podemos utilizar o seguinte

Lema ([Hirsch]):

Sejam N uma variedade conexa e $M \hookrightarrow N$ uma subvariedade conexa, fechada, de codimensão 1 sendo $\partial M = \partial N = \emptyset$. Se M separa N então $\nu_N(M)$ é trivial.

Aplicando o lema acima a cada componente conexa de F_θ concluímos que $\nu_{S_\epsilon}(F_\theta)$ é trivial. (Na realidade F_θ é conexa, como veremos mais adiante).

Retornamos agora à função $\varphi_\theta(z) = -\log G_\theta(z)$ (cf. Lema III.6). Sejam c um valor regular de φ_θ e V uma componente conexa de $\varphi_\theta^{-1}(-\infty, c]$. Então, se c é suficientemente grande, $\overset{\circ}{V}$ é difeomorfo a uma componente de F_θ , donde orientável. Daí concluímos que $\nu_{S_\epsilon}(V)$ é trivial. Se denotarmos $\nu_{\mathbb{C}^{n+1}(S_\epsilon)}|_V$ à restrição do fibrado normal de S_ϵ em \mathbb{C}^{n+1} a V , que é trivial, temos que $TV \oplus \nu_{S_\epsilon}(V) \oplus \nu_{\mathbb{C}^{n+1}(S_\epsilon)}|_V \simeq TC^{n+1}|_V$ e portanto é trivial. Concluiremos que $TV \oplus \nu_{S_\epsilon}(V)$ é trivial através do seguinte

Lema: ([Milnor-Kervaire]; 3.5)

Seja ξ um fibrado vetorial de posto k sobre uma variedade compacta, conexa, orientável, de dimensão n com $k > n$. Se a soma de Whitney $\xi \oplus \epsilon^r$ é trivial, onde ϵ^r é um fibrado vetorial trivial de posto r , então ξ é trivial.

Uma vez que $TV \oplus \nu_{S_\epsilon}(V)$ é trivial, o teorema de Milnor e Kervaire nos diz que TV é trivial e portanto $V \rightarrow \partial V$ é paralelizável. Agora, a união $U(V \rightarrow \partial V)$ sobre as componentes conexas de $\varphi_\theta^{-1}(-\infty, c]$ é difeomorfa a F_θ o que mostra que esta é paralelizável, concluindo a demonstração de III.1.

Passamos agora ao estudo da topologia de $K = S_c \cap f^{-1}(0)$. Como em III.1 não estamos supondo que $0 \in \mathbb{C}^{n+1}$ é ponto crítico isolado de f . Nessas circunstâncias, o melhor que temos à mão é

Teorema III.8:

$$K = S_c \cap f^{-1}(0) \text{ é } (n-2) \text{ - conexo.}$$

Demonstração:

Seja N_η a vizinhança compacta de K definida por $N_\eta = \{z \in S_c : |f(z)| \leq \eta\}$. Usando o fato de que K , sendo um conjunto algébrico real é triangulável (veja [Lojasiewicz]), concluímos que é um retrato absoluto de vizinhança (veja [Spanier]) é daí segue que K é um retrato de N_η desde que η seja suficientemente pequeno. Logo, $\pi_i(K) \approx \pi_i(N_\eta)$.

Considere agora a vizinhança N_η e o espaço $S_c \overset{o}{-} N_\eta$. Seja $g: S_c - K \rightarrow \mathbb{R}$ definida por $g(z) = \log|f(z)|$.

Os Lemas III.2, III.3, III.4, III.5 e III.6 continuam válidos se trocarmos g_θ por g , tomando-se o cuidado de reescrever os enunciados de III.4, III.5 e III.6 como segue:

Lema III.4 (revisitado)

O índice de Morse de $g: S_c - K \rightarrow \mathbb{R}$ em um ponto crítico é maior que ou igual a n .

Observação: Isto segue do fato que todo ponto crítico z de g , por estar em alguma fibra F_θ , também é ponto crítico de g_θ e portanto o índice de g em z é maior que ou igual ao índice de g_θ em z .

Lema III.5 (revisitado)

Existe $\eta > 0$ tal que todos os pontos críticos de g estão no compacto determinado por $|f(z)| \geq \eta$.

Lema III.6 (revisitado)

Existe uma função $G: S_\epsilon - K \xrightarrow{C^\infty} \mathbb{R}_+$, cujos pontos críticos são não-degenerados, possuem índice de Morse maior que ou igual a n e tal que G coincide com a função $z \rightarrow |f(z)|$ desde que $|f(z)|$ seja suficientemente pequeno.

Com isto em mãos podemos concluir que:

(i) $S_\epsilon - K$ tem o tipo de homotopia de um CW-complexo finito de dimensão $n + 1$.

De fato, considerando a função $\varphi(z) = -\log G(z)$ temos que $\varphi^{-1}(-\infty, c]$ é compacto qualquer que seja $c \in \mathbb{R}$ e que o índice i de φ em um ponto crítico é menor que ou igual a $n + 1$, isto porque, sendo o índice de $\log G$ em um tal ponto maior que ou igual a n , o índice i de $-\log G$ satisfaz $i \leq n + 1$.

(ii) N_η é uma variedade C^∞ com bordo, para η suficientemente pequeno.

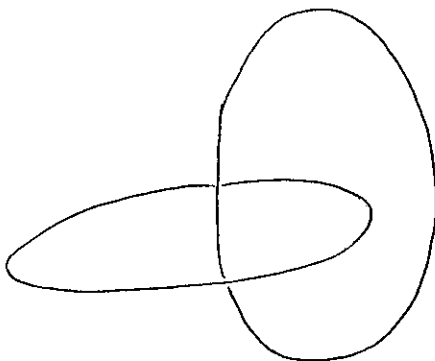
Isto segue imediatamente de III.5.

(iii) S_ϵ é obtido de N_η pela adjunção de um número finito de células de dimensão maior que ou igual a n .

Isto segue do teorema 3.5 de [Milnor(3)] em se considerando a função $G|_{S_\epsilon - N_\eta} : S_\epsilon - N_\eta \rightarrow \mathbb{R}_+$.

Ora, como a adjunção de uma célula n -dimensional não altera os grupos de homotopia em dimensão menor que ou igual a $n - 2$ temos $\pi_i(N_\eta) \simeq \pi_i(S_\varepsilon)$ para $i \leq n-2$, o que conclui a demonstração de III.8.

O teorema acima nos diz que K é conexo se $n = 2$ e simplesmente conexo se $n \geq 3$. Se $n = 1$ podemos assegurar apenas que K é não-vazio e em se considerando $f(x,y) = xy$ vemos que $K = S_\varepsilon^3 \cap f^{-1}(0)$ é um entrelace formado por dois nós triviais (veja figura abaixo).



Faremos agora a hipótese de que $f: (\mathbb{C}^{n+1}, 0) \rightarrow (\mathbb{C}, 0)$ tem uma singularidade isolada em $0 \in \mathbb{C}^{n+1}$ ou é não-singular. Nesse caso, como foi visto em II.2 o fêcho \bar{F}_θ da fibra típica F_θ é uma variedade C^∞ com bordo $\partial \bar{F}_\theta = K$ e que \bar{F}_θ está mergulhado em S_ε de tal modo que $\pi_i(S_\varepsilon - \bar{F}_\theta) \simeq \pi_i(\bar{F}_\theta)$. Informação sobre a homologia de F_θ é dada pela

Proposição III.9:

A homologia de F_θ está concentrada nas dimensões 0 e n e $H_0(F_\theta) \simeq \mathbb{Z}$.

Demonstração:

Note que, por III.1, $H_q(F_\theta) = 0$ para $q > n$. Como $H_q(F_\theta) \simeq H_q(S_\epsilon - \bar{F}_\theta)$ uma vez que F_θ é difeomorfa a um retrato de deformação de $S_\epsilon - \bar{F}_\theta$, basta considerar $H_q(S_\epsilon - \bar{F}_\theta)$. A dualidade de Alexander fornece um isomorfismo $\bar{H}^{2n+1-q}(\bar{F}_\theta) \simeq H_q(S_\epsilon, S_\epsilon - \bar{F}_\theta)$. Olhe para a sequência exata de homologia

$$\dots \rightarrow H_q(S_\epsilon) \rightarrow H_q(S_\epsilon, S_\epsilon - \bar{F}_\theta) \rightarrow H_{q-1}(S_\epsilon - \bar{F}_\theta) \rightarrow H_{q-1}(S_\epsilon) \rightarrow \dots$$

Portanto, para $2 \leq q \leq n$ temos um isomorfismo

$$H_{q-1}(S_\epsilon - \bar{F}_\theta) \simeq H_q(S_\epsilon, S_\epsilon - \bar{F}_\theta) \simeq \bar{H}^{2n+1-q}(\bar{F}_\theta).$$

Mas, por III.1 sabemos que $\bar{H}^{2n+1-q}(\bar{F}_\theta) = 0$ quando $2n+1-q > n$, ou seja, $0 < q-1 < n$. Por outro lado também temos

$$\dots \rightarrow H_{2n+1}(S_\epsilon - \bar{F}_\theta) \rightarrow H_{2n+1}(S_\epsilon) \rightarrow H_{2n+1}(S_\epsilon, S_\epsilon - \bar{F}_\theta) \rightarrow H_{2n}(S_\epsilon - \bar{F}_\theta) \rightarrow \dots$$

$$\begin{array}{ccc} || & | \sim & || \\ 0 & \mathbb{Z} & 0 \end{array}$$

e daí $\bar{H}^0(\bar{F}_\theta) \simeq H_{2n+1}(S_\epsilon, S_\epsilon - \bar{F}_\theta) \simeq \mathbb{Z}$, ou seja, F_θ é conexa.

Podemos ir mais longe e dizer que

Teorema III.10:

F_θ é $(n-1)$ -conexa e tem o tipo de homotopia de um bouquet $S^n v \dots v S^n$ de esferas.

Demonstração:

Aqui faremos uso do teorema de Hurewicz, na seguinte versão ([Spanier], 7.5.5).

Teorema (Hurewicz)

Se X é simplesmente conexo e existe $q \geq 2$ tal que $H_i(X, x) = 0$ para $i < q$, então $\pi_i(X, x) = 0$ para $i < q$ e existe um isomorfismo $\pi_q(X, x) \simeq H_q(X, x)$.

Vamos mostrar inicialmente que F_θ é $(n-1)$ -conexa. Para fazê-lo note que, após III.9 e Hurewicz, é suficiente mostrar que F_θ é simplesmente conexa para $n \geq 2$.

Considere a função $-G_\theta: \bar{F}_\theta \rightarrow \mathbb{R}$, onde G_θ é a função obtida no Lema III.6. $-G_\theta$ é uma função de Morse em \bar{F}_θ e o índice i em qualquer um de seus pontos críticos satisfaz $i \leq n$. Notando que o índice de $-G_\theta$ no ponto crítico associado ao menor valor crítico é zero concluímos que \bar{F}_θ é obtida de um disco $D_{z_0}^{2n}$ pela adjunção de células de dimensão menor que ou igual a n . Agora, $S_e - D_{z_0}^{2n}$ é simplesmente conexo e se adjuntamos uma célula e_λ de dimensão $\lambda \leq n$ a $D_{z_0}^{2n}$, o grupo fundamental de $S_e - (D_{z_0}^{2n} \cup e_\lambda)$ não se altera desde que $\lambda \leq \dim S_e - 3$. Portanto, desde que $\lambda \leq n \leq \dim S_e - 3 = 2n - 2$ ou seja, para $n \geq 2$ temos $\pi_1(S_e - (D_{z_0}^{2n} \cup e_\lambda)) \simeq \pi_1(S_e - D_{z_0}^{2n})$. Ora, após a adjunção de um número finito de células obtemos \bar{F}_θ e portanto $\pi_1(S_e - D_{z_0}^{2n}) \simeq \pi_1(\bar{F}_\theta)$ e este último grupo é isomorfo a $\pi_1(S_e - \bar{F}_\theta) \simeq \pi_1(F_\theta)$ por II.2.

Para vermos que F_θ tem o tipo de homotopia de um bouquet de esferas começamos observando que $H_n(F_\theta)$ é abeliano livre. De fato, se êle possuísse parte de torsão teríamos cohomologia não trivial em dimensão $n + 1$, o que é impossível por III.1. Suponha $n \geq 2$. Por Hurewicz existe um isomorfismo $H_n(F_\theta) \simeq \pi_n(F_\theta)$.

Seja $(S^n \vee \dots \vee S^n, p_0) \rightarrow (F_\theta, p_1)$ uma aplicação contínua que leva o ponto base p_0 no ponto base p_1 e que leva as esferas (S^n, p_0) do bouquet nos geradores de $\pi_n(F_\theta, p_1)$. Uma tal aplicação induz um isomorfismo entre as homologias $H_n(S^n \vee \dots \vee S^n) \simeq H_n(F_\theta)$. O teorema de Whitehead ([Panier], 7.5.9) garante então que a aplicação acima é uma equivalência homotópica já que F_θ e $S^n \vee \dots \vee S^n$ são simplesmente conexos.

O caso $n = 1$ segue de que, sendo \bar{F}_θ uma superfície conexa, compacta, orientável e com bordo, esta tem o tipo de homotopia de um bouquet de círculos.

Definição III.11:

O número de esferas S^n do bouquet, ou o número de geradores da homologia média da fibra F_θ é chamado número de Milnor de f em 0 e notado μ .

O objeto da próxima seção é expor diferentes caracterizações de μ . Antes porém, um exemplo dos mais importantes.

Exemplo III.12:

Seja $f: (\mathbb{C}^{n+1}, 0) \rightarrow (\mathbb{C}, 0)$ definida por $f(z_0, \dots, z_n) = z_0^2 + \dots + z_n^2$.

Escreva $z_j = x_j + iy_j$ e sejam D_η o disco em \mathbb{C} dado por $|t| \leq \eta$, $D_\eta^* = D_\eta - \{0\}$, B_ϵ a bola fechada de raio $\epsilon > 0$ e centro em $0 \in \mathbb{C}^{n+1}$, $\tilde{Y} = B_\epsilon \cap f^{-1}(D_\eta)$, $Y = B_\epsilon \cap f^{-1}(D_\eta^*)$. Pelo Teorema II.3, sabemos que $Y \xrightarrow{f} D_\eta^*$ é uma fibração C^∞ localmente trivial, cuja fibra típica Y_t , $t \in D_\eta^*$ é difeomorfa à fibra de Milnor \bar{F}_θ associada a f . \tilde{Y} e Y_η são descritos por

$$\tilde{Y} = \{z \in \mathbb{C}^{n+1} : |z_0|^2 + \dots + |z_n|^2 \leq \epsilon^2 \text{ e } |z_0^2 + \dots + z_n^2| \leq \eta\}$$

$$Y_\eta = \{z \in Y : z_0^2 + \dots + z_n^2 = \eta\}.$$

Antes de mais nada note que \tilde{Y} é contrátil (linearmente). Em coordenadas reais, Y_η é dada por

$$\sum x_j^2 + \sum y_j^2 \leq \epsilon^2, \quad \sum x_j^2 - \sum y_j^2 = \eta \text{ e } \sum x_j y_j = 0.$$

Dáí segue que $\sum y_j^2 \leq \frac{\epsilon^2 - \eta}{2}$. Ponha $u_j = \frac{x_j}{\sqrt{\frac{\epsilon^2 - \eta}{2}}}$ e $v_j = \frac{y_j}{\sqrt{\frac{\epsilon^2 - \eta}{2}}}$.

Obtemos então um difeomorfismo entre Y_η e o conjunto definido por $\sum u_j^2 = 1$, $\sum v_j^2 \leq 1$ e $\sum u_j v_j = 0$. Ora, geomètricamente isto significa considerar a esfera $S^n = \{\sum u_j^2 = 1\}$ em \mathbb{R}^{n+1} e tomar os vetores (v_0, \dots, v_n) tangentes a S^n no ponto (u_0, \dots, u_n) que têm comprimento menor que ou igual a 1.

Em outras palavras, Y_η é difeomorfo ao fibrado por bolas unitárias tangente a S^n e o bordo $\partial Y_\eta \simeq K$ é difeomorfo ao fibrado esférico unitário tangente a S^n . Estes são notados $TS^n|_{|\leq 1}$ e $TS^n|_{|=1}$ respectivamente. Vemos também que Y_η pode ser visto como uma vizinhança tubular da base $S^n \hookrightarrow TS^n|_{|\leq 1}$ e que esta está mergulhada em Y_η como a seção nula de $TS^n|_{|\leq 1}$.

Como $TS_{||\leq 1}^n$ se retrai a S^n temos $H_0(Y_\eta) \simeq \mathbb{Z}$, $H_n(Y_\eta) \simeq \mathbb{Z}$ e um gerador de $H_n(Y_\eta)$ é representado pela esfera S^n . Por outro lado, a homologia de $K \simeq TS_{||\leq 1}^n$ é dada por ([Spanier], 5.7)

$H_{n-1}(K) \simeq \mathbb{Z}$ se n é ímpar.

$H_{n-1}(K) \simeq \mathbb{Z}_2$ se n é par.

CAPÍTULO IV

A MONODROMIA LOCAL

Na demonstração do Teorema da Fibrção (II.2) obtivemos um fluxo $h: \mathbb{R} \times S_\epsilon - K_\epsilon \rightarrow S_\epsilon - K_\epsilon$ $h(t, z) = h_t(z)$ tal que para cada $z \in S_\epsilon - K_\epsilon$, $\varphi_\epsilon(h_t(z)) = e^{i[t + \arg z]}$ isto é h_t é o levantamento do laço e^{it} , $0 \leq t \leq 2\pi$ com ponto inicial z . Portanto se $\theta = \arg(z)$ e $F_\theta = \varphi_\epsilon^{-1}(e^{i\theta})$ então $h_{2\pi}: F_\theta \rightarrow F_\theta$ é um difeomorfismo chamado difeomorfismo característico.

Em geral se $\phi: E \rightarrow S^1$ é uma fibração então levantando o laço e^{it} $0 \leq t \leq 2\pi$ podemos escolher uma família contínua de homeomorfismos $h_t: F_\theta \rightarrow F_{\theta+t}$ tal que $h_0 =$ identidade e $h_{2\pi}$ é o homeomorfismo característico. Como o levantamento depende apenas da classe de homotopia de laço obtemos assim uma ação de $\pi_1(S^1) = \mathbb{Z}$ sobre a fibra F_θ .

Definição IV.1: Chama-se monodromia de f em O a esta ação de $\pi_1(S^1)$ em $H_*(F_\theta)$.

No caso em que f possui um ponto crítico isolado em O a monodromia pode ser vista como induzida pelo gerador do grupo de automorfismos do recobrimento cíclico infinito de $S_\epsilon - K_\epsilon$.

Sejam $z_0 \in S_\epsilon - K_\epsilon$, $x = \varphi_\epsilon(z_0)$ e $H = \text{Ker } \varphi_{\epsilon*}$ com $\varphi_{\epsilon*}: \pi_1(S_\epsilon - K, z_0) \rightarrow \pi_1(S^1, x) = \mathbb{Z}$. Associado a H existe um espaço de recobrimento $p_\epsilon: X \rightarrow S_\epsilon - K$ e um ponto $\tilde{z}_0 \in p_\epsilon^{-1}(z_0)$ tal que

$p_{\mathbb{C}^*}(\pi_1(X, \tilde{z}_0)) = H$ [Massey]. Além disso como H é um subgrupo normal temos $\text{Aut}(X) \simeq \pi_1(S_{\mathbb{C}} - K_{\mathbb{C}}, z_0)/H \cong \mathbb{Z}$ ou seja X é recobrimento cíclico infinito de $S_{\mathbb{C}} - K_{\mathbb{C}}$. Entretanto como $C = \text{comutador de } \pi_1(S_{\mathbb{C}} - K_{\mathbb{C}}, z_0)$ está contido em H o homomorfismo induzido $H_1(S_{\mathbb{C}} - K_{\mathbb{C}}) \simeq \pi_1(S_{\mathbb{C}} - K_{\mathbb{C}}, z_0)/C \rightarrow \pi_1(S^1) = \mathbb{Z} = H^1(S^1)$ tem núcleo igual a H/C . Mas se $n \geq 2$ ou $K_{\mathbb{C}}$ é conexo para $n = 1$ então $H_1(S_{\mathbb{C}} - K_{\mathbb{C}}) \simeq \mathbb{Z}$ e o homomorfismo acima é sobrejetivo (logo é um isomorfismo). Donde $H = C$ e X é único (a menos de isomorfismo).

Observe também que X é isomorfo ao fibrado X_1 induzido pela aplicação $\exp: \mathbb{R} \rightarrow S^1$ $\exp(t) = e^{it}$ construído de forma que diagrama

$$\begin{array}{ccc}
 X_1 & \longrightarrow & S_{\mathbb{C}} - K_{\mathbb{C}} \\
 \downarrow & & \downarrow \varphi_{\mathbb{C}} \\
 \mathbb{R} & \xrightarrow{\exp} & S^1
 \end{array}
 \quad \text{comuta.}$$

Como X_1 tem base contrátil vemos que X_1 é difeomorfo ao produto $F_{\theta} \times \mathbb{R}$ com o gerador de $\text{Aut}(X_1)$ induzindo a monodromia $h_*: H_*(F_{\theta}) \rightarrow H_*(F_{\theta})$. De acordo com III.9 o que interessa é $h_*: H_n(F_{\theta}) \rightarrow H_n(F_{\theta})$.

Provamos agora que a monodromia é um invariante topológico.

Definição IV.2: Duas funções holomorfas f e $g: (\mathbb{C}^{n+1}, 0) \rightarrow (\mathbb{C}, 0)$ com 0 ponto crítico isolado de f e g possuem o mesmo tipo topológico local em 0 se existem vizinhanças U e V de 0 em \mathbb{C}^{n+1} e um homeomorfismo $\psi: (U, 0) \rightarrow (V, 0)$ tais que $\psi(f^{-1}(0) \cap U) = g^{-1}(0) \cap V$.

Teorema IV.1: [Lê Dũng Tráng (2)] se f e g possuem o mesmo tipo topológico local então $\mu(f) = \mu(g)$ e as respectivas monodromias são conjugadas ($\mu(f)$ = número de Milnor de f).

Demonstração:

Suponhamos que $\psi: (U, 0) \rightarrow (V, 0)$ seja um homeomorfismo tal que $\psi(f^{-1}(0) \cap U) = g^{-1}(0) \cap V$.

De acordo com o Teorema II.1 se ϵ é suficientemente pequeno $B_\epsilon - f^{-1}(0)$ possui o mesmo tipo homotópico que $S_\epsilon - K$. Podemos então construir $p_1: Y \rightarrow B_\epsilon - f^{-1}(0)$ recobrimento cíclico infinito de modo que a restrição do gerador de $\text{Aut}(Y)$ a $p_1^{-1}(S_\epsilon - K_\epsilon)$ induz a monodromia de f em 0 . Análogamente construímos $p_2: Y^1 \rightarrow B_\epsilon - g^{-1}(0)$.

Vejamus como o homeomorfismo ψ induz uma equivalência entre os monodromias.

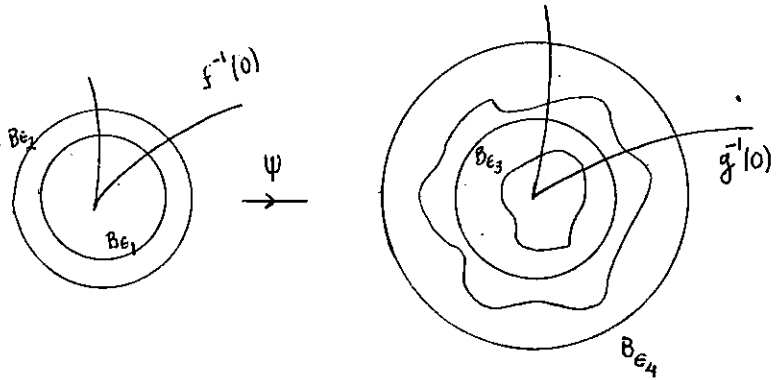
Seja $\epsilon_0 > 0$ tal que as propriedades do Teorema II.1 são satisfeitas tanto para f como para g , isto é: se $0 < \epsilon < \epsilon_0$ então $(B_\epsilon, f^{-1}(0) \cap B_\epsilon) \simeq (C(S_\epsilon), C(K_\epsilon))$ e se $0 < \epsilon < \epsilon' < \epsilon_0$ então $S_{\epsilon'} - K_{\epsilon'}$ é difeomorfo a $S_\epsilon - K_\epsilon$. (Análogamente para g).

Sejam $\epsilon_1, \epsilon_2, 0 < \epsilon_1 < \epsilon_2 < \epsilon_0$ e $\epsilon_3, \epsilon_4, 0 < \epsilon_3 < \epsilon_4 < \epsilon_0$ tais que $\psi(B_{\epsilon_1}) \subset B_{\epsilon_3} \subset \psi(B_{\epsilon_2}) \subset B_{\epsilon_4}$.

Obtemos a sequência

$$\begin{aligned} \pi_1(\psi(B_{\epsilon_1}) - g^{-1}(0), x) &\rightarrow \pi_1(B_{\epsilon_3} - g^{-1}(0), x) \rightarrow \pi_1(\psi(B_{\epsilon_2}) - g^{-1}(0), x) \rightarrow \\ &\rightarrow \pi_1(B_{\epsilon_4} - g^{-1}(0), x) \end{aligned}$$

com $x \in \psi(B_{\epsilon_1}) - g^{-1}(0)$.



$$\text{Mas } \psi_*: \pi_i(B_{\epsilon} - f^{-1}(0), y) \simeq \pi_i(\psi(B_{\epsilon}) - g^{-1}(0), \psi(y))$$

$$\pi_i(B_{\epsilon_1} - f^{-1}(0), y) \simeq \pi_i(B_{\epsilon_2} - f^{-1}(0), y) \quad e$$

$$\pi_i(B_{\epsilon_3} - g^{-1}(0), x) \simeq \pi_i(B_{\epsilon_4} - g^{-1}(0), x).$$

Concluimos que $\pi_i(B_{\epsilon} - f^{-1}(0), y) \simeq \pi_i(B_{\epsilon'} - g^{-1}(0), x)$ para todos ϵ, ϵ' tais que $0 < \epsilon < \epsilon_0, 0 < \epsilon' < \epsilon_0$. Como $B_{\epsilon} - f^{-1}(0)$ e $B_{\epsilon'} - g^{-1}(0)$ possuem tipo homotópico de um complexo CW finito obtemos uma equivalência homotópica entre $B_{\epsilon} - f^{-1}(0)$ e $B_{\epsilon'} - g^{-1}(0)$ (ver [Spanier]).

Considere ϵ' tal que $\psi(B_{\epsilon'}) \subset B_{\epsilon}$ e o diagrama

$$\begin{array}{ccccc}
 Y & \simeq & p_2^{-1}(\psi(B_{\epsilon'}) - g^{-1}(0)) & \hookrightarrow & Y^1 \\
 \downarrow p_1 & & \downarrow \bar{p}_2 & & \downarrow p_2 \\
 B_{\epsilon} - f^{-1}(0) & \longrightarrow & \psi(B_{\epsilon'}) - g^{-1}(0) & \hookrightarrow & B_{\epsilon} - g^{-1}(0).
 \end{array}$$

Como a inclusão $\psi(B_{\epsilon'}) - g^{-1}(0) \hookrightarrow B_{\epsilon} - g^{-1}(0)$ é uma equivalência homotópica, $p_2^{-1}(\psi(B_{\epsilon'}) - g^{-1}(0)) \hookrightarrow Y^1$ é uma equivalência homotópica. Além disso Y é isomorfo a $p_2^{-1}(\psi(B_{\epsilon'}) - g^{-1}(0))$ de modo que o gerador de $\text{Aut}(Y^1)$ induz na homologia de $p_2^{-1}(\psi(B_{\epsilon'}) - g^{-1}(0))$ (= homologia da fibra de Milnor) a monodromia de g , que é portanto conjugada (via o isomorfismo $Y \simeq p_2^{-1}(\psi(B_{\epsilon'}) - g^{-1}(0))$) à monodromia de f e obviamente $\mu(f) = \mu(g)$. ■

Passaremos agora ao estudo de um exemplo onde podemos calcular explicitamente a monodromia (vide [Brieskorn] ou [Sebastiani (1)]).

Exemplo: Seja $f: \mathbb{C}^{n+1} \rightarrow \mathbb{C}$ $f(z_1, \dots, z_{n+1}) = z_1^{a_1} + \dots + z_{n+1}^{a_{n+1}}$ com $a_j \geq 2$ para $j = 1, \dots, n+1$ e $n \geq 1$. É claro que 0 é um ponto crítico isolado. Seja $v(z) = (\frac{1}{a_1} z_1, \dots, \frac{1}{a_{n+1}} z_{n+1})$ campo em \mathbb{C}^{n+1} [veja exercício no Capítulo II]. Este campo satisfaz às condições do Lema II.1, isto é $\langle v(z), \text{grad Log} f(z) \rangle = 1$ e $\text{Re} \langle v(z), z \rangle > 0$ de modo que para o fluxo linear $(e^{r/a_1} z_1, \dots, e^{r/a_{n+1}} z_{n+1})$ gerado por v temos:

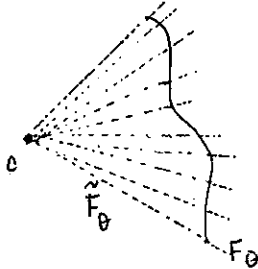
$$\left\{ \begin{array}{l} \| (e^{r/a_1} z_1, \dots, e^{r/a_{n+1}} z_{n+1}) \|^2 \text{ é crescente} \\ f(e^{r/a_1} z_1, \dots, e^{r/a_{n+1}} z_{n+1}) = e^r f(z_1, \dots, z_{n+1}) \end{array} \right.$$

Portanto $\mathbb{C}^{m-1} - V$ fica fibrado pelas subvariedades $\mathbb{F}_\theta = \psi^{-1}(e^{i\theta})$ onde $\psi: \mathbb{C}^{m-1} - V \rightarrow S^1$ é definida por

$\psi(z) = \frac{f(z)}{|f(z)|}$ (arg de $f(z)$ é constante ao longo das órbitas de v).

Além disso \tilde{F}_θ é difeomorfo a $F_\theta \times \mathbb{R}$ pela aplicação

$$((z_1, \dots, z_{n+1}), t) \longmapsto (e^{t/a_1} z_1, \dots, e^{t/a_{n+1}} z_{n+1}).$$



Em particular F_θ e \tilde{F}_θ possuem o mesmo tipo homotópico.

Observe também que o fluxo

$$h_t(z) = (e^{2\pi it/a_1} z_1, \dots, e^{2\pi it/a_{n+1}} z_{n+1}) \text{ satisfaz } f \circ h_t(z) =$$

$$= e^{2\pi it} f(z) \text{ ou seja, } h_t \text{ é um levantamento do laço } e^{2\pi it}$$

$0 \leq t \leq 1$ e portanto induz a monodromia $h_{1*}: H_n(F_\theta) \rightarrow H_n(F_\theta)$.

Vamos usar a homologia com coeficientes complexos.

Fixando a fibra F_θ vamos estudar o isomorfismo

$$h_{1*}: H_n(F_\theta) \rightarrow H_n(F_\theta) \text{ que é o mesmo que } h_{1*}: H_n(\tilde{F}_\theta) \rightarrow H_n(\tilde{F}_\theta) \text{ e}$$

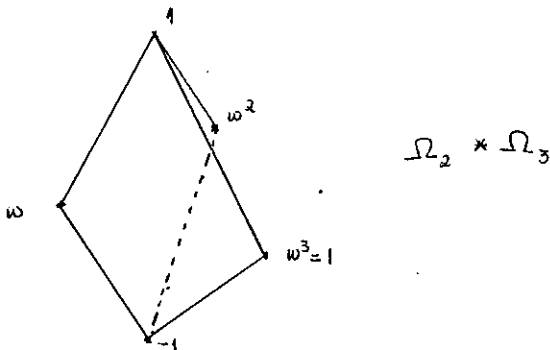
observe que

$$\tilde{F}_\theta = \{z \in \mathbb{C}^{n+1} \setminus v / \frac{f(z)}{|f(z)|} = 1\} = \{z \in \mathbb{C}^{n+1} / f(z) \text{ é real e positivo}\}.$$

Sejam $\Omega_{a_j} = \{w \in \mathbb{C} / w \text{ é } a_j\text{-ésima raiz da unidade}\}$

e a junção $J = \Omega_{a_1} * \Omega_{a_2} * \dots * \Omega_{a_{n+1}} = \{(t_1 w_1, \dots, t_{n+1} w_{n+1}) / \sum_{j=1}^{n+1} t_j = 1, t_j \geq 0, w_j \in \Omega_{a_j}\}$ então $J \subset \tilde{F}_0$ e $h_1(J) \cong J$.

Lema: J é retrato por deformação de \tilde{F}_0 .



Demonstração:

Consideremos a aplicação $H(z_1, \dots, z_{n+1}) = (z_1^{a_1}, \dots, z_{n+1}^{a_{n+1}})$.

Como a função $z \mapsto z^n$ fora de 0 é um recobrimento de ordem n , para cada $(z_1, \dots, z_{n+1}) \in \mathbb{C}^{n+1}$ é possível levantar $t \rightarrow [(1-t)z_1^{a_1} + t\text{Re}(z_1^{a_1}), \dots, (1-t)z_{n+1}^{a_{n+1}} + t\text{Re}(z_{n+1}^{a_{n+1}})]$ a um único caminho $\alpha(t, z_1, \dots, z_{n+1}) = (\alpha_1(t, z_1), \dots, \alpha_{n+1}(t, z_{n+1}))$ (isto é tal que $\alpha_j(t, z_j)^{a_j} = (1-t)z_j^{a_j} + t\text{Re}(z_j^{a_j})$).

Observe que $f \circ \alpha(t, z_1, \dots, z_{n+1}) = (1-t)f(z_1, \dots, z_{n+1}) + t\text{Re} f(z_1, \dots, z_{n+1})$ de modo que $\alpha(t, z_1, \dots, z_{n+1}) \in \tilde{F}_0$ para todo $t \in [0, 1]$ e $(z_1, \dots, z_{n+1}) \in \tilde{F}_0$. Além disso $\alpha(t, \cdot)$ deixa fixo o conjunto $Y = \{(z_1, \dots, z_{n+1}) / z_j^{a_j} \in \mathbb{R}\}$, em par-

particular $\alpha(t, \cdot)$ fixa J . Portanto Y é um retrato para deformação de \tilde{F}_0 .

Se $z \in \mathbb{C}$ é tal que $z^n \in \mathbb{R}$ definimos

$s(t, z) = [1 - \frac{t}{2} (1 - \frac{z^n}{|z^n|})]z$ uma função contínua que satisfaz:

$$z^n \geq 0 \quad s(t, z) = z$$

$$z^n < 0 \quad s(t, z) = (1-t)z.$$

Usando a aplicação

$$\Gamma: [0, 1] \times Y \rightarrow Y, \quad \Gamma(t, z_1, \dots, z_{n+1}) = (s(t, z_1), \dots, s(t, z_{n+1}))$$
 e

escrevendo $X = \{(z_1, \dots, z_{n+1}) / z_j^{a_j} \geq 0 \quad j = 1, \dots, n+1\}$

obtemos que X é um retrato por deformação de Y . Basta agora

"normalizar" X para obtermos J . $z_j^{a_j} \geq 0$ implica que

$z_j = t_j w_j$ com $t_j \geq 0$ e $w_j \in \Omega_{a_j}$. Logo, usando a aplicação

$$(1-t)(z_1, \dots, z_{n+1}) + \frac{t}{\sum_{j=1}^{n+1} t_j} (z_1, \dots, z_{n+1})$$

obtemos J é um retrato por deformação de X . ■

$h_1: J \rightarrow J$ induz uma aplicação $\Omega_{a_j} \rightarrow \Omega_{a_j}$ para

$j = 1, \dots, n+1$ dada pela multiplicação por $e^{2\pi i/a_j}$. Além disso

$$H_n(\Omega_{a_1} * \dots * \Omega_{a_{n+1}}) = \tilde{H}_0(\Omega_{a_1}) \otimes \dots \otimes \tilde{H}_0(\Omega_{a_{n+1}}) \quad (\text{ver exercício abaixo}).$$

Logo basta estudar a aplicação induzida em cada $\tilde{H}_0(\Omega_{a_j})$.

$H_0(\Omega_{a_j})$ é o \mathbb{C} espaço vetorial gerado pelas raízes

$$e_k = e^{2\pi i(k-1)/a_j} \quad k = 1, \dots, a_j \quad \text{e a transformação } T_j \text{ induzida}$$

zida pelo produto nos dá $T_j(e_1) = e_2, T_j(e_2) = e_3, \dots, T_j(e_j) = e_1$.

Portanto $(T_j)^j = \text{Identidade}$ e $X^{a_j} - 1$ é o polinômio característico de T_j .

$\tilde{H}_0(\Omega_{a_j})$ é o núcleo da aplicação $e_j \rightarrow e = H_0$ (ponto)

ou seja $\tilde{H}_0(\Omega_{a_j}) = \{v = \sum_{k=1}^{a_j} \lambda_k e_k / \sum_{k=1}^{a_j} \lambda_k = 0\}$ $\tilde{H}_0(\Omega_{a_j})$ é

T_j -invariante e $\dim_{\mathbb{C}} \tilde{H}_0(\Omega_{a_j}) = a_j - 1$.

Além disso o subespaço correspondente ao autovalor 1

é gerado por: $\sum_{k=1}^{a_j} e_k$ portanto $H_0(\Omega_{a_j}) = \tilde{H}_0(\Omega_{a_j}) \oplus \mathbb{C}(\sum_{k=1}^{a_j} e_k)$

donde os autovalores de T_j restrito a $\tilde{H}_0(\Omega_{a_j})$ são as raízes a_j -ésimas da unidade diferentes de 1.

Concluimos assim, usando propriedades do produto tensorial que o polinômio característico da monodromia é igual a

$\prod_{1 \neq w_j \in \Omega_{a_j}} (x - w_1 \dots w_{n+1})$. Obtivemos também que

$$\dim_{\mathbb{C}} H_n(F_\theta) = \prod_{j=1}^{n+1} (a_j - 1).$$

Por exemplo: $f(z_1, z_2) = z_1^2 + z_2^3$ então o polinômio característico da monodromia é igual a $(x+w)(x+w^2) = x^2 + (w+w^2)x + 1$ onde $w = e^{2\pi i/3}$. Isto é $x^2 - x + 1$.

Exercício: Vejamos como se pode calcular $H_n(\Omega_{a_1} * \dots * \Omega_{a_{n+1}})$.

(Consulte J. Milnor, Construction of Universal Bundles II, Lemma 2.1, Annals of Math. vol. 63 # 3 (1956) pg. 430-436)

Sejam $A = \Omega_{a_1}$ e $B = \Omega_{a_2} * \dots * \Omega_{a_{n+1}}$ queremos calcular $\tilde{H}_n(A*B)$.

Se $\bar{A} = (ta, (1-t)b)$ $\frac{1}{2} \leq t \leq 1$ e $\bar{B} = (ta, (1-t)b)$ $0 \leq t \leq \frac{1}{2}$ então a tripla $(A*B, \bar{A}, \bar{B})$ é exata. A sequência de Mayer-Vietoris fica:

$$\dots \rightarrow \tilde{H}_n(A*B) \rightarrow \tilde{H}_{n-1}(\bar{A} \cap \bar{B}) \rightarrow \tilde{H}_{n-1}(\bar{A}) \oplus \tilde{H}_{n-1}(\bar{B}) \rightarrow \tilde{H}_{n-1}(A*B) \rightarrow \dots$$

Mas $\bar{A} \cap \bar{B} = A \times B$, A é retrato por deformação de \bar{A} , B é retrato por deformação de \bar{B} e as inclusões $A \hookrightarrow A*B$ e $B \hookrightarrow A*B$ são homotópicas à constante. Portanto o homomorfismo $\tilde{H}_{n-1}(\bar{A}) \oplus \tilde{H}_{n-1}(\bar{B}) \rightarrow \tilde{H}_{n-1}(A*B)$ é trivial, de modo que a sequência se escreve:

$$0 \rightarrow \tilde{H}_n(A*B) \rightarrow \tilde{H}_{n-1}(A \times B) \xrightarrow{\psi^1} \tilde{H}_{n-1}(A) \oplus \tilde{H}_{n-1}(B) \rightarrow 0 \dots$$

Pela Fórmula de Künneth

$$\tilde{H}_{n-1}(A \times B) \simeq \bigoplus_{p=0}^{n-1} H_p(A) \otimes H_{n-1-p}(B) \quad (\text{não há torção}),$$

e como $A = \Omega_{a_1}$ então $\tilde{H}_{n-1}(A \times B) = H_0(A) \otimes \tilde{H}_{n-1}(B)$.

Calculando explicitamente o homomorfismo ψ obtemos

$$\tilde{H}_n(A*B) = \text{Ker } \psi^1 \simeq \tilde{H}_0(A) \otimes \tilde{H}_{n-1}(B)$$

Por indução concluímos que $\tilde{H}_h(\Omega_{a_1} * \dots * \Omega_{a_{n+1}}) \simeq \tilde{H}_0(\Omega_{a_1}) \otimes \dots \otimes \tilde{H}_0(\Omega_{a_{n+1}})$

VI.i) O número de Milnor

Tendo em vista o Teorema IV.1 iremos descrever métodos para calcular o número de Milnor e a monodromia.

Veremos que o número de Milnor pode ser calculado de várias maneiras e que este invariante topológico está associado à ideia de multiplicidade. Iremos estabelecer a relação entre a multiplicidade topológica e multiplicidade algébrica.

[Milnor(1)] e [Orlik] são as principais referências para esta parte.

Multiplicidade Gradiente:

A noção mais natural de multiplicidade de uma aplicação holomorfa $g: U \subset \mathbb{C}^m \rightarrow \mathbb{C}^m$, U aberto em \mathbb{C}^m , consiste em contar o número de elementos de uma fibra $g^{-1}(a)$. Obviamente este número depende do ponto a , entretanto veremos a seguir que a cardinalidade de $g^{-1}(a)$ é constante se tomarmos a em um subconjunto aberto e denso. É interessante observar como um [Milnor (2)] ou [Hirsch] que a noção de multiplicidade está relacionada com o conceito de grau de uma aplicação. E é por aí que começamos.

Seja $f: (\mathbb{C}^{n+1}, 0) \rightarrow (\mathbb{C}, 0)$ um polinômio com ponto crítico isolado em 0. Se S_ϵ é uma esfera centrada em 0 de modo que 0 é o único ponto crítico na bola B_ϵ podemos definir a

aplicação $\frac{\partial f}{|\partial f|}: S_\epsilon^{2n+1} \rightarrow S^1$ por $\frac{\partial f}{|\partial f|}(z) = \frac{\partial f(z)}{\|\partial f(z)\|}$ onde

$\partial f = \left(\frac{\partial f}{\partial z_1}, \dots, \frac{\partial f}{\partial z_{n+1}} \right)$ e (z_1, \dots, z_{n+1}) são coordenadas usuais de \mathbb{C}^{n+1} que deste modo possui uma orientação natural. Se S_ϵ está orientada como bordo de B_ϵ de modo que $TS_\epsilon + u$ nos dá uma referencial positivo em \mathbb{C}^{n+1} definimos a multiplicidade gradiente de f em 0 por

$$u_g(f) = \text{grau} \frac{\partial f}{|\partial f|}.$$

Lembremos que se $g: M \rightarrow N$ é uma aplicação contínua entre variedades fechadas orientadas de mesma dimensão e $[M]$ e $[N]$ são as respectivas classes fundamentais então $\text{grau } g$ é obtido pela equação $g_*([M]) = \text{grau } g [N]$. Observe que no nosso caso

$\text{grau} \frac{\partial f}{|\partial f|}$ pode ser calculado como em [Milnor (2)]. A propriedade básica do grau que necessitaremos é dada pela seguinte:

Proposição IV.1 [Milnor (2)]

Seja M^{n+1} uma variedade orientada com bordo de modo que ∂M está orientada como bordo de M .

Se $g: \partial M \rightarrow N^m$ se estende a uma aplicação $G: M \rightarrow N^m$ então $\text{grau } g = 0$.

Segue então que se g e h são aplicações homotópicas então $\text{grau } g = \text{grau } h$.

Esta proposição é usada na demonstração do próximo lema que em [Milnor (1)] recebe o nome de Princípio de Rouché.

Lema IV.1: Sejam $r, L: \mathbb{C}^m \rightarrow \mathbb{C}^m$ duas aplicações holomorfas em uma vizinhança de z_0 tais que $\|r(z)\| < \|L(z)\|$ para todo $z \in S_\epsilon$ esfera de centro z_0 e raio ϵ .

Então $\text{grau} \left(\frac{L+r}{\|L+r\|} \right) = \text{grau} \left(\frac{L}{\|L\|} \right)$ (ambas restritas à S_ϵ).

Demonstração: Basta obter uma homotopia entre estas aplicações.

Para isto, é suficiente notar que $\|r(z)\| < \|L(z)\|$ implica que $\lambda r(z) + L(z) \neq 0$ para todo $z \in S_\epsilon$ e $0 \leq \lambda \leq 1$. Portanto

$H_\lambda(z) = \frac{L(z) + \lambda r(z)}{\|L(z) + \lambda r(z)\|}$ é uma homotopia entre $\frac{L}{\|L\|}$ e $\frac{L+r}{\|L+r\|}$, como queríamos. ■

Como consequência deste lema temos

Proposição IV.2: Se 0 é um ponto crítico não degenerado de f (i.é. a matriz $(\frac{\partial^2 f}{\partial z_i \partial z_j})(0)$ é não singular) então $\mu_g(f) = 1$.

Demonstração: Escrevendo $\partial f(z) = L \cdot z + r(z)$ onde $L = \frac{\partial^2 f}{\partial z_i \partial z_j}(0)$ é não singular e $\lim_{|z| \rightarrow 0} \frac{r(z)}{|z|} = 0$ temos então que se ϵ for suficientemente pequeno então $|r(z)| < |L(z)|$ para todo $z \in S_\epsilon$.

Pelo "Princípio de Rouché" acima obtemos

$$\text{grau} \frac{\partial f}{\|\partial f\|} \Big|_{S_\epsilon} = \text{grau} \frac{L+r}{\|L+r\|} \Big|_{S_\epsilon} = \text{grau} \frac{L}{\|L\|} \Big|_{S_\epsilon}.$$

Como $GL(n+1, \mathbb{C})$ é conexo por caminhos fazemos uma homotopia L_t entre L e a identidade de modo que $\text{grau} \frac{L}{\|L\|} = \text{grau} \frac{Id}{\mathbb{C}} = 1$. ■

Evidentemente tudo o que foi feito até agora vale para um ponto crítico isolado qualquer.

A seguir estabelecemos a relação entre μ_g e a multiplicidade.

Lema IV.2: Seja D uma região compacta em C^{n+1} com bordo suave. Se $\partial f^{-1}(0) \cap D$ e $\partial f^{-1}(0) \cap \partial D = \emptyset$ então o número de zeros de ∂f em D (contados com multiplicidade) é igual a μ_g . Isto é se $\partial f^{-1}(0) \cap D = \{p_1, \dots, p_r\}$ e $\mu_g^i(f)$ é o grau de $\frac{\partial f}{\|\partial f\|}$ restrita a uma pequena esfera em torno de p_i então

$$\mu_g(f) = \sum_{i=1}^r \mu_g^i(f).$$

Demonstração: A demonstração deste lema segue argumentos conhecidos na teoria do grau e baseia-se na Proposição IV.2 (veja [Guillemin-Pollack]. Para $i=1, \dots, r$ seja D_i um disco fechado centrado em p_i contido em D de modo que $D_i \cap D_j = \emptyset$, para $i \neq j$.

$$\text{Se } \tilde{D} = D - \bigcup_{i=1}^r \overset{\circ}{D}_i \text{ então } \partial \tilde{D} = \partial D \cup \left(\bigcup_{i=1}^r \partial D_i \right).$$

Certamente $\frac{\partial f}{\|\partial f\|}$ é contínua em \tilde{D} , portanto pela Proposição IV.1. grau $\frac{\partial f}{\|\partial f\|} \Big|_{\partial \tilde{D}} = 0$. Mas $\partial \tilde{D} = \partial D \cup \bigcup_{i=1}^r (-\partial D_i)$, $-\partial D_i$ com orientação invertida. Logo grau $\frac{\partial f}{\|\partial f\|} \Big|_{\partial D} = \sum_{i=1}^r \text{grau } \frac{\partial f}{\|\partial f\|} \Big|_{\partial D_i}$



Proposição IV.3: Se $B_\epsilon \subset \mathbb{C}^{n+1}$ é uma bola fechada centrada em 0 que não contém outros zeros de ∂f então para quase todo ponto $a \in \mathbb{C}^{n+1}$ em uma vizinhança de 0 a equação $\partial f(z) - a = 0$ possui exatamente μ_g soluções em B_ϵ .

Demonstração: Pelo Teorema de Sard o complementar de $\{a \in \mathbb{C}^m / a \text{ é valor regular de } \partial f\}$ possui medida de Lebesgue nula. Mas se a é valor regular de ∂f então as soluções de $\partial f(z) - a = 0$ são pontos isolados e portanto formam um subconjunto finito de B_ϵ . Além disso pela Proposição IV.1 cada solução tem multiplicidade 1.

Tomando-se os valores regulares a de ∂f que satisfazem $\|a\| < \|\partial f(z)\|$ para todo $z \in S_\epsilon$ então o número de soluções de $\partial f(z) - a$ em B_ϵ é igual ao grau de $\frac{\partial f - a}{\|\partial f - a\|}$ restrita a $S_\epsilon = \partial B_\epsilon$.

$$\begin{aligned} & \text{Pelo "Princípio de Rouché" obtemos } \text{grau } \frac{\partial f - a}{\|\partial f - a\|} \Big|_{S_\epsilon} = \\ & = \text{grau } \frac{\partial f}{\|\partial f\|} \Big|_{S_\epsilon} = \mu_g. \end{aligned}$$

Estabelecemos assim que

$$\mu_g = \# \{ \partial f^{-1}(a) \cap D_\epsilon / a \text{ é valor regular de } \partial f \text{ próximo de } 0 \}.$$

Esta proposição nos diz que com uma pequena perturbação linear $f + \sum_{j=1}^{n+1} a_j z_j$ de f obtemos μ_g pontos críticos não degenerados em uma vizinhança de 0.

Este fato e o próximo Teorema nos ajudarão a descrever mais adiante uma base para $H_n(F_\theta, \mathbb{Z})$.

Teorema IV.1 [Milnor (1)] $\cup_g = \text{posto } H_n(F_\theta, \mathbb{Z})$.

Antes de demonstrarmos este Teorema precisamos de uma fórmula que relacione o grau de uma aplicação $v: S^k \rightarrow S^k$ com a topologia de uma subvariedade de S^k .

O número de Lefschetz [Spanier] de uma aplicação $g: N \rightarrow N$ é definido por $\Lambda(g) = \sum (-1)^j \text{traço } (g_*: H_j(N) \rightarrow H_j(N))$. De acordo com [Hopf] (ver também [Griffiths-Harris] pg. 421) no caso em que N é uma subvariedade C^∞ orientada $\Lambda(g)$ é igual ao índice de interseção entre $\Delta(N)$ e $\text{graf}(g)$ onde $\text{graf}(g) = \{(x,y) \in N \times N / y = g(x)\}$ e $\Delta(N) = \{(x,y) \in N \times N / y = x\}$. Observe que $\text{graf}(g) \cap \Delta(N) = \text{Fix}(g) = \{x \in N / g(x) = x\}$ e que podemos supor (fazendo uma homotopia) que $\text{graf}(g)$ é transversal a $\Delta(N)$. Isto significa que $dg(x): T_x N \rightarrow T_x(N)$ é não singular, de maneira que nestas circunstâncias podemos definir o índice $i_g(x)$ de g em x como

$$i_g(x) = \begin{cases} +1 & dg(x) \text{ preserva orientação de } T_x N \\ -1 & dg(x) \text{ inverte orientação de } T_x N. \end{cases}$$

Isto é $i_g(x)$ é o número de interseção de $\Delta(N)$ e $\text{graf}(g)$ no ponto (x,x) . Portanto temos

$$\sum_{x \in \text{Fix}(g)} i_g(x) = \Delta(N) \cdot \text{graf}(g) = \Lambda(g) = \sum_j (-1)^j \text{traço } (g_*: H_j(N) \rightarrow H_j(N)).$$

A relação que buscamos está expressa no

Lema IV.3: Sejam $v: S^k \rightarrow S^k$ uma aplicação C^∞ e $M \subset S^k$ uma

região compacta de S^k com bordo suave. Suponhamos que

- 1) $\text{Fix}(v) \subset M$
- 2) $v(x) \neq -x \quad \forall x \in M$
- 3) $\langle v(x), n(x) \rangle > 0$ para todo $x \in \partial M$ onde $n(x) \in T_x S^k$ é um vetor normal a ∂M que aponta para o interior de M (\langle, \rangle produto euclidiano de \mathbb{R}^{k+1}).

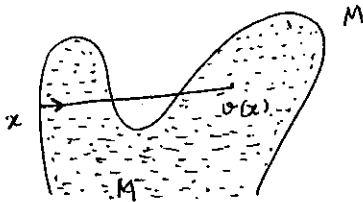
Então $\chi(M) = 1 + (-1)^k \text{ grau}(v)$.

Demonstração: Para $v: S^k \rightarrow S^k$ temos:

$$\Lambda(v) = \sum_j (-1)^j \text{ traço } (v_*: H_j(S^k) \rightarrow H_j(S^k)) = 1 + (-1)^k \text{ grau}(v).$$

Podemos supor que v tem pontos fixos isolados.

Como $v(x) \neq -x$ para todo $x \in M$, podemos definir $v_t: M \rightarrow S^k$ por $v_t(x) = \frac{(1-t)x + tv(x)}{\|(1-t)x + tv(x)\|}$. A hipótese 3) nos garante que para t suficientemente pequeno $v_t(M) \subset M$ (verifique). Logo, pela invariância do número de Lefschetz temos para $0 \leq t \leq \delta$ $\Lambda(v_t) = \Lambda(v_0) = \Lambda(I_M) = \chi(M)$.



Novamente usando $v(x) \neq -x$ em M vemos que $\text{Fix}(v_t) = \text{Fix}(v)$ para todo t . Além disso $i_x(v_t) = i_x(v)$ se

$x \in \text{Fix}(v)$, portanto pela Fórmula de Lefschetz

$$1 + (-1)^k \text{ grau}(v) = \Lambda(v) = \sum_{x \in \text{Fix}(v)} i_x(v) = \sum_{x \in \text{Fix}(v_t)} i_x(v_t) = \Lambda(v_t) = \chi(M).$$

Passemos à demonstração do Teorema IV.1:

Por definição $\mu_g = \text{grau} \frac{\partial f}{|\partial f|}$ onde $\frac{\partial f}{|\partial f|}: S_\epsilon \rightarrow S^{2n-1}$

$$e \quad \frac{\partial f}{|\partial f|}(z) = \left(\frac{\frac{\partial f}{\partial z_1}(z), \dots, \frac{\partial f}{\partial z_{n+1}}(z)}{\|\text{grad} f(z)\|} \right).$$

Se $\hat{f}(z_1, \dots, z_{n+1}) = (\bar{z}_1, \dots, \bar{z}_{n+1})$ então

$$\frac{\partial f}{|\partial f|} = \hat{f} \circ \frac{\text{grad } f}{\|\text{grad } f\|} \quad e$$

$$\mu_g = (\text{grau } \hat{f})(\text{grau} \frac{\text{grad } f}{\|\text{grad } f\|}) = (-1)^{n+1} \text{grau} \left(\frac{\text{grad } f}{\|\text{grad } f\|} \right).$$

Seja $v: S_\epsilon \rightarrow S_\epsilon$ a aplicação C^∞ definida por

$$v(z) = \epsilon \frac{\text{grad } f(z)}{\|\text{grad } f(z)\|}. \quad \text{Verifiquemos que } M = \{z \in S_\epsilon / \text{Re} f(z) \geq 0\}$$

satisfaz às hipóteses do Lema IV.3. Podemos escrever

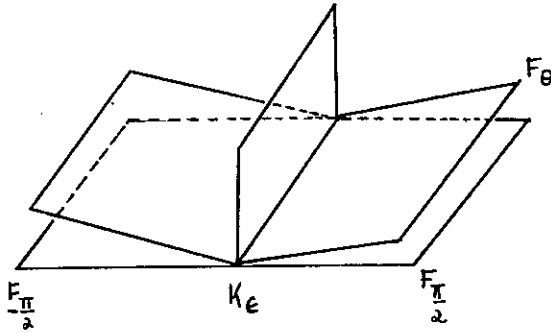
$$M = \bigcup_{-\pi/2 \leq \theta \leq \pi/2} F_\theta \cup K_\epsilon \quad \text{de maneira que } \partial M = F_{-\pi/2} \cup K_\epsilon \cup F_{\pi/2} \quad \acute{e}$$

C^∞ , (veja observação na página 32). Além disso $\varphi_\epsilon: \text{Int}(M) \rightarrow C$

onde C é o semi-círculo $C = \{e^{i\theta} / -\frac{\pi}{2} < \theta < \frac{\pi}{2}\}$ é uma fibra-

ção cuja fibra típica é F_θ , portanto $\chi(M) = \chi(F_\theta) =$

$$= \sum_j (-1)^j \text{posto } H_j(F_\theta) = 1 + (-1)^n \text{posto } H_n(F_\theta).$$



Hipótese 1: $z \in \text{Fix}(v) \Leftrightarrow v(z) = z \Leftrightarrow \text{grad } f(z) = \lambda z$ com $\lambda > 0$.

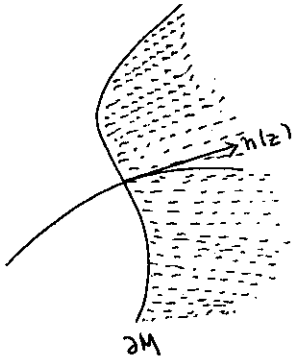
Como vimos anteriormente (Proposição II.1) $f^{-1}(0)$ é transversal a S_e , portanto se $z \in K_e$ então z e $\text{grad } f(z)$ são linearmente independentes, isto é $\text{grad } f(z) = \lambda z$ implica $f(z) \neq 0$. Logo, $\text{grad } \text{Log } f(z) = \frac{\lambda z}{f(z)}$ e pela demonstração do Teorema da Fibração isto implica que $\text{Re } \frac{\lambda}{f(z)} > 0$. (Veja Lema II.1). E como $\lambda > 0$ temos $\text{Re } f(z) > 0$ ou seja $z \in \text{Int}(M)$.

Hipótese 2: É verificada analogamente.

Se $v(z) = -z$ então $\text{grad } f(z) = cz$ com $c < 0$. Isto significa que $\text{grad } \text{Log } f(z) = \frac{c}{f(z)} z$ com $\text{Re } \frac{c}{f(z)} > 0$ ou seja $\text{Re } f(z) < 0$ e $z \notin M$.

Hipótese 3: Seja $p(t)$ uma curva em S_e passando pelo ponto $z \in \partial M$ e transversal a ∂M de modo que $p(0) = z$ e

$$p'(0) = n(z). \text{ Então } \left. \frac{d}{dt} \operatorname{Re} f(p(t)) \right|_{t=0} > 0.$$



Derivando obtemos

$$\left. \frac{d}{dt} f \circ p(t) \right|_{t=0} = \langle p'(t), \operatorname{grad} f(p(t)) \rangle \Big|_{t=0} = \langle n(z), \operatorname{grad} f(z) \rangle$$

portanto $\operatorname{Re} \langle n(z), \operatorname{grad} f(z) \rangle > 0$. Concluimos assim pelo Lema IV.3 que

$$\chi(M) = \chi(F_\theta) = 1 + (-1)^n \operatorname{posto}(F_\theta) = 1 + (-1)^{2n+1} \operatorname{grau}(v) = 1 + (-1)^{3n+2} \mu_g$$

onde $\operatorname{posto}(F_\theta) = \mu_g$.

■

Multiplicidade Algébrica:

A Proposição IV.3 mostra que μ_g é a multiplicidade da equação $\partial f(z) - a = 0$ para a genérico próximo de 0 em um pequeno disco em torno de 0. Descreveremos agora um método algébrico para calcular este número.

Definição IV.3: Germes

Seja U e V vizinhanças abertas de um ponto z_0 em

\mathbb{C}^{n+1} . Dizemos que duas funções holomorfas $f: U \rightarrow \mathbb{C}$ e $g: V \rightarrow \mathbb{C}$ são equivalentes em z_0 se existe uma vizinhança $W \subset U \cap V$ de z_0 tal que $f|_W = g|_W$. Um germe em z_0 é a classe de equivalência de uma função. Denotamos por \mathcal{O}_{z_0} o conjunto de germes em z_0 de funções holomorfas. Para simplificar a notação usaremos \mathcal{O}_n ao invés de \mathcal{O}_0 .

\mathcal{O}_{z_0} é um anel local cujo único ideal maximal \mathfrak{m}_{z_0} é formado pelos germes de funções que se anulam em z_0 (prove). É fácil ver também que \mathcal{O}_{z_0} é isomorfo a $\mathbb{C}\{z-z_0\}$ = anel das séries de potências convergentes em z_0 . \mathcal{O}_{z_0} é Noetheriano e um domínio de fatorização única (veja exercício IV.4).

Se $f: U \rightarrow \mathbb{C}$ é uma função holomorfa definida em uma vizinhança aberta U de 0 em \mathbb{C}^{n+1} denotamos por Jf o ideal de \mathcal{O}_{n+1} gerado pelos germes em 0 das derivadas parciais $\frac{\partial f}{\partial z_j}$ para $j = 1, \dots, n+1$.

Proposição IV.4: Se 0 é ponto crítico isolado de $f: U \rightarrow \mathbb{C}$, $0 \in U \subset \mathbb{C}^{n+1}$ então $\mu_a = \dim_{\mathbb{C}} \mathcal{O}_{n+1}/Jf < \infty$.

Demonstração: Consideremos a subvariedade analítica $V(Jf)$ em \mathbb{C}^{n+1} definida por $\{z \in U / \frac{\partial f}{\partial z_1}(z) = \dots = \frac{\partial f}{\partial z_{n+1}}(z) = 0\}$. Por hipótese existe uma vizinhança (que podemos supor a própria U) tal que $V(Jf) = \{0\}$. Portanto se $I(V(Jf)) = \{h \in \mathcal{O}_{n+1} / \text{algum representante de } h \text{ se anula em } V(Jf)\}$ então $I(V(Jf)) = \mathfrak{m}$.

Mas pelo Teorema de zeros de Hilbert (Nullstellensatz) (veja [Gunning e Rossi] página 90) $I(V(Jf)) = \text{Rad } Jf = \{h \in \mathcal{O}_{n+1} / h^k \in Jf \text{ para algum } k \in \mathbb{N}\}$ de maneira que se $\mathfrak{m}^r = \mathfrak{m} \cdot \mathfrak{m} \cdot \dots \cdot \mathfrak{m}$ r -vezes então $Jf \supseteq \mathfrak{m}^r$ para algum r inteiro positivo (isto é Jf é \mathfrak{m} -primário).

$$\text{Donde } \dim_{\mathbb{C}} \mathcal{O}_{n+1}/Jf \leq \dim_{\mathbb{C}} \mathcal{O}_{n+1}/\mathfrak{m}^r < \infty$$

Exercícios: IV.1) Prove a recíproca da Proposição IV.3: Se $\dim_{\mathbb{C}} \mathcal{O}_{n+1}/Jf < \infty$ então 0 é ponto crítico isolado de f ou ponto regular (= não crítico).

IV.2) Verifique que $\dim_{\mathbb{C}} \mathcal{O}_{n+1}/\mathfrak{m}^r < \infty$ mostrando inicialmente que $\mathfrak{m}^r = \{g \in \mathcal{O}_{n+1} / g(0) = 0 \text{ e } \frac{|\alpha|}{\frac{\partial g}{\partial z_1} \dots \frac{\partial g}{\partial z_{n+1}}}(0) = 0 \text{ para } |\alpha| = \alpha_1 + \dots + \alpha_{n+1} \leq r-1\}$.

IV.3) Dê exemplo de um polinômio $f: \mathbb{R}^n \rightarrow \mathbb{R}$ tal que $f(0) = 0$ e 0 seja ponto crítico isolado de f mas $\dim_{\mathbb{R}} \mathcal{E}_{n+1}/Jf = \infty$ onde $\mathcal{E}_{n+1} = \{\text{germes em } 0 \text{ de função } C^\infty \text{ de } \mathbb{R}^n \text{ em } \mathbb{R}\}$.

IV.4) Prove que \mathcal{O}_n é Noetheriano, isto é, todo ideal de \mathcal{O}_n é finitamente gerado.

Solução: Provamos por indução em n : para $n=1$ é fácil.

Sejam $I \neq \{0\}$ um ideal de \mathcal{O}_n e $f \in I$. Usando o Teorema de divisão de Weierstrass podemos supor que $f \in \mathcal{O}_n[z_{n+1}]$

é um polinômio de Weierstrass. Se $I' = I \cap \mathbb{C}[z_{n+1}]$ então pela hipótese de indução \mathbb{C}_n é Noetheriano e pelo Teorema de base de Hilbert I' é finitamente gerado. Se $\{f_1, \dots, f_k\}$ é um conjunto de geradores de I' e $g \in I$ então dividindo g por f (via Weierstrass) obtemos $g = gf + r$ com $r \in \mathbb{C}_n[z_{n+1}]$. Logo $r \in I'$ e I é gerado por $\{f, f_1, \dots, f_k\}$.

Definição IV.4: $\mu_a = \dim_{\mathbb{C}} \mathbb{C}_{n+1}/Jf$ é a multiplicidade algébrica de f em 0 .

Se $\mu_a < \infty$ dizemos que o germe $\partial f: (\mathbb{C}^{n+1}, 0) \rightarrow (\mathbb{C}^{n+1}, 0)$ associado é uma aplicação analítica finita (vide [Gunning]).

A importância de finitude de μ_a está expressa pela seguinte proposição. Ela nos diz que em se tratando de funções holomorfas com pontos críticos isolados não há perda de generalidade em considerar localmente a função dada por um polinômio.

Proposição IV.4: Se $f: U \rightarrow \mathbb{C}$, U vizinhança de 0 em \mathbb{C}^{n+1} é uma função holomorfa tal que $\mu_a < \infty$ então existe um germe de difeomorfismo biholomorfo h tal que $f \circ h$ pode ser representado por um polinômio.

Demonstração: A prova desta proposição segue um argumento que já se tornou clássico na teoria de singularidades de aplicações. [ver Sotomayor pg. 230]. Provamos que existe um inteiro positivo k e uma mudança de coordenadas biholomorfa em uma vizinhança de 0 tal que $f \circ h$ é igual ao polinômio de Taylor de f em

0 de grau k (k -jato de f em 0). Dizemos que dois germes f e g pertencentes a \mathcal{O}_{n+1} definem o mesmo k -jato em 0 (notação $j^k(f(0)) = j^k(g(0))$) se $f-g \in \mathfrak{m}^{k+1}$ isto é se a diferença $f - g$ é um germe que se anula em 0 juntamente com todas as suas derivadas parciais até ordem $k + 1$.

Vimos pela Proposição IV.3 que $u_a < \infty$ é equivalente a $Jf \ni \mathfrak{m}^r$ para algum r . Seja $g = T_0^{r+1}f =$ polinômio de Taylor de f em 0 , provaremos que $f \circ h = g$ para h germe em 0 de difeomorfismo biholomorfo. Observe que $g-f \in \mathfrak{m}^{r+2}$.

Se $f_t = (1-t)f + tg$ é uma homotopia entre f e g então para cada $t_0 \in [0,1]$ iremos construir uma família h_t de germes de difeomorfismos biholomorfos para $|t-t_0|$ pequeno tal que

$$f_t \circ h_t = f_{t_0}$$

Seja $F_s = f_{t_0+s}$, estamos buscando resolver a equação $F_s \circ h_s = F_0$ para $|s| < \epsilon$.

Derivando em relação ao parametro s obtemos a equação:

$$g(h_s(z)) - f(h_s(z)) + dF_s(h_s(z)) \cdot \frac{\partial h_s}{\partial s}(z) = 0.$$

A existência de $h_s(z)$ estará garantida (via integração de campos holomorfos) se existir um campo holomorfo $\xi(s,z)$ tal que

$$\begin{cases} \frac{\partial F}{\partial s}(z) + dF_s(z) \cdot \xi(s,z) = 0 \\ \xi(s,0) = 0 \end{cases}$$

pois desta forma se $h(s, z)$ é solução da equação diferencial

$\frac{dz}{ds} = \xi(s, z)$ em \mathbb{C}^{n+1} com condição inicial $h(0, z) = z$ então $F_s(h_s(z)) = f_{t_0+s}(h_s(z)) = f_{t_0}(z)$ [ver Coddington-Levinson].

Para $|s|$ pequeno h_s será um germe de difeomorfismo biholomorfo. A equação acima pode ser escrita na forma

$\frac{\partial F_s}{\partial s}(z) \in \langle \frac{\partial F_s}{\partial z_1}, \dots, \frac{\partial F_s}{\partial z_{n+1}} \rangle \mathfrak{m}_{n+2}^0$ onde \mathfrak{m}_{n+2}^0 é o anel dos germes em 0 de funções holomorfas de $\mathbb{C} \times \mathbb{C}^{n+1}$ em \mathbb{C} e \mathfrak{N} é o ideal dos germes que se anulam em $\mathbb{C} \times \{0\}$ e $\langle \frac{\partial F_s}{\partial z_1}, \dots, \frac{\partial F_s}{\partial z_{n+1}} \rangle \mathfrak{m}_{n+1}^0$ é o ideal gerado pelas derivadas $\{\frac{\partial F_s}{\partial z_j}\}$ com coeficientes em \mathfrak{N} .

Por hipótese $g-f \in \mathfrak{m}_{n+1}^{r+2} \subset \mathfrak{m}_{n+1}^2 \mathfrak{J}f$ e $\frac{\partial F_s}{\partial z_j} - \frac{\partial f}{\partial z_j} = (t_0+s)(\frac{\partial g}{\partial z_j} - \frac{\partial f}{\partial z_j}) \in \mathfrak{m}_{n+1}^{r+1}$ portanto $\frac{\partial F_s}{\partial s} = g-f \in \mathfrak{m}_{n+1}^{r+2} \subset$

$\mathfrak{m}_{n+1}^2 \mathfrak{J}f \subset \langle \frac{\partial F_s}{\partial z_1}, \dots, \frac{\partial F_s}{\partial z_{n+1}} \rangle \mathfrak{m}_{n+1}^2 + \mathfrak{m}_{n+1}^{r+3} \mathfrak{m}_{n+2}^0$

$\mathfrak{m}_{n+1}^{r+2} \mathfrak{m}_{n+2}^0 \subset \langle \frac{\partial F_s}{\partial z_1}, \dots, \frac{\partial F_s}{\partial z_{n+1}} \rangle \mathfrak{m}_{n+1}^2 \mathfrak{m}_{n+2}^0 + \mathfrak{m}_{n+1}^{r+2} \mathfrak{m}_{n+2}^0$.

Usamos então o Lema de Nakayama: "Sejam R um anel comutativo com unidade, I um ideal de R , A e B R -módulos tais que

- 1) $x \in I \Rightarrow$ existe $(1+x)^{-1}$
- 2) A é finitamente gerado

Então $A \subset B+IA$ implica $A \subset B$. (Veja por exemplo Atyah-Macdonald: Int. to Commutative Algebra).

Fazendo $A = \mathfrak{m}_{n+1}^{r+2} \mathcal{O}_{n+2}$ $B = \langle \frac{\partial F}{\partial z_1}, \dots, \frac{\partial F}{\partial z_{n+1}} \rangle \mathfrak{m}_{n+1}^2 \mathcal{O}_{n+2}$ e
 $I = \mathfrak{m}$ pelo Lema de Nakagama temos $\mathfrak{m}_{n+1}^{r+2} \mathcal{O}_{n+2} \subset \langle \frac{\partial F}{\partial z_1}, \dots, \frac{\partial F}{\partial z_{n+1}} \rangle \mathfrak{m}_{n+1}^2 \mathcal{O}_{n+2}$

A multiplicidade algébrica está relacionada com a multiplicidade gradiente pelo seguinte

Teorema IV.2 (Palamodov) $\mu_a = \mu_g$.

Há varias maneiras de se provar este resultado. Daremos uma idéia da prova seguindo [Orlik]. Para outras provas (mais diretas) o leitor pode consultar [Sebastiani (1)] ou [Gunning (1)].

Denotemos por \mathcal{O}_z = anel dos germes em 0 das funções holomorfas (onde $z = (z_1, \dots, z_{n+1})$ indicam as coordenadas em \mathbb{C}^{n+1}) e \mathcal{O}_y o mesmo anel com coordenadas (y_1, \dots, y_{n+1}) no contradomínio. Seja, como antes $\partial f = (\frac{\partial f}{\partial z_1}, \dots, \frac{\partial f}{\partial z_{n+1}}): (\mathbb{C}^{n+1}, 0) \rightarrow (\mathbb{C}^{n+1}, 0)$

observe que o homomorfismo $(\partial f)^*: \mathcal{O}_y \rightarrow \mathcal{O}_z$ definido por $(\partial f)^*(\varphi) = \varphi \circ (\partial f)$ torna \mathcal{O}_z um \mathcal{O}_y -módulo.

Lema IV.1: \mathcal{O}_z é um \mathcal{O}_y -módulo gerado por μ_a elementos.

Demonstração: Isto segue imediatamente do Teorema de Preparação de Malgrange [ver Sotomayor] e do Lema de Nakayama.

Daremos uma prova de acordo com [Gunning (1)]:

Considere

$V_1 = \{(y_1, \dots, y_{n+1}, z_1, \dots, z_{n+1}) \in \mathbb{C}^{n+1} \times \mathbb{C}^{n+1} / y_j = \frac{\partial f}{\partial z_j}(z_1, \dots, z_{n+1})\} =$
 = gráfico de ∂f . Então V_1 é uma subvariedade analítica difeomorfa (via o mergulho $z \rightarrow (\partial f(z), z)$) a \mathbb{C}^{n+1} e
 $V_1 \cap \{y_1 = \dots = y_{n+1} = 0\} = \{0\}$.

Desta forma ∂f pode ser visto como a restrição da projeção $\pi: \mathbb{C}^{n+1} \times \mathbb{C}^{n+1} \rightarrow \mathbb{C}^{n+1}$ $\pi(y, z) = y$ a V_1 .

Se $G = \text{id}(V_1) = \text{ideal de } \mathcal{O}_{(y, z)}$ gerado por $\{y_j - \frac{\partial f}{\partial z_j}(z_1, \dots, z_{n+1})\}$ $j = 1, \dots, n+1$. (Verifique que G é um ideal primo) então

$\mathcal{O}_{y, z}/G \cong \mathcal{O}_z$ via o homomorfismo $h(g, z) \xrightarrow{\partial} h(\partial f(z), z)$ "restrição a V_1 ".

Seja g_{n+1} um polinômio de Weierstrass em z_{n+1} tal que $g_{n+1} \in G$ então $g_{n+1} = z_{n+1}^r + a_1 z_{n+1}^{r-1} + \dots + a_r$ onde a_j são funções holomorfas em $(y_1, \dots, y_{n+1}, z_1, \dots, z_n)$. Como $g_{n+1} \in G$ concluímos que $\tilde{z}_{n+1} = \text{classe de } z_j \text{ em } \mathcal{O}_{y, z}/G$ satisfaz uma equação algébrica com coeficientes em $\mathcal{O}_{y, \tilde{z}}/G$ onde $\tilde{z} = (z_1, \dots, z_n)$. Além disso pelo Teorema de Divisão de Weierstrass se $g \in \mathcal{O}_{y, z}$ então $g = q \cdot g_{n+1} + r$ onde $r \in \mathcal{O}_{y, \tilde{z}}[z_{n+1}]$, logo $g \equiv r \pmod{G}$ ou seja $\mathcal{O}_{y, z}/G \cong \mathcal{O}_{y, \tilde{z}}/G \oplus \mathcal{O}_{y, \tilde{z}}[\tilde{z}_{n+1}]$. Procedendo analogamente com os ideais $G \cap \mathcal{O}_{y, z}$ sucessivamente e usando o fato de que ∂f é finita obtemos

$$\mathbb{O}_{y,z}/\mathbb{G} \simeq \mathbb{O}_y/\mathbb{G} \cap \mathbb{O}_y[\tilde{z}_1, \dots, \tilde{z}_{n+1}] = \mathbb{O}_y[\tilde{z}_1, \dots, \tilde{z}_{n+1}].$$

Finalmente usando o isomorfismo $\mathbb{O}_{y,z}/\mathbb{G} \xrightarrow{\phi^*} \mathbb{O}_z$ acima obtemos $\mathbb{O}_z \simeq \phi^*(\mathbb{O}_y)[\tilde{z}_1, \dots, \tilde{z}_{n+1}] = (\partial f)^*(\mathbb{O}_y)[\tilde{z}_1, \dots, \tilde{z}_{n+1}]$. Isto é \mathbb{O}_z é uma extensão algébrica finita do subanel $(\partial f)^*(\mathbb{O}_y)$.

Portanto \mathbb{O}_z é um $(\partial f)^*(\mathbb{O}_y)$ -módulo finitamente gerado. Entretanto se g_1, \dots, g_{μ_a} são elementos de \mathbb{O}_z cuja imagem em $\mathbb{O}_z/\mathbb{J}f$ formam uma base deste espaço vetorial e se \mathbb{B} é o $(\partial f)^*(\mathbb{O}_y)$ -módulo gerado por g_1, \dots, g_{μ_a} então $\mathbb{O}_z = \mathbb{B} + \mathbb{J}f \cdot \mathbb{O}_z$ e pelo Lema de Nakayama (observe que $\mathbb{J}f = (\partial f)^*(\mathfrak{m}_y)$) obtemos $\mathbb{O}_z = \mathbb{B}$. ■

Usando o fato de que $\left\{ \frac{\partial f}{\partial z_1}, \dots, \frac{\partial f}{\partial z_{n+1}} \right\}$ é um sistema de parametros é possível obter-se que \mathbb{O}_z é um \mathbb{O}_y -módulo livre de posto μ_a . (Veja [Nagata])

Como \mathbb{G} é um ideal primo podemos formar o corpo quociente \tilde{K} de $\mathbb{O}_{y,z}/\mathbb{G}$ e do fato de que cada \tilde{z}_j é algébrico sobre \mathbb{O}_y obtemos que $\tilde{K} \cong K_y[\tilde{z}_1, \dots, \tilde{z}_{n+1}]$ onde K_y corpo dos germes em 0 de funções heromorfas. [verifique] Assim podemos escrever $K_z \cong (\partial f)^*(K_y)[\tilde{z}_1, \dots, \tilde{z}_{n+1}]$ e pelo Teorema do Elemento Primitivo existe uma combinação linear

$\xi = c_1 \tilde{z}_1 + \dots + c_{n+1} \tilde{z}_{n+1}$ tal que $K_z \cong (\partial f)^*(K_y)[\xi]$. Fazendo uma mudança de coordenadas podemos supor $\xi = z_1$ de modo que

$$K_Z \cong (\partial f)^*(K_Y)[z_1].$$

Seja p polinômio irreduzível com coeficientes em $(\partial f)^*(K_Y)$ tal que $p(z_1) = 0$. Sabemos que z_1 satisfaz uma equação polinomial com coeficientes em $(\partial f)^*(\mathbb{C}_Y)$ logo cada coeficiente de p também satisfaz uma tal equação.

Mas como $(\partial f)^*(\mathbb{C}_Y)$ é integralmente fechado (por ser domínio de fatorização única) isto implica que cada coeficiente de p pertence a $(\partial f)^*(\mathbb{C}_Y)$. Do fato de que \mathbb{C}_Z é um \mathbb{C}_Y -módulo livre segue que $[K_Z:K_Y] = \mu_a = \text{grau } p$ portanto existem funções A_0, \dots, A_{d-1} pertencentes a \mathbb{C}_Y tais que

$$z_1^{\mu_a} + \sum_{j=0}^{\mu_a-1} A_j \left(\frac{\partial f}{\partial z_1}, \dots, \frac{\partial f}{\partial z_{n+1}} \right) z_1^j = 0, \quad (*)$$

Observe que se y é um ponto próximo de 0 então z_1 separa os pontos de $\partial f^{-1}(y)$ pois se a e b são pontos distintos tais que $\partial f(a) = \partial f(b) = y$, como $a_j(a) = \sum \Gamma_{jk}(y) z_1^k(a)$ para $j = 2, \dots, n+1$ temos $z_1(a) \neq z_1(b)$.

Pela Proposição IV.3 para y suficientemente próximo de 0 , valor regular de ∂f a equação $\partial f(z) - y = 0$ possui exatamente μ_g soluções cada uma delas dando origem a uma solução distinta da equação polinomial $z_1^{\mu_a} + \sum_{j=0}^{\mu_a-1} A_j(y) z_1^j = 0$.

Donde $\mu_g \leq \mu_a$.

Por outro lado olhando para a subvariedade analítica de \mathbb{C}^{n+2} definida por $\{(y_1, \dots, y_{n+1}, z_1) / z_1^{\mu_a} + \sum_{j=0}^{\mu_a-1} A_j(y) z_1^j = 0\}$.

Vemos que se y é tal que existem μ_a -soluções distintas para a equação (i.e., y fora do conjunto de ramificação) então existem μ_a pontos distintos na pré-imagem de y por ∂f , isto porque fixados z_1 e y existe um único ponto $(z_1, z_2(z_1, y), \dots, z_{n+1}(z_1, y))$ tal que $\partial f(z_1, z_2(z_1, y), \dots, z_{n+1}(z_1, y)) = y$. Logo $\mu_a = \mu_g$ ■

Observe que nestas coordenadas pelo fato de que cada função z_j , $j = 2, \dots, n+1$ se escreve $z_j = \sum_{k=0}^{l_j} (\Gamma_{jk} \circ \partial f) z_1^k$ obtemos que a matriz $(\frac{\partial^2 f}{\partial z_k \partial z_j}(0))_{\substack{2 \leq j \leq n+1 \\ 2 \leq k \leq n+1}}$ é não singular.

Uma descrição mais completa da relação da multiplicidade algébrica com o grau de ∂f é dada pelo seguinte

Teorema IV.3: Existem vizinhanças U e V de 0 em \mathbb{C}^{n+1} tais que $\partial f(U) = V$ e $\partial f: U \rightarrow V$ é um recobrimento analítico ramificado de μ_a folhas.

Isto quer dizer que existe uma subvariedade analítica $D \subset V$ tal que

$$(1) \quad U - (\partial f)^{-1}(D) \text{ é denso em } U$$

(2) $\partial f: U - (\partial f)^{-1}(D) \rightarrow V - D$ é um recobrimento analítico ou seja para cada ponto $y \in V - D$ existe uma vizinhança $U_y \in V - D$ tal que $\partial f^{-1}(U_y)$ consiste de μ_a componentes e a restrição de ∂f a cada uma destas componentes é um difeomorfismo biholomorfo.

(3) $\delta f^{-1}(y)$ é discreto e δf é própria.

Em geral a multiplicidade algébrica é a mais utilizada nos cálculos do número de Milnor (que de agora em diante passaremos a denotar por μ). Usando esta definição, em [Arnold] temos o cálculo de μ para tipos especiais de funções (semi-quasihomogêneas).

Também com esta definição se estabelece a relação entre μ e o poliedro de Newton associado a f .

CAPÍTULO V.

A FÓRMULA DE PICARD-LEFSCHETZ

Neste Capítulo estudaremos um pouco da chamada teoria de Picard-Lefschetz que consiste, falando-se vagamente, numa construção análoga à da teoria de Morse para tratar o caso complexo. Uma diferença fundamental entre os casos real e complexo está em que a estrutura topológica dos níveis de uma função real varia ao passarmos por um valor crítico, ao passo que isso não ocorre para uma função holomorfa $f: \mathbb{C}^{n+1} \rightarrow \mathbb{C}$ pois pelo teorema de fibração, excetuando-se a fibra singular, todas as demais fibras tem o mesmo tipo numa vizinhança do valor crítico. Nossas referências aqui serão [Lamotke (1)], [Lamotke (2)] e [Husein-Zade]. Considere a seguinte situação:

$f: (\mathbb{C}^{n+1}, 0) \rightarrow (\mathbb{C}, 0)$ holomorfa, $0 \in \mathbb{C}^{n+1}$ é ponto crítico isolado de f . A fibra F_c , para $c \neq 0$ e num pequeno disco em torno de $0 \in \mathbb{C}$, tem o tipo de homotopia de um bouquet de μ esferas de dimensão n , cada uma dessas esferas representando um gerador de $H_n(F_c)$. Estas foram chamadas "ciclos evanescente" por Lefschetz e uma explicação grosseira dessa terminologia está em que quando $c \rightarrow 0$, $F_c \rightarrow F_0$, que é contrátil.

Uma pequena deformação de f nos fornece uma função com μ pontos críticos não-degenerados e μ valores críticos distintos. As monodromias associadas a esses pontos críticos geram um grupo, chamado o Grupo de Monodromia de f . A fórmula de

Picard-Lefschetz mede a variação de um ciclo evanescente de f sob a ação desse grupo.

Retornamos agora à situação do Teorema II.3 e utilizaremos os resultados de III e IV.

Seja $f: \mathbb{C}^{n+1} \rightarrow \mathbb{C}$ holomorfa, tal que todos os seus pontos críticos são não-degenerados, estão contidos no interior de uma bola fechada B_ϵ , cujo bordo é a esfera S_ϵ e tal que os valores críticos correspondentes são distintos e estão todos contidos no interior de um disco D_η , $\eta < \epsilon$. Fixe $p \in \partial D_\eta$ como ponto base. Sejam $\Sigma = \{t_1, \dots, t_\mu\}$ o conjunto de valores críticos de f e $D^* = D_\eta - \Sigma$. Ponha $Y = B_\epsilon - f^{-1}(\Sigma)$. Sabemos que $f: Y \rightarrow D^*$ é a projeção de uma fibração C^∞ . Denotamos por Y_z , $z \in D^*$ à fibra típica. Começamos fazendo algumas reduções que serão úteis mais tarde.

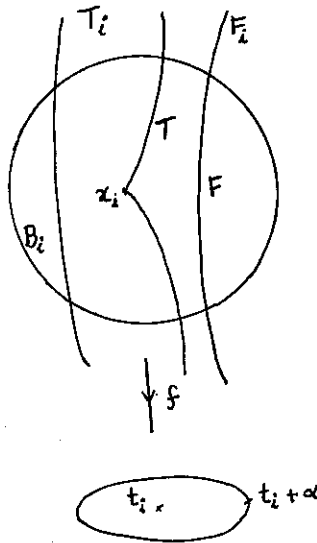
Lema V.1: Seja $\tilde{Y} = B_\epsilon \cap f^{-1}(D_\eta)$. Então $H_q(\tilde{Y}, Y_p) = 0$ para $q \neq n+1$ e $H_{n+1}(\tilde{Y}, Y_p) \simeq \mathbb{Z}^\mu$.

Demonstração:

Sejam:

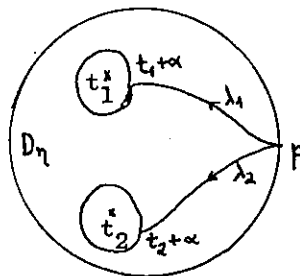
- (i) x_i o ponto crítico correspondente a t_i .
- (ii) D_i um disco de centro x_i e raio α tal que $D_i \subset \overset{\circ}{D}_\eta$ e $D_i \cap D_j = \emptyset$ para $i \neq j$.
- (iii) B_i uma bola fechada de centro x_i e raio suficientemente pequeno de tal modo que em B_i existe um sistema de coordenadas no qual f se exprime como $t_i + z_0^2 + \dots + z_n^2$. (Morse)

(iv) $T_i = f^{-1}(D_i)$, $F_i = f^{-1}(t_i + \alpha)$, $T = T_i \cap B_i$, $F = F_i \cap B_i$



Note que, escolhendo-se os B_i convenientemente, a topologia de T e de F não depende de i .

(v) escolha caminhos diferenciáveis λ_i , ligando p a $t_i + \alpha$, de tal modo que $\lambda = \bigcup_1^{\mu} \lambda_i$ é contrátil a $\{p\}$ e D_η é contrátil a $\gamma = \lambda \cup \left(\bigcup_1^{\mu} D_i\right)$.



Com isto em mãos temos:

Etapa A:

Y_p é um retrato forte de deformação de $\Lambda = f^{-1}(\lambda)$ e $\Gamma = f^{-1}(\gamma)$ é um retrato forte de deformação de \tilde{Y} . Em particular, as inclusões $(\tilde{Y}, Y_p) \rightarrow (\tilde{Y}, \Lambda)$ e $(\Gamma, \Lambda) \rightarrow (\tilde{Y}, \Lambda)$ induzem isomorfismos em homologia e em homotopia.

Demonstração de A:

Como $\lambda \subset D^*$, $f|_{\Lambda}: \Lambda \rightarrow \lambda$ é um subfibrado de $f: Y \rightarrow D^*$. Pelo teorema do recobrimento homotópico [Massey], podemos levantar a contração de λ a $\{p\}$ a uma de Λ a Y_p . Análogamente para a outra afirmação.

Etapa B:

As inclusões $(T_i, F_i) \rightarrow (\tilde{Y}, \Lambda)$ induzem um isomorfismo

$$\bigoplus_{i=1}^{\mu} H_*(T_i, F_i) \xrightarrow{\sim} H_*(\tilde{Y}, \Lambda).$$

Demonstração de B:

Como $\Gamma = (\Lambda - \bigcup_{i=1}^{\mu} F_i) = \bigcup_{i=1}^{\mu} T_i$ e, por A, Y_p é um retrato forte de deformação de $\Lambda - \bigcup_{i=1}^{\mu} F_i$, a inclusão

$(\bigcup_{i=1}^{\mu} T_i, \bigcup_{i=1}^{\mu} F_i) \rightarrow (\tilde{Y}, \Lambda)$ é excisiva. Sendo as uniões $\bigcup_{i=1}^{\mu} T_i$ e $\bigcup_{i=1}^{\mu} F_i$ disjuntas, o resultado segue.

Etapa C:

A inclusão $(T, F) \rightarrow (T_i, F_i)$ induz um isomorfismo a nível de homologia.

Demonstração de C:

Considere $\partial T = T \cap \partial B_i$, $\partial F = F \cap \partial B_i$ e a inclusão $(T, \partial T \cup F) \rightarrow (T_i, \overline{T_i - B_i} \cup F_i)$. Como $T = T_i - (T_i - B_i)$ e $\partial T \cup F = \overline{T_i - B_i} \cup F_i - (T_i - B_i)$ esta é uma excisão e portanto induz um isomorfismo $H_*(T, \partial T \cup F) \xrightarrow{\sim} H_*(T_i, \overline{T_i - B_i} \cup F_i)$.

Por outro lado temos que $F_i - \overset{\circ}{B}_i$ e ∂F são retratos fortes de deformação de $T_i - \overset{\circ}{B}_i$ e de ∂T , respectivamente. Isso segue do teorema de Ehresmann pois f tem posto real constante (=2) sobre $T_i - \overset{\circ}{B}_i$ e ∂T . Logo, $T_i - \overset{\circ}{B}_i \xrightarrow{f} D_i$ e $\partial T \xrightarrow{f} D_i$ são fibrações localmente triviais sobre a base contrátil D_i . Com isso em mãos temos que as inclusões

$$(T, F) \rightarrow (T, \partial T \cup F) \quad \text{e} \quad (T_i, F_i) \rightarrow (T_i, \overline{T_i - B_i} \cup F_i)$$

induzem isomorfismos a nível de homologia já que $\partial T \cup F$ se retrai sobre F e $\overline{T_i - B_i} \cup F_i$ se retrai sobre F_i . Finalmente, o diagrama de inclusões

$$\begin{array}{ccc} (T, F) & \longrightarrow & (T_i, F_i) \\ \downarrow & & \downarrow \\ (T, \partial T \cup F) & \longrightarrow & (T_i, \overline{T_i - B_i} \cup F_i) \end{array}$$

nos dá

$$\begin{array}{ccc}
 H_*(T, F) & \longrightarrow & H_*(T_i, F_i) \\
 \downarrow \wr & & \downarrow \wr \\
 H_*(T, \partial T \cup F) & \xrightarrow{\sim} & H_*(T_i, \overline{T_i - B_i} \cup F_i)
 \end{array}$$

e C fica demonstrada.

As etapas A, B e C reduziram o estudo de (\tilde{Y}, Y_p) ao de (T, F) . Mas, por III.12, sabemos que F é a fibra de Milnor associada a um ponto crítico não-degenerado e que T é contrátil.

Logo, $0 \rightarrow H_q(T, F) \xrightarrow{\partial} H_{q-1}(F) \rightarrow 0$, $q \neq 0$ e portanto $H_q(T, F) \simeq H_{q-1}(F)$, $q \neq 0$
 $H_0(T, F) = 0$.

Como $H_0(F) \simeq \mathbb{Z}$, $H_n(F) \simeq \mathbb{Z}$ e $H_{q-1}(F) = 0$, $q \neq 1$ e $q \neq n+1$ obtemos finalmente $H_{n+1}(\tilde{Y}, Y_p) \simeq \mathbb{Z}^u$ e $H_q(\tilde{Y}, Y_p) = 0$ para $q \neq n+1$, concluindo a demonstração de V.1.

Em III.12 vimos que um gerador de $H_n(F)$ é representado por uma esfera $\sum_0^n (\text{Rez}_j)^2 = \epsilon^2$ munida de uma orientação, e usando o isomorfismo $H_{n+1}(T, F) \xrightarrow{\partial} H_n(F)$ vemos que um gerador $[\Delta]$ de $H_{n+1}(T, F)$ é representado por uma bola fechada real Δ de dimensão $n + 1$, cujo bordo S^n representa o gerador de $H_n(F)$. Uma orientação de S^n determina um gerador de $H_{n+1}(T, F)$.

Considere a sequência

$$H_{n+1}(T, F) \xrightarrow{\sim} H_{n+1}(T_i, F_i) \rightarrow H_{n+1}(\tilde{Y}, \Lambda) \xrightarrow{\sim} H_{n+1}(\tilde{Y}, Y_p)$$

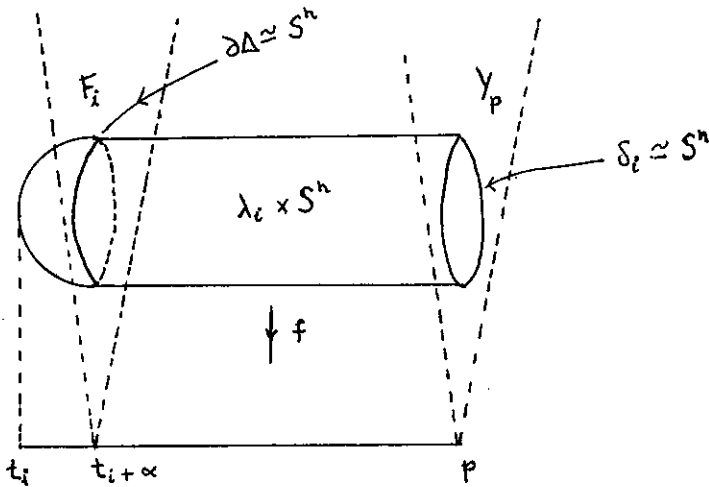
onde a flecha média é injetiva por V.1-B. Seja $[\tilde{\Delta}_i]$ uma base
 $H_{n+1}(T, F) \xrightarrow{\sim} H_{n+1}(T_i, F_i)$, $i = 1, \dots, u$. Estas são levadas
se $\Delta_1, \dots, \Delta_u$ de $H_{n+1}(\tilde{Y}, Y_p)$ pela sequência de homomor-

Definição V.2:

O homomorfismo de bordo $\partial: H_{n+1}(\tilde{Y}, Y_p) \rightarrow H_n(Y_p)$ envia
cada gerador Δ_i de $H_{n+1}(\tilde{Y}, Y_p)$ num elemento $\delta_i = \partial\Delta_i \in H_n(Y_p)$
chamado ciclo evanescente. Δ_i é chamado o dedal de δ_i (termi-
nologia de Lefschetz).

Observação V.3:

δ_i é representado por uma esfera S^n mergulhada em
 Y_p .
De fato, como $f|_{f^{-1}(\lambda_i)}: f^{-1}(\lambda_i) \rightarrow \lambda_i$ é uma fibra-
ção trivial (λ_i contrátil), $f^{-1}(\lambda_i)$ é difeomorfa a
 $\lambda_i \times F_i$. O "dedal" $\Delta \cup (\lambda_i \times S^n)$ onde Δ representa um gera-
dor de $H_{n+1}(T, F)$, representa o gerador Δ_i , e o bor-
do geométrico $\partial(\Delta \cup (\lambda_i \times S^n))$ é uma esfera mergulhada
em Y_p .



Ao percorrermos λ_i , de p até $t_i + \alpha$ e em seguida nos movermos de $t_i + \alpha$ até t_i , δ_i evanesce, daí a origem do nome.

Retornando a III.12, sabemos que F é uma vizinhança tubular de S^n em F_i e que esta está mergulhada em F como a seção nula S^n está mergulhada no fibrado tangente TS^n . O número de auto-interseção de S^n em TS^n (ou a característica de Euler-Poincaré de S^n) é 0 ou 2 caso n seja ímpar ou par, respectivamente. O cálculo desse número é feito munindo-se TS^n da orientação induzida pela orientação canônica (u_0, u_1, \dots, u_n) de R^{n+1} , isto é, primeiro orienta-se S^n e depois a fibra

$T_u S^n$. Como F possui uma orientação natural devido à sua estrutura holomorfa, que é dada por $(x_0, y_0, \dots, x_n, y_n)$, esta induz uma orientação de TS^n dada por $(u_1, v_1, \dots, u_n, v_n)$, a qual difere da orientação canônica $(u_1, \dots, u_n, v_1, \dots, v_n)$ de TS^n pelo fator $(-1)^{n(n+1)/2}$. Logo, o número de auto-interseção de S^n em F_i é $(-1)^{n(n+1)/2}(1-(-1)^{n+1})$. Agora, F_i é difeomorfo a Y_p , com o difeomorfismo preservando a orientação induzida pela estrutura analítica e portanto S^n , que munida dessa orientação determina um dos geradores $[S^n]$ de $H_n(F_i)$, é levada por esse difeomorfismo num ciclo $S^n \hookrightarrow Y_p$ que munido da orientação induzida de Y_p determina um ciclo evanescente $\delta_i \in H_n(Y_p)$. Portanto, o número de auto-interseção é dado por

$$\langle \delta_i, \delta_i \rangle = (-1)^{n(n+1)/2}(1-(-1)^{n+1})$$

Para descrevermos a ação da monodromia em $H_n(Y_p)$ precisaremos da seguinte notação.

Seja $w_i = t_i + \alpha e^{2\pi i s}$, $0 \leq s \leq 1$, o laço que descreve a bordo do disco D_i e ponha $\beta_i = \lambda_i^{-1} \cdot w_i \cdot \lambda_i$. Este é um laço em torno de t_i com extremo em p , chamado laço elementar uma vez que as classes de homotopia $[\beta_i]$, $i = 1, \dots, u$ geram livremente o grupo $\pi_1(D^*, p)$. Daí segue que, escolhendo-se convenientemente uma ordem de indexação dos t_i 's, existe uma única relação $[\beta_1] \dots [\beta_\mu] = 1$.

No que segue todos os espaços envolvidos têm orientação fixada, que será explicitada quando necessário.

Foi visto em IV que $\pi_1(D^*, p)$ age na homologia da fibra, ação que só significa algo em dimensão n , já que essa é a única dimensão em que temos homologia não trivial. Seja $h_{[\beta_i]_*}: H_n(Y_p) \rightarrow H_n(Y_p)$ o operador de monodromia induzido por $[\beta_i]$ na homologia de Y_p . Chegamos ao resultado central desse capítulo.

Teorema V.4: Fórmula de Picard-Lefschetz.

$$h_{[\beta_i]_*}(x) = x + (-1)^{(n+2)(n+1)/2} \langle x, \delta_i \rangle \delta_i \quad \text{para } x \in H_n(Y_p)$$

Demonstração:

Etapa A: Caso de um ponto crítico não degenerado.

Aqui consideramos $f: T \rightarrow D_\alpha$ (mesma notação que em V.1-C), $D^* = D_\alpha - \{0\}$, F a fibra típica, $w: I = [0, 1] \rightarrow D^*$, $w(t) = \alpha e^{2\pi i t}$, $h_{[w]_*}: H_n(F) \xrightarrow{\sim} H_n(F)$ o operador de monodromia induzido pelo gerador $[w]$ de $\pi_1(D^*, \alpha)$.

Definimos inicialmente o operador de extensão ao longo de w (a terminologia ficará clara mais adiante). Seja $H_{[w]}: (F, \partial F) \times (I, \partial I) \rightarrow (T, F)$ o levantamento induzido por w no par $(F, \partial F) \times (I, \partial I) = (F \times I, \partial(F \times I)) = (F \times I, F \times \partial I \cup \partial F \times I)$. $H_{[w]}$ é obtido da seguinte maneira:

O fibrado induzido $w^*(T-f^{-1}(0))$ sobre I é trivial e portanto existe uma aplicação contínua

$$\tilde{H}_{[w]}: (F \times I, \partial(F \times I)) \rightarrow (T-f^{-1}(0), \partial(T-f^{-1}(0)) \cup F) \hookrightarrow (T, \partial T \cup F)$$

satisfazendo:

$\tilde{H}_{[w]}(x, t, y, t)$ se projeta por f no ponto $w(t) \in D^*$, para $x \in F$ e $y \in \partial F$.

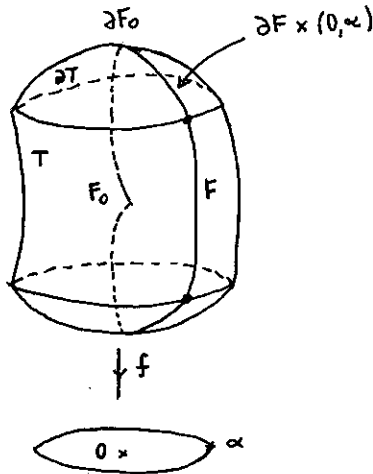
$$\tilde{H}_{[w]}(x, 0, y, 0) = (x, y).$$

Para t fixo, $\tilde{H}_{[w]}$ é um homeomorfismo (podemos tomá-lo um difeomorfismo) $(F \times \{t\}, \partial F \times \{t\}) \simeq (F_t, \partial F_t)$.

Por outro lado, F é um retrato forte de deformação de $\partial T \cup F$ (cf. V.1-C) e daí temos uma aplicação

$H_{[w]}: (F \times I, \partial(F \times I)) \rightarrow (T, F)$. Note que $H_{[w]}$ só depende da classe $[w]$ e que, para $t = 1$, se reduz à monodromia relativa

$(F, \partial F) \xrightarrow{h_{[w]}^r} (F, \partial F)$. Além disso, podemos tomar $H_{[w]}$ de tal modo que esta induza a identidade no bordo ∂F (isto porque $f|_{\partial T}: \partial T \rightarrow D$ é uma fibração trivial e pelo teorema do recobrimento homotópico). A figura abaixo pode ajudar na visualização do que foi dito acima.



Estamos prontos para definir o operador de extensão $\tau_{[w]}$. Seja $[\xi] \in H_1(I, \partial I)$ a classe canônica. Considere o seguinte diagrama:

$$H_n(F, \partial F) \xrightarrow{\times} H_{n+1}((F, \partial F) \times (I, \partial I)) \xrightarrow{H_{[w]}^*} H_{n+1}(T, F)$$

onde $\times: [c] \rightarrow [c] \times [\xi]$ é o "produto homológico".

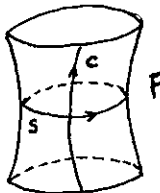
$\tau_{[w]}: H_n(F, \partial F) \rightarrow H_{n+1}(T, F)$ é a composta $H_{[w]}^* \circ \times$.

A propriedade mais interessante de $\tau_{[w]}$ é a seguinte: se c é um ciclo relativo em $(F, \partial F)$, então $c \otimes \xi$ é um ciclo relativo em $(F, \partial F) \times (I, \partial I)$ cujo bordo é $\partial c \otimes \xi + (-1)^n c \otimes \partial \xi$.

Como $H_{[w]}$ induz a identidade em ∂F , esta envia $c \otimes \xi$ num ciclo em (T, F) cujo bordo é $(-1)^n (h_{[w]}^F(c) - c)$. Portanto a composta $H_n(F, \partial F) \xrightarrow{\tau_{[w]}} H_{n+1}(T, F) \xrightarrow{\partial} H_n(F)$ satisfaz

$(-1)^n \partial \tau_{[w]}(x) = h_{[w]}^F(x) - x$. Clássicamente, $(-1)^n \partial \tau_{[w]}$ é chamado operador de variação.

Sejam $[\Delta]$ o gerador de $H_{n+1}(T, F)$ e $s = \partial[\Delta] = [S^n]$ o gerador de $H_n(F)$. Escolha $c \in H_n(F, \partial F)$ que possua número de interseção 1 com s , ou seja $\langle c, s \rangle = 1$. Note que $H_n(F, \partial F) \simeq \mathbb{Z}$ e que é gerado por c , pois por dualidade de Lefschetz, $H^n(F) \simeq H_n(F, \partial F)$. Claramente $\tau_{[w]}(c) = m[\Delta]$, $m \in \mathbb{Z}$. No que segue vamos calcular o inteiro m .



Considere o seguinte diagrama:

$$\begin{array}{ccccc}
 H_{n+1}(FXI, \partial(FXI)) & \xrightarrow{\tilde{H}[w]_*} & H_{n+1}(T, \partial T \cup F) & \xrightarrow[\sim]{R_*} & H_{n+1}(T, f) \\
 \downarrow \partial & & \swarrow \sim / \partial & & \searrow \partial / \sim \\
 H_n(\partial(FXI)) & \xrightarrow{\tilde{H}[w]_*} & H_n(\partial T \cup F) & \xrightarrow[\sim]{R_*} & H_n(F) & \xrightarrow[\sim]{(Re)_*} & H_n(S^n) \\
 \downarrow \sim & & & & & & \downarrow \sim \\
 H_n(\partial(TS^n \times I) \mid \leq 1) & \xrightarrow{g_*} & & & & & H_n(S^n) \\
 \uparrow & & & & & & \parallel \\
 H_n(\partial(EXI)) & \xrightarrow{g_*} & & & & & H_n(S^n)
 \end{array}$$

Explicação do diagrama:

- a linha superior é $H[w]_* = R_* \circ \tilde{H}[w]_*$ onde R_* é a induzida pela retração $\partial T \cup F \rightarrow F$.

- por III.12 e pelo que sucede a V.3, F é uma vizinhança tubular de S^n em F_1 e S^n está mergulhada em F como a seção nula S^n está mergulhada em TS^n . Isto explica

$$\begin{array}{ccc}
 H_n(F) & \xrightarrow[\sim]{(Re)_*} & H_n(S^n) \\
 & & \downarrow \sim \\
 & & H_n(S^n)
 \end{array}$$

onde $(Re)_*$ é a induzida de Re que significa tomar a parte real e S^n é vista como a seção de TS^n .

- a identificação de $TS^n_{||\leq 1}$ com F foi feita em III.12.

E é o espaço determinado pelos elementos da forma $e_1 + iv$, com $v \in \mathbb{R}^{n+1}$, $|v| \leq 1$ e v ortogonal a $e_1 = (1, 0, \dots, 0) \in \mathbb{R}^{n+1}$. Note que $\partial(E \times I) \sim S^n$ e que $E \times I$ está mergulhado em $TS^n_{||\leq 1} \times I$. (E é a fibra sobre e_1 de $TS^n_{||\leq 1} \rightarrow S^n$).

- $g: \partial(TS^n_{||\leq 1} \times I) = \partial TS^n_{||\leq 1} \times I \cup TS^n_{||\leq 1} \times \partial I \rightarrow S^n$ é

definida por $g(u+iv, t) = \text{Re}(e^{i\pi t}(u+iv))$.

- o diagrama é comutativo, sendo que isto não é imediato somente para o diagrama parcial

$$\begin{array}{ccccccc}
 H_n(\partial(F \times I)) & \xrightarrow{\tilde{H}_r[w]_*} & H_n(\partial TUF) & \xrightarrow[\sim]{R_*} & H_n(F) & \xrightarrow{(Re)_*} & H_n(S^n) \\
 \downarrow \sim & & & & & & \downarrow \sim \\
 H_n(\partial(TS^n_{||\leq 1} \times I)) & \xrightarrow{g_*} & & & & & H_n(S^n)
 \end{array}$$

Mas, lembrando da definição de g e do difeomorfismo entre TS^n e F é um exercício obter a comutatividade do diagrama

$$\begin{array}{ccc} TS^n & & \\ \downarrow & & \\ \mathbb{R}^n & \xrightarrow{g} & F \end{array}$$

acima.

Estamos prontos para calcular o inteiro m tal que $\tau_{[w]}(c) = m[\Delta]$ e para fazê-lo precisamos calcular o grau da aplicação $g: \partial(E \times I) \rightarrow S^n$. Antes porém, a orientação que c determina em $(F, \partial F)$ deve ser comparada com a orientação que $c \times [g]$ determina em $\partial(E \times I)$.

A orientação de E é determinada por (v_1, \dots, v_n) . Ora, $(u_1, \dots, u_n, v_1, \dots, v_n)$ formam então um sistema de coordenadas em F (aqui todas as orientações são induzidas pela orientação canônica de \mathbb{R}^{n+1}). Como $\langle c, s \rangle = 1$ a orientação de F provém de sua estrutura analítica, ou seja, é determinada por $(u_1, v_1, \dots, u_n, v_n)$ as duas diferem pelo fator multiplicativo $(-1)^{n(n+1)/2}$.

Por outro lado, como o único ponto de $\partial(E \times I)$ que é pré-imagem do ponto $-e_2 = (0, -1, 0, \dots, 0) \in S^n$ é o ponto $(e_1 + ie_2, \frac{1}{2})$ e (v_2, \dots, v_n, t) formam um sistema de coordenadas locais em torno de $(e_1 + ie_2, \frac{1}{2})$, orientado positivamente e (u_0, u_2, \dots, u_n) são coordenadas locais de S^n em torno de $-e_2$, g se expressa

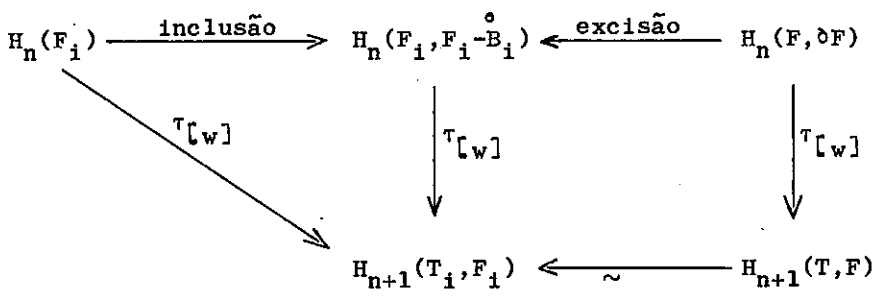
$$g(v_2, \dots, v_n, t) = (\cos \pi t, -\sin \pi t v_2, \dots, -\sin \pi t v_n) \quad e$$

$$D_g(e_1 + ie_2, \frac{1}{2}) = \begin{pmatrix} 0 & \dots & 0 & -\pi \\ \dots & \dots & \dots & \dots \\ -1 & 0 & \dots & 0 \\ 0 & -1 & \dots & 0 \\ \vdots & \vdots & \vdots & \vdots \\ \vdots & \vdots & \vdots & \vdots \\ \vdots & \vdots & \vdots & \vdots \\ 0 & \dots & 0 & -1 \\ \vdots & \vdots & \vdots & 0 \end{pmatrix}$$

cujo determinante é $\pi(-1)^{2n+1}$, ou seja, g tem grau -1 . Portanto $m = (-1)(-1)^{n(n+1)/2}$ e $\tau_{[w]}(c) = -(-1)^{n(n+1)/2}[\Delta]$

Etapa B: caso (T_i, F_i)

Sabemos que $H_{n+1}(T_i, F_i) \simeq H_{n+1}(T, F)$ e que $[\Delta]$ gera $H_{n+1}(T_i, F_i)$. Ponha $s = \delta[\Delta] \in H_n(F_i)$ e considere o diagrama:



onde $\tau_{[w]}$ denota o operador de extens\~ao. Nesse caso, $\tau_{[w]}: H_n(F_i) \rightarrow H_n(T_i, F_i)$ \u00e9 uma vers\~ao absoluta do operador relativo definido na etapa A. Deixamos os detalhes de sua defini\~ao

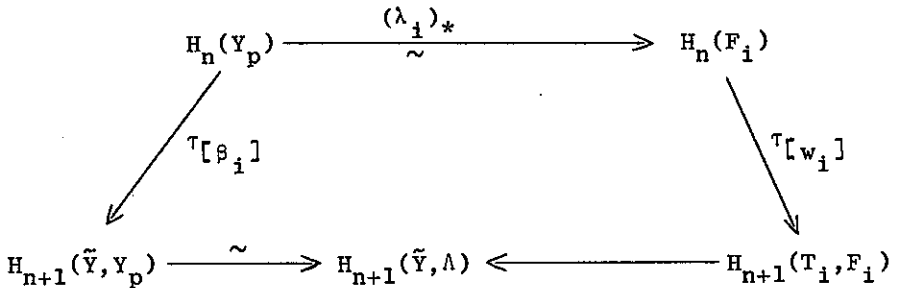
ao leitor (ignore o bordo). Seja $x \in H_n(F_i)$. Queremos calcular $\tau_{[w]}(x) = m[\Delta] \in H_{n+1}(T_i, F_i)$. Os homomorfismos da linha superior levam x em $kc \in H_n(F, \partial F)$. Como $\langle c, s \rangle = 1$ temos que $k = \langle x, s \rangle$ (lembre-se que c é dual a s). Agora, $\tau_{[w]}(\langle x, s \rangle c) = -(-1)^{n(n+1)/2} \langle x, s \rangle [\Delta]$ pela etapa A. Por outro lado o diagrama comuta (exercício). Logo, $\tau_{[w]}(x) = -(-1)^{n(n+1)/2} \langle x, s \rangle [\Delta]$.

Etapa C: caso (\tilde{Y}, Y_p)

Calcularemos agora o efeito da extensão $\tau_{[\beta_i]}$ numa classe $x \in H_n(Y_p)$ onde os $[\beta_i]$, $i = 1, \dots, u$ geram $\pi_1(D^*, p)$.

$$\beta_i = \lambda_i^{-1} \cdot w_i \cdot \lambda_i$$

Considere o diagrama



Aqui, $\tau[\beta_i] = \tau[\lambda_i^{-1} \cdot w_i \cdot \lambda_i] = \tau[\lambda_i^{-1}] \circ (w_i)_* \circ (\lambda_i)_* + \tau[w_i] \circ (\lambda_i)_* + \tau[\lambda_i]$ (exercício). Por outro lado, como $f^{-1}(\lambda_i) \subset \Lambda$ temos que $\tau[\lambda_i]$ e $\tau[\lambda_i^{-1}]$ são nulos. Para ver isso lembre-se que

$$\begin{array}{ccc} \tau[\lambda_i]: H_n(Y_p) & \longrightarrow & H_{n+1}(Y_p \times (I, \partial I)) \xrightarrow{\tilde{H}[\lambda_i]_*} H_{n+1}(\tilde{Y}, \Lambda) \\ x & \longmapsto & x \times [I] \end{array}$$

e $\tilde{H}[\lambda_i]: Y_p \times (I, \partial I) \longrightarrow (\tilde{Y}, f^{-1}(\lambda_i)) \hookrightarrow (\tilde{Y}, \Lambda)$ é obtido pela trivialidade do fibrado induzido $\lambda_i^*(\tilde{Y})$ sobre I .

Mas a imagem de $\tilde{H}[\lambda_i]$ está inteiramente contida em $f^{-1}(\lambda_i) \hookrightarrow \Lambda$. Logo, $\tilde{H}[\lambda_i]_*$ é nula, donde $\tau[\lambda_i]$ é nula.

Ficamos então com $\tau[\beta_i] = \tau[w_i] \circ (\lambda_i)_*$ ou seja, o diagrama comuta. Logo,

$$\begin{aligned} \tau[\beta_i](x) &= \tau[w_i] \circ (\lambda_i)_*(x) \\ &= \tau[w_i](\langle (\lambda_i)_*(x) \rangle) \\ &= -(-1)^{n(n+1)/2} \langle (\lambda_i)_*(x), s \rangle [\Delta] \text{ pela etapa B} \\ &= -(-1)^{n(n+1)/2} \langle x, \delta_i \rangle \Delta_i \text{ por V.2 e V.3.} \end{aligned}$$

Por outro lado $(-1)^n \partial \tau[\beta_i](x) = h[\beta_i]_*(x) - x$, ou seja,

$$\begin{aligned} h_{[\beta_i]_*}(x) &= x + (-1)^{n+1} \frac{n(n+1)}{2} \langle x, \delta_i \rangle \delta_i \\ &= x + (-1)^{(n+1)(n+2)/2} \langle x, \delta_i \rangle \delta_i \end{aligned}$$

Retornamos agora à situação descrita no início desse capítulo e consideramos $f: (\mathbb{C}^{n+1}, 0) \rightarrow (\mathbb{C}, 0)$ holomorfa com $0 \in \mathbb{C}^{n+1}$ ponto crítico isolado.

Ponha $B_\epsilon = \{z \in \mathbb{C}^{n+1} : |z| \leq \epsilon\}$ e $D_\eta = \{t \in \mathbb{C} : |t| \leq \eta\}$.

Sabemos por II.3 que $X \xrightarrow{f} D_\eta^*$ é uma fibração \mathbb{C}^∞ onde $D_\eta^* = D_\eta - \{0\}$, $X = f^{-1}(D_\eta^*) \cap B_\epsilon$ e $0 < \eta < \epsilon$ suficientemente pequeno. Além disso, $f^{-1}(t)$ é transversal a $\partial B_\epsilon = S_\epsilon$ para $t \in D_\eta$. Por outro lado, IV nos diz que uma pequena deformação de f da forma $g_a(z) = f(z) + \sum_{i=0}^n a_i z_i$, $a = (a_0, \dots, a_n)$, é uma função com μ pontos críticos não-degenerados e μ valores críticos distintos, todos contidos no interior de um disco $D_\delta \subset D_\eta$, onde μ é o número de Milnor de f em 0 . Agora, é fácil ver que dado $\eta' > 0$ com $\delta < \eta' < \eta$ podemos obter uma vizinhança conexa U de 0 em \mathbb{C}^{n+1} tal que para cada $a \in U$ se tenha:

(i) $g_a^{-1}(t) \not\cap \partial B_\epsilon$ para $|t| \leq \eta'$.

(ii) todo $z \in B_\epsilon$ tal que $|g_a(z)| \geq \delta$ é ponto regular de g_a . Sejam $g: B_\epsilon \times U \rightarrow \mathbb{C}$ definida por $g(z, a) = g_a(z)$ e $W = \{(z, a) \in B_\epsilon \times U : |g(z, a)| < \eta'\}$.

Defina $G: W \rightarrow D_{\eta'}^* \times U$ por $G(z, a) = (g(z, a), a)$.

Certamente, o conjunto de valores críticos de G está contido em $\overset{\circ}{D}_\delta \times U$. Considere o caminho $v: [0,1] \rightarrow \overset{\circ}{D}_\eta' \times U$ dado por $v(s) = (\delta, as)$.

A fibração $G^{-1}(v(I)) \xrightarrow{G} v(I)$ é trivial uma vez que $v(I)$ é contrátil e que $G|_{\partial W}$ tem posto máximo pois $g_a^{-1}(t)$ é transversal a ∂B_ϵ . Portanto, temos um difeomorfismo $\varphi: G^{-1}(v(0)) \xrightarrow{\sim} G^{-1}(v(1))$, ou seja, $f^{-1}(\delta) \cap B_\epsilon \xrightarrow{\varphi} g_a^{-1}(\delta) \cap B_\epsilon$.

Com isto em mãos e lembrando que a fibra $g_a^{-1}(\delta) \cap B_\epsilon$ é precisamente a fibra Y_p de V.1, que $\overbrace{f^{-1}(\delta) \cap B_\epsilon}$ é difeomorfa à fibra de Milnor F_θ associada a f e que \tilde{Y} de V.1 é contrátil temos:

Proposição V.5:

Os ciclos evanescentes $\varphi_*(\delta_i) \in H_n(F_\theta)$, $\delta_i \in H_n(Y_p)$, $i = 1, \dots, \mu$, formam uma base da homologia de $H_n(F_\theta)$.

Passamos agora à definição do Grupo de Monodromia de $f: (\mathbb{C}^{n+1}, 0) \rightarrow (\mathbb{C}, 0)$.

Seja $\Delta \subset \overset{\circ}{D}_\delta \times U$ o conjunto de valores críticos de G . Em $\overset{\circ}{D}_\eta' \times U$ consideramos os caminhos $\sigma(s) = (\delta e^{2\pi i s}, 0)$ e $\sigma_a(s) = (\delta e^{2\pi i s}, a)$, $s \in [0,1]$. Note que σ é homotópico a $v^{-1} \cdot \sigma_a \cdot v$ em $\overset{\circ}{D}_\eta' \times U - \Delta$.

Como a fibração $\partial W \xrightarrow{G|_{\partial W}} \mathring{D}_\eta' \times U$ é trivial podemos obter uma monodromia $h_{[\sigma]}: G^{-1}(\delta, 0) \rightarrow G^{-1}(\delta, 0)$ associada a σ , tal que $h_{[\sigma]}$ seja a identidade no bordo $\partial G^{-1}(\delta, 0)$. Esta induz uma monodromia $h_{[\sigma']}: f^{-1}(\delta) \cap B_\epsilon \rightarrow f^{-1}(\delta) \cap B_\epsilon$ que é a identidade ao longo do bordo $\partial(f^{-1}(\delta) \cap B_\epsilon)$ onde $\sigma'(s) = \delta e^{2\pi i s}$. Claramente a mesma construção pode ser feita em se considerando o caminho σ_a . Além disso, podemos obter o difeomorfismo $\varphi = h_{[\nu]}$ de tal modo que $h_{[\sigma']}$ e $\varphi^{-1}h_{[\sigma']} \varphi$ sejam homotópicos, com a homotopia estacionária ao longo do bordo $\partial(f^{-1}(\delta) \cap B_\epsilon)$. (veja [Massey]).

Definição V.6:

O Grupo de Monodromia de g_a é a imagem do homomorfismo

$$\pi_1(D_\eta - \Sigma, p) \longrightarrow \text{Aut } H_n(Y_p)$$

onde $\Sigma = \{t_1, \dots, t_\mu\}$ é o conjunto de valores críticos de g_a , que a cada $[\gamma] \in \pi_1(D_\eta - \Sigma, p)$ associa o isomorfismo

$$h_{[\gamma]}_*: H_n(Y_p) \rightarrow H_n(Y_p).$$

Suponha agora que \tilde{g}_λ é uma outra deformação de f , possuindo μ pontos críticos não-degenerados cujos valores críticos correspondentes são distintos e estão todos contidos num disco $D_{\tilde{\delta}} \subset D_\eta$. Ponha $g_{\lambda, a} = \tilde{g}_\lambda + g_a - f$. Una \tilde{g}_λ a g_a por uma família contínua de funções com as mesmas propriedades $g_{\lambda(s), a(s)}, s \in [0, 1]$.

A construção que precede a definição V.6 se traduz imediatamente à situação de \tilde{g}_λ e g_a , ou seja, o Grupo de Monodromia não depende da deformação de f desde que esta satisfaça às mesmas propriedades que g_a . Isto justifica a seguinte

Definição V.7:

O Grupo de Monodromia de f é o grupo de Monodromia de g_a .

Definição V.8:

O operador de monodromia de f é o produto

$$h_* = h_{[\beta_1]_*} \circ \dots \circ h_{[\beta_\mu]_*} : H_n(F_\theta) \longrightarrow H_n(F_\theta)$$

Muito já foi estudado sobre esse operador (vide [Brieskorn] e [Husein-Zade]) e como não pretendemos nos alongar muito nessa direção provaremos apenas o seguinte resultado:

Proposição V.9:

Seja $f: \mathbb{C}^2 \rightarrow \mathbb{C}$ um polinômio, $f(0) = 0$; f analiticamente irreduzível em $0 \in \mathbb{C}^2$ sendo este um ponto crítico. Então o polinômio característico do operador de monodromia de f em 0 coincide com o polinômio de Alexander do nó $K = f^{-1}(0) \cap S_\epsilon$.

Demonstração:

Como a fibra de Milnor F_θ tem o tipo de homotopia de um bouquet de círculos obtemos a sequência exata curta (notação multiplicativa)

$$1 \rightarrow \pi_1(F_\theta, p) \rightarrow \pi_1(S_\epsilon - K, p) \xrightarrow{\varphi_{\epsilon*}} \pi_1(S^1, \varphi_\epsilon(p)) \rightarrow 1$$

proveniente da sequência exata de homotopia associada à fibração $\varphi_\epsilon: S_\epsilon - K \rightarrow S^1$ (veja [Steenrod], 7.2). Como os grupos fundamentais de F_θ e de S^1 são livres, a sequência acima fornece uma apresentação de $\pi_1(S_\epsilon - K, p)$ por geradores e relações como segue:

Sejam $\delta_1, \dots, \delta_\mu$ os geradores de $\pi_1(F_\theta, p)$, onde μ é o número de Milnor de f em 0 , $\alpha \in \pi_1(S_\epsilon - K, p)$ tal que a imagem de α por $\varphi_{\epsilon*}$ é um gerador de $\pi_1(S^1, \varphi_\epsilon(p))$. Então o automorfismo de $\pi_1(S_\epsilon - K, p)$ definido por multiplicação por α induz um automorfismo $h^1: \pi_1(F_\theta, p) \rightarrow \pi_1(F_\theta, p)$. A imagem de δ_i por h^1 deve ser conjugada a δ_i e obtemos a apresentação de $\pi_1(S_\epsilon - K, p)$ por geradores: $\alpha, \delta_1, \dots, \delta_\mu$

Relações: $\alpha^{-1} \delta_i \alpha = h^1(\delta_i)$, $i = 1, \dots, \mu$ (veja [Crowell-Fox]).

Por outro lado temos a sequência exata curta associada ao recobrimento cíclico infinito $X \xrightarrow{P_\epsilon} S_\epsilon - K$ (cf. capítulo IV)

$$1 \rightarrow \pi_1(X, \bar{p}) \rightarrow \pi_1(S_\epsilon - K, p) \rightarrow \mathbb{Z} \rightarrow 1$$

Agora, X é homeomorfo a $F_\theta \times \mathbb{R}$ e podemos tomar como gerador do grupo de transformações de recobrimento $\text{Aut}(X)$ o homeomor-

CAPÍTULO VI

A CONEXÃO DE GAUSS-MANIN

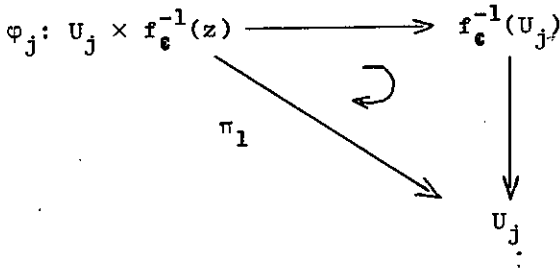
O objetivo deste capítulo é descrever o método de Brieskorn para calcular a monodromia de uma singularidade isolada. Este método associa a cada f com ponto crítico isolado em 0 uma equação diferencial complexa do tipo $Y' = A(z)Y$ onde $Y \in \mathbb{C}^\mu$ ($\mu =$ número de Milnor da singularidade) e $A(z)$ é uma matriz $\mu \times \mu$ com coeficientes funções holomorfas em $D_\eta^* = \{z \in \mathbb{C} / 0 < |z| < \eta\}$ que possuem um polo na origem. A monodromia desta equação, definida como a ação de $\pi_1(D_\eta^*, z_0)$ no espaço dos germes em z_0 de soluções do sistema é igual à monodromia de f em 0 . Utilizaremos aqui a fibração $f_\epsilon: X^* = (B_\epsilon - V) \cap f^{-1}(D^*) \rightarrow D^*$ obtida no Teorema II.3 e estudamos a ação de $\pi_1(D^*, z_0)$ em $H^n(f^{-1}(z_0), \mathbb{C}) \approx \mathbb{C}^\mu$. Esta exposição baseada em [Sebastiani], [Alonso-Torres-Lê Dũng Tráng] e [Brasselet].

1) Construção do fibrado $H^n(f)$:

Seja $H^n(f) = \{(z, \alpha) / z \in D^*, \alpha \in H^n(f^{-1}(z), \mathbb{C})\}$ e consideremos a projeção $\pi: H^n(f) \rightarrow D^*$, $\pi(z, \alpha) = z$.

Então $(H^n(f), D^*, \pi)$ possui estrutura de fibrado vetorial complexo (holomorfo).

Prova: Dado $z \in D^*$ se $z \in U_j$ uma vizinhança trivializadora de f_ϵ então existe um difeomorfismo φ_j que torna o seguinte diagrama comutativo:



Se $z' \in U_j$ então existe um difeomorfismo

$h_{z'}^j: f_\epsilon^{-1}(z) \rightarrow f_\epsilon^{-1}(z')$ definido por $h_{z'}^j(x) = \varphi_j(z', x)$ com $h_z^j = \text{id}$ que induz um isomorfismo de espaços vetoriais complexos $(h_{z'}^j)_*: H^n(f_\epsilon^{-1}(z), \mathbb{C}) \rightarrow H^n(f_\epsilon^{-1}(z'), \mathbb{C})$. Temos assim definida uma bijeção

$$\begin{aligned}
 \bar{h}_j: U_j \times H^n(f_\epsilon^{-1}(z), \mathbb{C}) &\longrightarrow \pi^{-1}(U_j) \quad \text{que} \\
 (z', \alpha) &\longmapsto (z', (h_{z'}^j)_*(\alpha))
 \end{aligned}$$

tomamos por carta local de $H^n(f)$ em torno de (z', α) . Observe que \bar{h}_j assim definida depende da escolha de uma fibra $f_\epsilon^{-1}(z)$ sobre um ponto em U_j . Suponhamos então que U_j seja conexo e que \bar{z} seja um outro ponto de U_j tal que

$\psi_j: U_j \times f_\epsilon^{-1}(\bar{z}) \rightarrow f_\epsilon^{-1}(U_j)$ é uma outra trivialização. Então $g_z^j: f_\epsilon^{-1}(\bar{z}) \rightarrow f_\epsilon^{-1}(z')$ definida por $g_z^j(y) = \psi_j(z', y)$ induz

$(g_z^j)_*$ e $\bar{g}_j: U_j \times H^n(f_e^{-1}(\tilde{z}), \mathbb{C}) \rightarrow \pi^{-1}(U_j)$ de modo que

$$\bar{g}_j^{-1} \circ \bar{h}_j: U_j \times H^n(f_e^{-1}(z), \mathbb{C}) \longrightarrow U_j \times H^n(f_e^{-1}(\tilde{z}), \mathbb{C})$$

é uma bijeção dada por $\bar{g}_j^{-1} \circ \bar{h}_j(z', \alpha) = (z', (g_z^j)_*^{-1}(h_z^j)_*(\alpha))$.

Afirmamos que $(g_z^j)_*^{-1} \circ (h_z^j)_* = (h_z^j)_*$.

Para provarmos isto basta ver que $(g_z^j)_*^{-1} \circ h_z^j$ é homotópica a h_z^j . Seja $\gamma(s)$ um caminho em U_j ligando z' a \tilde{z} , definimos

$$F(s, \xi) = (g_{\gamma(s)}^j)_*^{-1} \circ h_{\gamma(s)}^j(\xi) \text{ então } F(0, \xi) = (g_z^j)_*^{-1} \circ h_z^j(\xi) \text{ e}$$

$$F(1, \xi) = (g_{\tilde{z}}^j)_*^{-1} \circ h_{\tilde{z}}^j(\xi) = h_{\tilde{z}}^j(\xi)$$

Desta maneira podemos identificar todas as fibras $H^n(f_e^{-1}(z), \mathbb{C})$ sobre um aberto conexo contido em uma vizinhança trivializadora de modo que $\bar{g}_j^{-1} \circ \bar{h}_j = \text{id}_{U_j} \times (h_z^j)_*$ é analítica complexa. Observe também que as funções de transição

$\bar{h}_{j,k}: U_j \cap U_k \rightarrow \text{Aut}(H^n(f_e^{-1}(z), \mathbb{C})) \approx \text{Gl}(n, \mathbb{C})$ são localmente constantes.

2) Conexão de Gauss Manin e Monodromia de $H^n(f)$.

Definição VI.1: Seja (E, π, M) é um fibrado vetorial. Uma seção do fibrado sobre um aberto $U \subset M$ é uma aplicação $\sigma: U \rightarrow \pi^{-1}(U)$ tal que $\pi \circ \sigma = \text{identidade}$.

Dizemos que uma seção $\sigma: U \rightarrow \pi^{-1}(U)$ do $H^n(f)$ é localmente constante se para todo $z \in U$ existe uma vizinhança $U' \subset U$ de z que trivializa $H^n(f)/\pi^{-1}(U')$ tal que se $z' \in U'$ então $s(z') = (h_{z'}^j)_*(s(z))$ isto é nas coordenadas em U' $s(z')$ é constante.

Lembrando que definimos monodromia de f como sendo a ação de $\pi_1(S^1, z_0)$ em $H^n(f^{-1}(z_0))$ devemos buscar pois um processo de levantamento de laços em D^* a caminhos em $H^n(f)$. Para isto usamos uma conexão em $H^n(f)$.

Em geral (veja [Spivak]) uma conexão em um fibrado é uma distribuição C^∞ de subespaços H (subespaços horizontais) que satisfaz

- (i) $T_e E = H(e) \oplus V(e)$ onde $V(e) =$ subespaço vertical = $= \text{Ker } d\pi(e)$.
- (ii) $H(\alpha e) = d\alpha(e) \cdot H(e)$ $\alpha \in \mathbb{R}$ e $\alpha(e) = \alpha \cdot e$.

Juntamente com a noção de conexão temos o conceito de derivada covariante ∇ que associa a cada campo X tangente a M e a cada seção s a seção $\nabla_X(s)$ definida por $\nabla_X(s)(p) = v[ds(p) \cdot X_p] \in V(s(p))$ (componente vertical).

Entretanto como estamos trabalhando com um fibrado sobre D^* podemos adotar a seguinte

Definição VI.2: Uma conexão $\nabla_{\frac{d}{dz}}$ em um fibrado vetorial sobre D^* é uma aplicação \mathbb{C} -linear

$\nabla_{\frac{d}{dz}}: \mathfrak{E} \rightarrow \mathfrak{E}$ $\mathfrak{E} =$ seções do fibrado que satisfaz

$$\nabla_{\frac{d}{dz}} (\lambda \cdot s) = \frac{d\lambda}{dz} \cdot s + \lambda \cdot \nabla_{\frac{d}{dz}} (s)$$

para toda função λ holomorfa em um aberto $U \subset D^*$ e toda seção s definida em U .

Em geral não existe uma maneira "natural" de se obter conexões em um fibrado, entretanto o fato de que as funções de transição de $H^n(f)$ são localmente constantes permite-nos obter uma conexão ∇ em $H^n(f)$ (que é localmente plana). Esta conexão recebe o nome de conexão de Gauss-Manin. Vejamos como se pode obter ∇ :

Observe que ∇ é determinada localmente por uma base de seções locais em um aberto U , s_1, \dots, s_u pois se $\nabla s_j = \sum a_{ij} s_i$ com a_{ij} funções holomorfas em U então para $s|_U = \sum \lambda_i s_i$ temos

$$\begin{aligned} \nabla s|_U &= \sum_j \lambda'_j \cdot s_j + \lambda_j \nabla s_j = \sum_j \lambda'_j \cdot s_j + \lambda_j \sum_i a_{ij} s_i = \\ &= \sum_j \left[\lambda'_j + \sum_{i=1}^u \lambda_i a_{ji} \right] s_j \quad (*) \end{aligned}$$

A matriz $A = (a_{ji})$ é chamada matriz da conexão.

Seja U uma vizinhança trivializadora de $H^n(f)$. Existe uma base de seções localmente constantes dada por $S_j^U(z') = (h_{z'}^U)_*(\alpha_j)$, $\{\alpha_j\}$ base de $H^n(f^{-1}(z))$. Se s é uma se-

ção de $H^n(f)$ então $s|_U = \sum \lambda_j s_j^U$, com $\lambda_i \in \mathfrak{O}_U$, definimos $\forall s|_U = \sum \lambda'_j s_j^U$ (ou seja $\forall s_j^U = 0$).

Se V é uma outra vizinhança trivializadora tal que $U \cap V \neq \emptyset$ então $s|_{U \cap V} = \sum \lambda_j s_j^U|_{U \cap V} = \sum \delta_j s_j^V|_{U \cap V}$ com

$$\lambda(z') = T^{UV}(z')\delta(z'), \quad \lambda = (\lambda_1, \dots, \lambda_\mu), \quad \delta = (\delta_1, \dots, \delta_\mu),$$

$T^{UV}: U \cap V \rightarrow GL(\mu, \mathbb{C})$ função de transição.

Derivando em $U \cap V$ obtemos $\lambda'(z') = (T^{UV})'(z')\delta(z') + T^{UV}(z')\delta'(z')$. Mas T^{UV} é localmente constante logo $(T^{UV})' = 0$ ou seja $\lambda'(z') = T^{UV}(z')\delta'(z')$ o que implica que $\forall s$ é uma seção.

Definição VI.3: Uma seção $s: U \rightarrow \pi^{-1}(U)$ é dita horizontal se $\forall s = 0$.

Neste ponto cabe observar que $H^n(f)$ por ser um fibrado holomorfo sobre uma superfície de Riemann não compacta é analiticamente trivial ($H^n(f) \simeq D^* \times H^n(f^{-1}(z), \mathbb{C})$) (veja [Foster, 30.4]), portanto existe uma base $\{\sigma_1, \dots, \sigma_\mu\}$ de seções globais. Em geral estas seções não são horizontais e é justamente o problema da extensão de seções locais horizontais que nos leva a considerar a monodromia de $H^n(f)$.

Se $\gamma: [0, 1] \rightarrow D^*$ é um laço simples com $\gamma(0) = \gamma(1) = z_0$ então levantamentos horizontais de γ a partir de pontos em $H^n(f^{-1}(z_0), \mathbb{C})$ determinam um automorfismo de $H^n(f^{-1}(z_0), \mathbb{C})$ de

finido do seguinte modo: seja $0 \leq t_1 < t_2 < \dots < t_\ell = 1$ uma partição de $[0,1]$ tal que $\gamma[t_j, t_{j+1}]$ esteja contido em uma vizinhança trivializadora de $H^n(f)$. Para $\alpha \in H^n(f^{-1}(z_0), \mathbb{C})$ e $j = 1, \dots, \ell-1$ definimos seções horizontais locais σ_j pelas seguintes condições:

$$\sigma_1(z_0) = \alpha, \quad \sigma_j(\gamma(t_j)) = \sigma_{j-1}(\gamma(t_j))$$

Definimos $T_\gamma(\alpha) = \sigma_\ell(\gamma(1))$. [$T_\gamma(\alpha)$ nada mais é do que o transporte paralelo do vetor α ao longo de um levantamento de γ]. É fácil ver que se $\gamma \sim 1$ então $T_\gamma(\alpha) = \alpha$ de modo que T_γ depende apenas da classe de homotopia de γ , temos portanto a monodromia de $H^n(f)$ definida pela ação de $\pi^1(D^*, z_0)$ em $H^n(f^{-1}(z_0), \mathbb{C})$ ou seja a holonomia do fibrado $H^n(f)$. Utilizando as seções localmente constantes (que obviamente são horizontais) vemos que a monodromia de f coincide com a monodromia do fibrado $H^n(f)$.

Até agora pouco progresso alcançamos pois ainda estamos utilizando as trivializações da fibração de Milnor para obter seções horizontais, entretanto observe que pela fórmula (*) localmente

$$\nabla s|_U = \sum_j (\lambda'_j + \sum_i a_{ji} \lambda_i) s_j$$

logo $\nabla s|_U = 0$ se e somente se $\lambda'_j + \sum_i a_{ji} \lambda_i = 0$.

Portanto seções horizontais locais correspondem a soluções do sistema diferencial $\lambda' + A \cdot \lambda = 0^{(**)}$ onde A é a ma-

triz de conexão e $\lambda = (\lambda_1, \dots, \lambda_\mu)$ e cada λ_j uma função holomorfa em U .

Sabemos que dada uma condição inicial $\lambda(z_0) = \lambda^0$ o espaço das soluções do sistema (**) tem dimensão μ (ver [Coddington-Levinson], pg. 68), portanto obtendo-se sistemas do tipo (**) ao longo de um laço γ tal que $[\gamma]$ gera $\pi^1(D^*, z_0) = \mathbb{Z}$, ao final encontraremos uma outra base de soluções em uma vizinhança de z_0 que se relaciona com a primeira pela equação $\lambda = P\tilde{\lambda}$ $P \in GL(\mu, \mathbb{C})$. P é a matriz que representa a monodromia de $H^n(f)$ (portanto representa a monodromia de f).

Nosso próximo objetivo será obter A a partir de f (sem passar por trivializações).

3) Seções holomorfas de $H^n(f)$

Para cada aberto $U \subset D^*$ associamos o conjunto $\mathfrak{X}(U) = \Gamma(U, \pi^{-1}(U)) = \{\text{seções holomorfas de } H^n(f) \text{ definidas em } U\}$. Se $V \subset U$ é um aberto então existe uma aplicação

$$\rho_V^U: \mathfrak{X}(U) \rightarrow \mathfrak{X}(V) \quad (\text{restrição}).$$

$$\sigma \rightarrow \sigma|_V$$

É fácil verificar as seguintes propriedades:

- (i) $\rho_U^U = \text{id}$
- (ii) se $W \subset V \subset U$ são abertos então $\rho_W^V \circ \rho_V^U = \rho_W^U$

(iii) se $U = \bigcup_{\alpha \in J} U_\alpha$, $\{U_\alpha\}_{\alpha \in J}$ coleção de abertos e $\sigma_1, \sigma_2 \in \mathcal{X}(U)$ são tais que $\sigma_1|_{U_\alpha} = \sigma_2|_{U_\alpha} \quad \forall \alpha \in J$ então $\sigma_1 = \sigma_2$.

(iv) se $\sigma_\alpha \in \mathcal{X}(U_\alpha)$ com $\alpha \in J$ e se $\sigma_\alpha|_{U_\alpha \cap U_\beta} = \sigma_\beta|_{U_\alpha \cap U_\beta}$ então podemos definir $\sigma \in \mathcal{X}(U)$ por $\sigma|_{U_\alpha} = \sigma_\alpha$.

Estas propriedades dão ao conjunto das seções holomorfas de $H^n(f)$ a estrutura de um feixe sobre D^* , que denotaremos aqui por $\mathcal{X}(f)$. Observe que $\mathcal{X}(f)$ é um \mathcal{O}_{D^*} -módulo e que $\mathcal{X}(f) = \bigcup_{z \in D^*} \mathcal{X}_z$ onde $\mathcal{X}_z =$ germes de funções holomorfas (vide [Foster]).

O primeiro resultado de Brieskorn é sobre o feixe $\mathcal{X}(f)$. Antes de enunciá-lo vamos definir o complexo de de Rham relativo a f .

Na definição de $H^n(f)$ está subentendido que $H^n(f^{-1}(z), \mathbb{C})$ é a cohomologia singular com coeficientes complexos ($H^n(f^{-1}(z), \mathbb{C}) = H^n(f^{-1}(z), \mathbb{R}) \otimes \mathbb{C}$). Entretanto para calcular a conexão de Gauss-Mann é conveniente utilizar o Teorema de Rham que nos diz que $H^n(f^{-1}(z), \mathbb{R}) \simeq H_{DR}^n(f^{-1}(z))$ (usando o complexo das formas diferenciais e o operador d de derivação exterior usual de modo que $H_{DR}^n(f^{-1}(z), \mathbb{R}) =$ n-formas diferenciais fechadas/n-formas exatas).

Fazendo uso da estrutura analítica complexa de $f^{-1}(z)$ podemos descrever $H^n(f^{-1}(z), \mathbb{C})$ usando formas diferenciais holomorfas.

Usando coordenadas $(z_1, \dots, z_{n+1}, \bar{z}_1, \dots, \bar{z}_{n+1})$ em $\mathbb{C}^{n+1} \approx \mathbb{R}^{2n+2}$ vemos que uma m -forma diferencial w em \mathbb{C}^{n+1} se escreve como $w(a) = \sum_{|I|+|J|=m} w_{IJ}(a) dz_I \wedge d\bar{z}_J$ onde para cada multiíndice

$$I = \{i_1, \dots, i_q\}, \quad J = \{j_1, \dots, j_p\}, \quad p+q = m, \quad dz_I = dz_{i_1} \wedge \dots \wedge dz_{i_q}$$

$$e \quad d\bar{z}_J = d\bar{z}_{j_1} \wedge \dots \wedge d\bar{z}_{j_p}.$$

Dizemos que w é uma m -forma holomorfa se

$$w(a) = \sum_{|I|=m} w_{I0}(a) dz_I \quad \text{com cada } w_{I0} \text{ uma função holomorfa.}$$

Tomando-se abertos de $U \subset X$ e formas holomorfas definidas em U (com os respectivos morfismos de restrição) construímos $\Omega_X^p =$ feixe das p -formas holomorfas sobre X .

Seja w uma n -forma holomorfa em X e considere

$w|_{f^{-1}(z)}$. Como $w|_{f^{-1}(z)}$ tem grau máximo ($= \dim f^{-1}(z)$) então $w|_{f^{-1}(z)}$ representa um cociclo de $H^n(f^{-1}(z), \mathbb{C})$. Entretanto observe que se $\tilde{w} = w + df \wedge \eta + d\rho$ então $\tilde{w}|_{f^{-1}(z)}$ é cohomologo a $w|_{f^{-1}(z)}$, logo para termos uma boa definição da correspondência $w \rightsquigarrow [w|_{f^{-1}(z)}]$ (onde $[\]$ indica a classe de cohomologia) devemos identificar expressões acima.

Construímos assim o feixe das p -formas relativas a f definido por $\Omega_{X/D}^p = \Omega_X^p / df \wedge \Omega_X^{p-1} + d \Omega_X^{p-1}$ e formamos o complexo de Rham relativo a f onde tomamos o operador $\bar{d}^p: \Omega_{X/D}^p \rightarrow \Omega_{X/D}^{p+1}$ (bem definido pois $d(df \wedge \eta) = df \wedge d\eta \in df \wedge \Omega_X^p$) de modo que podemos falar da cohomologia de de Rham relativa:

$$H^n(\Omega_{X/D}) = \text{Ker } \bar{d}^n / \text{Im } \bar{d}^{n-1}.$$

Denotamos por \mathbb{H} o feixe sobre D^* obtido pela correspondência que a cada aberto $U \subset D^*$ associa $H^n(\Omega_{X/D}(f^{-1}(U)))$ e por morfismos $\rho_V^U: H^n(\Omega_{X/D}(f^{-1}(U))) \rightarrow H^n(\Omega_{X/D}(f^{-1}(V)))$ restrição.

$$[w] \rightsquigarrow [w|_{f^{-1}(V)}]$$

Observe que \mathbb{H} teve estrutura de \mathcal{O}_D -módulo via composição com f .

Teorema VI.1 (Brieskorn):

- (i) $\mathbb{H}|_{D^*}$ é isomorfo a $\mathbb{H}(f)$ (como \mathcal{O}_D^* -módulos).
- (ii) \mathbb{H} é um feixe livre de posto n sobre \mathcal{O}_D .

Comentários: (i) A correspondência entre $\mathbb{H}|_{D^*}$ e $\mathbb{H}(f)$ é obtida associando a cada n -forma que representa um cociclo sobre um aberto $f^{-1}(U)$ uma seção $s_w: U \rightarrow \pi^{-1}(U)$ definida por $s_w(z) = [w|_{f^{-1}(z)}] \in H^n(f^{-1}(z), \mathbb{C})$.

Que s_w é uma seção holomorfa segue da teoria de resíduos de Leray e Norguet [ver Brasselet pg. 9-15].

Proposição VI.1: Seja w uma n -forma holomorfa tal que $dw = df \wedge \alpha$. Então $\nabla s_w = s_\alpha$.

Demonstração:

Seja w tal que $dw = df \wedge \alpha$, vamos calcular ∇s_w . Se U é uma vizinhança trivializadora de f , então como vimos anteriormente podemos escrever $s_w|_U = \sum g_j s_j$ onde s_j são seções locais horizontais e $g_j \in \mathcal{O}_U$. Além disso $\nabla s_w|_U = \sum g'_j s_j$.

Para cada $z \in U$ fixo seja u_z uma seção horizontal local tal que $u_z(z) = s_w(z)$ (isto é $u_z(z') = (h_z)_*(s_w(z))$). Logo $u_z(z') = \sum g_j(z)s_j(z')$ (verifique!) e

$$\begin{aligned} \nabla s_w \Big|_U (z_0) &= \sum g'_j(z_0)s_j(z_0) = \sum \lim_{z \rightarrow z_0} \frac{g_j(z) - g_j(z_0)}{z - z_0} s_j(z_0) = \\ &= \lim_{z \rightarrow z_0} \sum_j \frac{g_j(z) - g_j(z_0)}{z - z_0} s_j(z_0) = \lim_{z \rightarrow z_0} \frac{u_z(z) - u_{z_0}(z_0)}{z - z_0}. \end{aligned}$$

Usando a dualidade entre cohomologia e homologia (via integração) vamos calcular $\int_{\xi_{z_0}} \nabla s_w \Big|_U (z_0)$ onde ξ_{z_0} é um gerador de $H_n(f_\epsilon^{-1}(z_0), \mathbb{Z})$ ($\approx \mathbb{Z}^\mu$). Entretanto procedendo de modo análogo ao que foi feito anteriormente podemos obter ξ_z gerador de $H_n(f_\epsilon^{-1}(z), \mathbb{Z})$ para $z \in U$ através da aplicação $(h_z)_*: H_n(f_\epsilon^{-1}(z), \mathbb{Z}) \rightarrow H_n(f_\epsilon^{-1}(z_0), \mathbb{Z})$. Assim temos:

$$\begin{aligned} \int_{\xi_z} u_z(z) &= \int_{\xi_{z_0}} u_z(z_0) \quad e \\ \int_{\xi_{z_0}} u_z(z_0) - \int_{\xi_{z_0}} u_{z_0}(z_0) &= \int_{\xi_z} u_z(z) - \int_{\xi_{z_0}} u_{z_0}(z_0) = \int_{\xi_z} s_w(z) - \\ &- \int_{\xi_{z_0}} s_w(z_0) = \int_{\xi_z} w - \int_{\xi_{z_0}} w. \end{aligned}$$

Observe agora que existe uma aplicação $\Gamma: U \times S^n \rightarrow X^*$ tal que $\Gamma \Big|_{S^n \times z}: S^n \rightarrow f_\epsilon^{-1}(z)$ representa ξ_z para $z \in U$,

donde pelo Teorema de Stokes $\int_{\xi_z} w - \int_{\xi_{z_0}} w = \int_{\Gamma} |S^n \times [z_0, z]$ dw

com $[z_0, z]$ segmento em U que liga z_0 a z. Como por hipó-

tese $dw = df \wedge \alpha$ então $\int_{\xi_{z_0}} u_z(z_0) - \int_{\xi_{z_0}} u_z(z_0) = \int_{\xi_z} w|_{f_\epsilon^{-1}(z)} -$

$$- \int_{\xi_{z_0}} w|_{f_\epsilon^{-1}(z)} = \int_{\Gamma} |S^n \times [z_0, z] df \wedge \alpha =$$

$$\int_{[z_0, z]} \left(\int_{\Gamma} |S^n \times \{z'\} \alpha \right) dz'.$$

Portanto

$$\int_{\xi_{z_0}} \nabla s_w(z_0) = \lim_{z \rightarrow z_0} \frac{1}{z - z_0} \int_{\xi_{z_0}} u_z(z_0) - u_z(z_0) =$$

$$\lim_{z \rightarrow z_0} \frac{1}{z - z_0} \int_{[z_0, z]} \left(\int_{\Gamma} |S^n \times \{z'\} \alpha \right) dz' = \int_{\xi_{z_0}} \alpha|_{f^{-1}(z_0)} =$$

$$= \int_{\xi_{z_0}} s_\alpha(z_0). \quad (\text{Para cada gerador de } H_n(f_\epsilon^{-1}(z_0), \mathbb{Z})).$$

Conclui-se assim que $\nabla s_w = s_\alpha$.

4) Construção do operador ∇_f

Seja $\Omega^q_0 = \{\text{germes em } 0 \text{ de } q\text{-formas}\} =$
 $\{w = \sum_{\alpha} a_{\alpha} dz_{\alpha_1} \wedge \dots \wedge dz_{\alpha_q}, a_{\alpha} \in \mathcal{O}_0\}$ e denotemos por Ω^q_0 o
 $|\alpha| = q$
 complexo dos germes em 0 das formas holomorfas com o operador
 $d: \Omega^q_0 \rightarrow \Omega^{q+1}_0$ usual.

O complexo (local) relativo a f é definido tomando-se os módulos $\Omega^q_{f,0} = \Omega^q_0 / df \wedge \Omega^{q-1}_0$ com derivação $\bar{d}(\bar{w}) = \bar{d}w$ (bem definida pois $d(df \wedge \Omega^{q-1}_0) \subset df \wedge \Omega^q_0$) e os módulos de cohomologia relativa (local) $H^q(\Omega^q_{f,0}) = \text{Ker } \bar{d} / \text{Im } \bar{d}$. Malgrange em [Malgrange] prova que $H^q(\Omega^q_{f,0}) = 0$ para $1 \leq q \leq n-1$ mas isto não será usado aqui.

$$\text{Sejam } E = H^n(\Omega^n_{f,0}) = \frac{\{w \in \Omega^n_0 / \exists \eta \in \Omega^n_0, dw = df \wedge \eta\}}{df \wedge \Omega^{n-1}_0 + d\Omega^{n-1}_0}$$

e $F = \Omega^n_0 / df \wedge \Omega^{n-1}_0 + d\Omega^{n-1}_0$, $E \subset F$ possuem estrutura de \mathcal{O}_0 -módulo via composição por f .

Observe que a existência de $k \in \mathbb{N}$ tal que $m^k \subset (\delta f)$ (veja IV.4) implica que $f^k \in (\delta f)$. Portanto para toda $w \in \Omega^{n+1}_0$ existe $\xi \in \Omega^n_0$ tal que $f^k w = df \wedge \xi$ (verifique!). Desta forma $f^k \cdot F \subset E$ (F/E é de torção).

Teorema VI.2:

- (i) \mathcal{N}_0 é isomorfo (como \mathcal{O}_0 -módulo) a E [Brieskorn]
- (ii) E e F são \mathcal{O}_0 -módulos livres de posto μ ([Brieskorn] e [Sebastiani (3)]).

Se $\bar{w} \in E$ é representada por uma n-forma holomorfa w definida em uma vizinhança de 0 então existe uma n-forma η holomorfa em uma vizinhança de 0 tal que $dw = df \wedge \eta$. Definimos $\nabla_f: E \rightarrow F$ por $\nabla_f(\bar{w}) = \bar{\eta}$.

- a) ∇_f é \mathbb{C} -linear.
- b) $\nabla_f(\lambda \bar{w}) = \lambda' \bar{w} + \lambda \nabla_f(\bar{w})$.

Prova: Se w representa \bar{w} então $\lambda \bar{w}$ é representada por $(\lambda \circ f)w$ e $d((\lambda \circ f)w) = \lambda' \circ f \cdot df \wedge w + (\lambda \circ f)dw =$

$$= \lambda' \circ f \, df \wedge w + (\lambda \circ f)df \wedge \eta = df \wedge [(\lambda' \circ f)w + (\lambda \circ f)\eta] \quad \text{donde}$$

$$\nabla_f(\lambda \bar{w}) = \overline{(\lambda' \circ f)w + (\lambda \circ f)\eta} = \lambda' \cdot w + \lambda \bar{\eta} = \lambda' \cdot w + \nabla_f(w).$$

Desta forma escolhida uma base $\{w_1, \dots, w_\mu\}$ para E e escreven-

do $f^k \nabla_f(w_j) = \sum_{e=1}^{\mu} a_{ej}(f)w_e$ com $a_{ej} \in \mathbb{C}_0$ encontramos uma

matriz $(A_{ej}(z)) = \left(\frac{a_{ej}(z)}{z^k} \right)$ de coeficientes funções meromorfas que representa o operador ∇_f .

Denotando $A(z) = (A_{ej}(z))_{\substack{1 \leq e \leq \mu \\ 1 \leq j \leq \mu}}$ o sistema diferencial

$$Y'(z) = -A(z)Y(z) \quad \text{com} \quad Y(z) = \begin{pmatrix} y_1(z) \\ \vdots \\ y_\mu(z) \end{pmatrix} \quad \text{é chamado o}$$

sistema de Gauss-Manin da singularidade $f^{-1}(0)$ em 0 .

5) Relação entre ∇_f e ∇

Sejam w_1, \dots, w_μ n-formas holomorfas definidas em $f^{-1}(U)$, U aberto contendo 0 , tais que $dw_j = df \wedge \alpha_j$ e que os germes de w_j em 0 representam uma base de E . Então $\{w_1, \dots, w_\mu\}$ é uma base de $\mathbb{H}|_U$ como \mathcal{O}_D -módulo.

$$\text{Então } \nabla_f w_j = \alpha_j = \sum_{e=1}^{\mu} \frac{\alpha_{ej}(f)}{f^k} \cdot w_e = \sum_{e=1}^{\mu} A_{ej}(f) \cdot w_e.$$

Se $V \subset U$ é um aberto em D^* o Teorema VI.1 nos garante que $\{s_{w_1}, \dots, s_{w_\mu}\}$ é uma base de seções holomorfas de $H^n(f)|_V$.

$$\text{Além disso } \nabla s_{w_j} = s_{\alpha_j} = \sum_{e=1}^{\mu} A_{ej}(f) \cdot s_{w_e}.$$

Seja $\{\varphi_1, \dots, \varphi_\mu\}$ base de soluções do sistema de Gauss-Manin $Y' = -AY$ e definamos a seção $S = \sum_{j=1}^{\mu} \varphi_j s_{w_j}$ em V .

$$\begin{aligned} \text{Então } \nabla(s) &= \nabla\left(\sum_{j=1}^{\mu} \varphi_j s_{w_j}\right) = \sum_{j=1}^{\mu} \varphi'_j s_{w_j} + \varphi_j \nabla s_{w_j} = \\ &= \sum_{j=1}^{\mu} \varphi'_j s_{w_j} + \sum_{j=1}^{\mu} \varphi_j \sum_{e=1}^{\mu} A_{ej}(f) s_{w_e} = \\ &= \sum_j [\varphi'_j + \sum_e A_{je} \varphi_e] s_{w_j} = 0. \end{aligned}$$

Portanto s é uma seção horizontal de $H^n(f)|_V$. Escolhida uma base de E as soluções do sistema de Gauss-Manin nos dão seções horizontais para $H^n(f)$ portanto a monodromia de f em 0 é igual à monodromia do sistema de Gauss-Manin.

6) O Sistema de Gauss-Manin:

Vimos que para se conhecer a monodromia de f é preciso estudar uma equação diferencial linear do tipo

$$(VI.6.1) \quad Y'(z) = A(z)Y(z) \quad \text{onde} \quad Y = \begin{pmatrix} y_1 \\ \vdots \\ y_\mu \end{pmatrix} \quad \text{e} \quad A(z) \quad \text{é}$$

uma matriz $\mu \times \mu$ com entradas funções holomorfas em D_η^* com η suficientemente pequeno.

É bem conhecido (vide [Foster] ou [Coddington-Levinson]) que para cada ponto $z \in D^*$ o conjunto de soluções de (VI.6) em uma vizinhança U de z simplesmente conexa, forma um espaço vetorial de dimensão μ (sobre \mathbb{C}) e que uma base $\varphi_1, \dots, \varphi_\mu$ de soluções define uma matriz $\Phi = (\varphi_1, \dots, \varphi_\mu) \in GL(\mu, \mathbb{C}(U))$, Φ é uma matriz fundamental do sistema (VI.6.1).

Seja $p: \tilde{X} \rightarrow D^*$ o recobrimento universal de D^* , $\tilde{X} = \{(r, \theta) \mid 0 < r < \eta, -\infty < \theta < \infty\}$, $p(r, \theta) = re^{i\theta}$. Podemos considerar o sistema (IV.6.1) definido em \tilde{X}

$$(VI.6.2) \quad \tilde{Y}'(\tilde{z}) = A \circ p(\tilde{z})\tilde{Y}(\tilde{z}), \quad \tilde{z} = (r, \theta)$$

Como \tilde{X} é simplesmente conexo obtemos um espaço μ -dimensional de soluções globalmente definidas. Se $\tilde{\Phi}(\tilde{z})$ é uma matriz fundamental para o sistema (VI.6.2) e se $\sigma: \tilde{X} \rightarrow \tilde{X}$ é um elemento de $\text{Aut}(\tilde{X}) \simeq \mathbb{Z}$ então $\sigma.\tilde{\Phi} = \tilde{\Phi} \circ \sigma^{-1}$ também é uma matriz fundamental para (VI.6.2). Logo existe uma matriz $T_\sigma \in GL(\mu, \mathbb{C})$ tal que $\sigma.\tilde{\Phi} = \tilde{\Phi}.T_\sigma$.

Em particular tomando $\sigma_0(r, \theta) = (r, \theta + 2\pi)$ gerador de $\text{Aut}(\tilde{X})$ teremos uma matriz $C = T_{\sigma_0}$.

Sejam $P \in \text{GL}(n, \mathbb{C})$ tal que $C = \exp(2\pi i P)$ e $S(\tilde{z}) = \tilde{\Phi}(\tilde{z}) \cdot \exp(-P \text{Log} \tilde{z})$ (matriz de funções holomorfas em \tilde{X} portanto de funções plurívocas em D^*).

Então

$$\begin{aligned} \sigma_0 S(\tilde{z}) &= \sigma_0 \tilde{\Phi}(\tilde{z}) \exp[-P(\text{Log} \tilde{z} + 2\pi i)] = \\ &= \tilde{\Phi}(\tilde{z}) \cdot C \exp[-P(\text{Log} \tilde{z} + 2\pi i)] = \\ &= \tilde{\Phi}(\tilde{z}) \cdot \exp(2\pi i P) \cdot \exp(-P 2\pi i) \exp(-P \text{Log} \tilde{z}) \end{aligned}$$

isto é $\sigma_0 S(\tilde{z}) = S(\tilde{z})$. Isto significa que S é de fato uma matriz de funções unívocas, isto é, uma matriz de funções holomorfas em D^* . Concluímos assim que existe uma matriz fundamental para o sistema (VI.6.2) da forma $\tilde{\Phi}(\tilde{z}) = S(z) \cdot \exp(P \text{Log} \tilde{z})$.

Soluções locais para (VI.6.1) serão obtidas escolhendo determinações para $\text{Log} \tilde{z}$ (seções de $p: \tilde{X} \rightarrow D^*$) de modo que em cada aberto conexo teremos uma matriz fundamental $\tilde{\Phi}(z) = S(z) \exp(P \text{Log} z)$.

Vemos também que $C = \exp(2\pi i P)$ é uma matriz de monodromia para o sistema (VI.6.1).

Definição VI.4: Dizemos que 0 é uma singularidade regular do sistema (VI.6.1) se a matriz fundamental se escreve

$\tilde{\Phi}(\tilde{z}) = S(z) \exp(P \text{Log} \tilde{z})$ com $S(z)$ possuindo no máximo um pólo na origem.

Definição VI.5: Dois sistemas $Y' = A(z)Y$ e $W' = B(z)W$ são semelhantes se existe uma matriz $P \in GL(\mu, K)$ cujas entradas são funções meromorfas tal que $B(z) = -P'(z) \cdot P(z)^{-1} + P(z)A(z)P(z)^{-1}$.

Observações: Se um sistema $Y' = A(z)Y$ é semelhante a um sistema $W' = B(z)W$ que possui uma singularidade regular em 0 então $Y' = A(z)Y$ também possui uma singularidade regular em 0.

Prova: Seja $P(z)$ matriz de funções meromorfas tal que

$$B(z) = -P'(z)P(z)^{-1} + P(z)A(z)P(z)^{-1}.$$

Então se $\mathfrak{z}(z) = S(z) \exp(P \operatorname{Log} \bar{z})$ é matriz fundamental para o sistema $W' = B(z)W$ então $P(z)\mathfrak{z}(z)$ é matriz fundamental para o sistema $Y' = A(z)Y$.

Como $P(z)$ é constituída de funções no máximo meromorfas então $P(z)S(z)$ possui no máximo um pólo na origem.

Exemplos de equações diferenciais com singularidades regulares são bastante conhecidos na teoria clássica, sugerimos que o leitor consulte [Coddington-Levinson] ou [Whittaker Watson]; muitos deles provém de equações lineares de ordem n .

Em [Coddington e Levinson], capítulo 4 seção 5 encontra-se a seguinte caracterização:

Teorema VI.3: Uma equação diferencial

$$y^{(m)} + a_1(z)y^{(m-1)} + \dots + a_m(z)y = 0$$

com $a_k(z)$ holomorfa em $\{z / 0 < |z| < \delta\}$ para $k = 0, \dots, m$, possui singularidade regular em 0 se e somente se

$$a_k(z) = z^{-k} b_k(z) \quad (k = 1, \dots, m) \quad \text{onde } b_k \text{ é holomorfa em } z.$$

Observe que o sistema associado à equação acima obtém-se fazendo,

$$y_1 = y, \quad y_2 = y', \quad y_3 = y^{(2)}, \dots, y_m = y^{(m-1)}$$

de modo que

$$\begin{pmatrix} y_1' \\ y_2' \\ \vdots \\ y_m' \end{pmatrix} = \begin{pmatrix} 0 & 1 & \dots & \dots & 0 \\ 0 & 0 & 1 & \dots & 0 \\ & & & \ddots & \\ 0 & 0 & \dots & \dots & 1 \\ -a_m(z) & -a_{m-1}(z) & \dots & \dots & -a_1(z) \end{pmatrix} \cdot \begin{pmatrix} y_1 \\ y_2 \\ \vdots \\ y_m \end{pmatrix}$$

que denotaremos por $Y' = B(z)Y$. Este sistema é semelhante através da mudança $W = M(z)Y$ onde

$$M(z) = \begin{pmatrix} 1 & & & & \\ & z & & & 0 \\ & & z^2 & & \\ & & & \ddots & \\ 0 & & & & z^{m-1} \end{pmatrix} \quad \text{ao sistema}$$

$$W' = A(z)W \quad \text{onde} \quad zA(z) = \begin{pmatrix} 0 & 1 & 0 & 0 \\ 0 & 1 & 1 & \vdots \\ \vdots & 0 & 2 & \vdots \\ \vdots & \vdots & 0 & \vdots \\ \vdots & \vdots & \vdots & 1 \\ -b_m(z) & -b_{m-1}(z) & -b_{m-2}(z) & \dots (m-1)-b_1(z) \end{pmatrix}$$

isto é $A(z)$ possui um pólo simples em 0. Para este sistema prova-se como em [Coddington-Levinson] pg. 112 que uma matriz fundamental $\varphi(z) = S(z) \exp(P \text{Log } z)$ é tal que $z^e S(z)$ é cotada de modo que $S(z)$ é constituída de funções no máximo meromorfas.

A importância desta caracterização para os sistemas que estamos tratando está expressa pelo seguinte teorema de Deligne

Teorema VI.4: Todo sistema diferencial $Y' = A(z)Y, Y \in (\mathbb{C}_U)^m, U \subset D^*$ é semelhante a um sistema associado a uma equação diferencial de ordem m .

Demonstração: Reproduzimos aqui a prova que é dada em [Ramis] pg. 57-59. O Teorema de Deligne é válido em contexto bem mais geral (vide [Deligne]). Se $\Lambda = (\lambda_1, \dots, \lambda_m) \in \mathbb{C}[z]^m$ é uma m -upla de polinômios complexos na variável z definimos $\Lambda_0 = \Lambda$, $\Lambda_{j+1}(z) = \frac{d}{dz} \Lambda_j(z) + \Lambda_j(z).A(z) \quad j = 0, \dots, m-1$.

$$\text{Sejam } B_m = \begin{pmatrix} \Lambda_0 \\ \Lambda_1 \\ \vdots \\ \Lambda_{m-1} \end{pmatrix} \quad \text{e} \quad B_0 = \begin{pmatrix} \Lambda_1 \\ \Lambda_2 \\ \vdots \\ \Lambda_m \end{pmatrix}$$

matrizes $m \times m$, com coeficientes em $\mathbb{C}[z]$, então

$B_0 = \frac{d}{dz} B_m + B_m A$. Provaremos que para uma escolha conveniente de A existe uma matriz

$$C(z) = \begin{pmatrix} 0 & 1 & 0 & 0 \\ 0 & 0 & 1 & 0 \\ 0 & \dots & \dots & 1 \\ -a_0(z) & -a_1(z) & \dots & -a_{m-1}(z) \end{pmatrix}$$

tal que $a_j(z)$ é holomorfa para $0 < |z| < \delta$ e $B_0 = CB_m$ de modo que se $M(z) = B_m(z)^{-1}$ então

$$C(z) = B_0(z)B_m(z)^{-1} = \frac{d}{dz} B_m(z)B_m(z)^{-1} + B_m(z)A(z)B_m(z)$$

ou

$$C(z) = -\frac{d}{dz} M(z)M(z)^{-1} + M(z)A(z)M(z)^{-1},$$

como queríamos.

Escrevendo $B_0 = CB_m$

$$\begin{pmatrix} \Lambda_1 \\ \Lambda_2 \\ \vdots \\ \Lambda_m \end{pmatrix} = \begin{pmatrix} 0 & 1 & 0 & \dots & 0 \\ 0 & 0 & 1 & \dots & 0 \\ \dots & \dots & \dots & \dots & \dots \\ -a_0 & -a_1 & \dots & \dots & -a_{m-1} \end{pmatrix} \begin{pmatrix} \Lambda_0 \\ \Lambda_1 \\ \vdots \\ \Lambda_{m-1} \end{pmatrix}$$

obtemos a seguinte equação nas incógnitas $-(a_0, a_1, \dots, a_{m-1})$:

$$\Lambda_m^t = \begin{pmatrix} \Lambda_{m1} \\ \vdots \\ \Lambda_{mm} \end{pmatrix} = -B_m^t \cdot \begin{pmatrix} a_0 \\ a_1 \\ \vdots \\ a_{m-1} \end{pmatrix}$$

De modo que se $b_m = (-1)^m \det B_m$ não é identicamente nulo então

$$a_0 = \frac{\det[\Lambda_m \Lambda_1 \dots \Lambda_{m-1}]}{b_m}$$

$$a_1 = \frac{\det(\Lambda_0 \Lambda_m \Lambda_2, \dots, \Lambda_{m-1})}{b_m}, \dots, a_{m-1} = \frac{\det(\Lambda_0, \dots, \Lambda_{m-2} \Lambda_m)}{b_m}$$

são funções holomorfas para $0 < |z| < \delta$, δ suficientemente pequeno e a matriz $M(z) = B_m(z)^{-1}$ possui entradas funções meromorfas.

Vamos ver agora como podemos escolher Λ .

Escrevendo

$$B_m = \begin{pmatrix} \Lambda \\ \Lambda' + \Lambda.A \\ \Lambda'' + \Lambda'.A + \Lambda'.A' + \Lambda'.A + \Lambda.A^2 \\ \dots \\ \Lambda^{(m)} + \Lambda^{(m-1)}.A + \dots + \Lambda.A^{m-1} \end{pmatrix}$$

vemos que as linhas de B_m dependem algébricamente de A e de suas derivadas até ordem $m-1$.

A existência de Λ é obtida no seguinte

Lema VI.1: Seja

$$B(z)_{m \times m} = \begin{pmatrix} \Lambda \\ \Lambda' + \Lambda^{\varphi_{20}} \\ \Lambda'' + \Lambda' \varphi_{31} + \varphi_{30} \\ \dots \\ \Lambda^{(m)} + \Lambda^{(m-1)} \varphi_{m+1, m-1} + \dots + \Lambda \varphi_{m+1, 0} \end{pmatrix}$$

onde $\Lambda \in \mathbb{C}[x]^m$ e φ_{ij} são matrizes $m \times m$ com coeficientes funções algébricas de A , $\frac{dA}{dz}, \dots, \frac{d^{m-1}A}{dz^{m-1}}$. Suponhamos que as entradas de A sejam funções holomorfas em $D^* = \{0 < |z| < \delta\}$. Então, dados $z_0 \in D^*$ e L uma matriz $m \times m$ existe um único $\Lambda = (\lambda_1, \dots, \lambda_n) \in \mathbb{C}[x]^m$ com cada λ_j polinômio de grau $\leq m$ tal que $B_m(z_0) = L$.

Demonstração: Escreva $L = (l_{ij})$ e $l_i = (l_{i1}, \dots, l_{im})$

$B(z_0) = L$ equivale a $\Lambda(z_0) = l_1$

$$\Lambda'(z_0) = l_2 - \Lambda(z_0)^{\sharp} {}_{20}(z_0)$$

$$\Lambda''(z_0) = l_3 - \Lambda'(z_0)^{\sharp} {}_{31}(z_0) - \Lambda(z_0)^{\sharp} {}_{30}(z_0)$$

etc.... Portanto consideradas como equações em $\Lambda(z_0), \Lambda'(z_0), \dots$ obtemos uma solução única de modo que os polinômios λ_i vistos como polinômios de Taylor desenvolvidos no ponto z_0 são determinados por estas condições. ■

Finalizamos enunciando a propriedade fundamental dos sistemas de Gauss-Manin:

Teorema VI.5: [Brieskorn] O sistema de Gauss-Manin possui uma singularidade regular em 0.

Para um detalhamento da prova deste Teorema dada por Malgrange e de suas consequências sugerimos a leitura de [Brasselet] e [Malgrange].

APÊNDICE I

ALGUNS RESULTADOS BÁSICOS SOBRE CONJUNTOS ALGÉBRICOS

No que segue K denota o corpo \mathbb{R} ou \mathbb{C} .

Definição 1:

Um subconjunto $V \subseteq K^m$ é dito algébrico se V é o lugar dos zeros comuns a alguma coleção de polinômios em $K[x_1, \dots, x_m]$.

A definição acima não é a mais geral, porém vamos nos ater a ela.

Sabemos, pelo teorema da base de Hilbert, que qualquer ideal em $K[x_1, \dots, x_m]$ é finitamente gerado desde que visto como $K[x_1, \dots, x_m]$ -módulo. Denotaremos por $I(V)$ ao ideal de $K[x_1, \dots, x_m]$ formado pelos polinômios que se anulam em V . É consequência do teorema da base que uma cadeia descendente de conjuntos algébricos $V_1 \supset V_2 \supset V_3 \supset \dots$ é estacionária, ou seja, existe i tal que $V_i = V_{i+1} = \dots$ (exercício).

Um conjunto algébrico V é dito irredutível se não puder ser expresso como a união de dois subconjuntos algébricos próprios (note que a união $V \cup V'$ de dois conjuntos algébricos é um conjunto algébrico). A irredutibilidade de V fica caracterizada pelo fato de que $I(V)$ seja primo.

Sejam $V \subset K^m$ um conjunto algébrico e f_1, \dots, f_k geradores do ideal de V .

Definição 2:

Um ponto $x \in V$ é dito regular se

$$\text{posto}\left(\frac{\partial f_i}{\partial x_j}(x)\right) = \max_{p \in V} \text{posto}\left(\frac{\partial f_i}{\partial x_j}(p)\right) \text{ e } \underline{\text{singular caso}}$$

$$\text{posto}\left(\frac{\partial f_i}{\partial x_j}(x)\right) < \max_{p \in V} \text{posto}\left(\frac{\partial f_i}{\partial x_j}(p)\right)$$

$$i = 1, \dots, k; \quad j = 1, \dots, m.$$

Note que a definição acima não depende da escolha dos geradores de $I(V)$, uma vez que introduzir $g \in I(V)$ não altera o posto já que $g = g_1 f_1 + \dots + g_k f_k$.

Ponha $n = \max_{p \in V} \text{posto}\left(\frac{\partial f_i}{\partial x_j}(p)\right)$ e seja $\Sigma(V)$ o conjunto dos pontos singulares de V . Então $\Sigma(V)$ é um subconjunto algébrico próprio de V . De fato, se $x \in \Sigma(V)$ então os determinantes de todos os menores $n \times n$ da matriz $\left(\frac{\partial f_i}{\partial x_j}\right)$ se anulam em x , ou seja, $\Sigma(V)$ é determinado por equações polinomiais. Note que $\Sigma(V)$ pode ser vazio.

Suponha agora que V é irredutível e seja $V^* = V - \Sigma(V)$ o conjunto de pontos regulares de V . Dado $x \in V^*$ esta é, numa vizinhança de x , uma variedade analítica (real ou complexa) de dimensão $m - n$ (exercício).

Definição 3:

A dimensão de V é a dimensão da variedade V^* , isto é, $\dim V = m-n$.

Proposição 4:

Seja $V \subset K^m$ um conjunto algébrico irredutível e $W \subset V$ um subconjunto algébrico próprio. Então $\dim W < \dim V$.

Demonstração:

Note que de $W \subset V$ temos $I(W) \supsetneq I(V)$. Suponha que $\dim W = \dim V$. Então, se $x \in W^*$ forçosamente $x \in V^*$. Logo, dado $g \in I(W)$ este se anula numa vizinhança de x em V^* e portanto se anula em V (g analítica!) e daí $I(W) \subset I(V)$.

Lema 5:

Se $V \subset K^m$ é um conjunto algébrico então V se expressa como uma união finita disjunta

$$V = M_1 \cup \dots \cup M_k$$

onde M_i é uma variedade analítica.

Demonstração:

A cadeia descendente $V \supset \Sigma(V) \supset \Sigma(\Sigma(V)) \supset \dots$ é estacionária. Logo, fazendo $M_1 = V^* = V - \Sigma(V)$, $M_2 = \Sigma(V) - \Sigma(\Sigma(V))$ e assim sucessivamente, obtemos o resultado.

O resultado central desse apêndice é o seguinte

Teorema 6: (Whitney, (2))

Sejam $W \subset V \subset \mathbb{K}^m$ conjuntos algébricos. A diferença $V - W$ tem no máximo um número finito de componentes topológicas.

Demonstração:

De acordo com o lema 5, V se expressa como

$$V = M_1 \cup \dots \cup M_k \quad \text{onde} \quad M = V - \Sigma(V),$$

$M_2 = \Sigma(V) - \Sigma(\Sigma(V))$ assim sucessivamente. Notando $V_2 = \Sigma(V)$, $V_3 = \Sigma(\Sigma(V))$ e assim por diante, temos que $V - W = (M_1 - W) \cup \dots \cup (M_k - W)$ onde $M_i - W = V_i - (\Sigma(V_i) \cup W)$. Basta mostrar então que

Proposição 7:

Se V é um conjunto algébrico real e se $W \subset V$ é um subconjunto algébrico que contém $\Sigma(V)$, então $V - W$ tem o tipo de homotopia de um CW-complexo finito. (Basta considerar o caso real pois um conjunto algébrico $V \subset \mathbb{C}^m$ pode ser visto como um conjunto algébrico em \mathbb{R}^{2m}).

Demonstração de 7:

Necessitaremos alguns resultados auxiliares.

Sejam $V \subset \mathbb{R}^m$ um conjunto algébrico e f_1, \dots, f_m elementos de $I(V)$.

Lema 8:

Se a matriz $(\frac{\partial f_i}{\partial x_j})$ é não-singular no ponto $x_0 \in V$ então $V - \{x_0\}$ é um conjunto algébrico (ou seja, x_0 é um ponto isolado de V).

Demonstração de 8:

Suponha $x_0 = 0$. Como os f_j se anulam em 0, existem polinômios g_{jk} tais que $f_j = x_1 g_{j1} + \dots + x_m g_{jm}$. Seja W o conjunto algébrico formado pelos pontos $x \in V$ tais que $\det(g_{jk}(x)) = 0$. Se $x \in V - \{0\}$ então a relação

$$\begin{pmatrix} g_{11}(x) \\ \vdots \\ g_{m1}(x) \end{pmatrix} x_1 + \dots + \begin{pmatrix} g_{1m}(x) \\ \vdots \\ g_{mm}(x) \end{pmatrix} x_m = \begin{pmatrix} 0 \\ \vdots \\ 0 \end{pmatrix}$$

mostra que $x \in W$. Por outro lado, $0 \notin W$ pois

$$\det(g_{jk}(0)) = \det\left(\frac{\partial f_j}{\partial x_k}(0)\right) \neq 0. \text{ Logo, } W = V - \{0\} \text{ é algébrico.}$$

Lema 9:

Se um conjunto algébrico $V \subset \mathbb{R}^m$ tem dimensão topológica 0, então V é um conjunto finito.

Demonstração de 9:

Sejam f_1, \dots, f_k os geradores de $I(V)$. Mostraremos que se V é algébrico e $\dim V = 0$ então existe pelo menos um

ponto $x_0 \in V$ no qual a matriz $(\frac{\partial f_i}{\partial x_j}(x_0))$ tem posto m . Isto feito, o lema 8 garante que $V_1 = V - \{x_0\}$ é algébrico. Repetindo o argumento para V_1 obtemos $V_2 = V_1 - \{x_1\}$ e assim sucessivamente, o que fornece uma cadeia descendente $V \supset V_1 \supset V_2 \supset \dots$ que é estacionária, mostrando que V é finito.

Suponha então que $\max_{p \in V} \text{posto}(\frac{\partial f_i}{\partial x_j}(p)) = n \leq m-1$. Então, V^* é uma variedade de dimensão $m-n \geq 1$, contradizendo o fato de que a dimensão topológica de V é zero.

Lema 10:

Sejam $V \subset K^m$ um conjunto algébrico, V^* o conjunto de pontos regulares de V , f_1, \dots, f_k geradores de $I(V)$, $n = \dim_K V^*$ e $g \in K[x_1, \dots, x_m]$. O conjunto de pontos críticos de $g|_{V^*}: V^* \rightarrow K$ é dado pela interseção $V^* \cap W$ onde W é o conjunto algébrico formado pelos pontos $x \in V$ nos quais a matriz

$$\begin{pmatrix} \frac{\partial g}{\partial x_1} & \dots & \frac{\partial g}{\partial x_m} \\ \frac{\partial f_1}{\partial x_1} & \dots & \frac{\partial f_1}{\partial x_m} \\ \vdots & & \vdots \\ \frac{\partial f_k}{\partial x_1} & \dots & \frac{\partial f_k}{\partial x_m} \end{pmatrix}$$

tem posto menor que ou igual a n .

Demonstração de 10:

Dado $p \in V^*$, escolha um sistema de coordenadas locais u_1, \dots, u_m em torno de p de tal modo que V^* seja dada por $u_1 = \dots = u_n = 0$. Nesse sistema de coordenadas $\frac{\partial f_i}{\partial u_j} = 0$ para $j \geq n+1$ e como a matriz $(\frac{\partial f_i}{\partial u_j})$ é coluna-equivalente à matriz $(\frac{\partial f_i}{\partial x_j})$ e esta tem posto n em p concluímos que as n primeiras colunas de $(\frac{\partial f_i}{\partial u_j})$ são linearmente independentes. Daí segue que a matriz aumentada

$$\left(\begin{array}{cccc} \frac{\partial g}{\partial u_1} & \dots & \dots & \frac{\partial g}{\partial u_m} \\ \frac{\partial f_1}{\partial u_1} & \dots & \dots & \frac{\partial f_1}{\partial u_m} \\ \vdots & & & \\ \vdots & & & \\ \frac{\partial f_k}{\partial u_1} & \dots & \dots & \frac{\partial f_k}{\partial u_m} \end{array} \right)$$

tem posto n se e só se $\frac{\partial g}{\partial u_{n+1}} = \dots = \frac{\partial g}{\partial u_m} = 0$, ou seja, se p é ponto crítico de $g|_{V^*}$. Como essa matriz é coluna-equivalente à matriz do enunciado, o resultado segue.

A conclusão da demonstração de 7 será obtida pela

Proposição 11:

Um conjunto algébrico não-singular $V \subset \mathbb{R}^m$ tem o tipo de homotopia de um CW-complexo finito.

Demonstração de 11:

Aqui usaremos um resultado de Andreotti e Frankel (veja [Andreotti e Frankel]).

Dado $a \in \mathbb{R}^m$ defina a função distância ao quadrado $r_a: V \rightarrow \mathbb{R}$, $r_a(x) = |x-a|^2$. Andreotti e Frankel mostraram que, para quase todo $a \in \mathbb{R}^m$, a função r_a possui apenas pontos críticos não-degenerados. Seja $\Sigma(r_a)$ o conjunto dos pontos críticos de r_a . Como V é não-singular, $\Sigma(r_a)$ é um subconjunto algébrico (por 10) e como um ponto crítico não-degenerado é isolado, $\Sigma(r_a)$ é finito (por 9). Agora, o teorema fundamental da teoria de Morse [Milnor (3)], 3.5) diz que a variedade V tem o tipo de homotopia de um CW-complexo obtido pela adjunção de uma célula para cada ponto crítico da função r_a , uma vez que esta é própria e não-negativa. Como $\Sigma(r_a)$ é finito, o resultado segue.

Finalmente estamos em condições de demonstrar 7.

Suponha W definido por $f_1 = \dots = f_k = 0$ e considere a função $q(x) = f_1(x)^2 + \dots + f_k(x)^2$. Esta também define W (note que esse argumento só é válido sobre \mathbb{R}).

Considere o conjunto algébrico $U \subset V \times \mathbb{R} \subset \mathbb{R}^{m+1}$ definido por $U = \{(x,y) \in V \times \mathbb{R} : q(x) \cdot y = 1\}$. U é certamente não singular uma vez que $W \supset \Sigma(V)$ e q define W . Além disso, U é homeomorfo a $V - W$ através de $\pi: U \rightarrow V - W$, $\pi(x,y) = x$. A proposição 11 nos garante então que $V - W$ tem o tipo de homotopia de um CW-complexo finito, concluindo a demonstração do teorema de Whitney.

Após 6, podemos melhorar o enunciado de 5 como segue:

Corolário 12:

Um conjunto algébrico $V \subset K^m$ se expressa como uma união finita disjunta $V = M_1 \cup \dots \cup M_k$ onde M_i é uma variedade analítica que possui no máximo um número finito de componentes topológicas. Análogamente, o mesmo ocorre com uma diferença $V - W$ de conjuntos algébricos.

Encerramos com um resultado que se mostrou útil na demonstração de II.1.

Proposição 13:

Seja $V \subset K^m$ um conjunto algébrico. Uma função polinomial $g|_{V^*}: V^* \rightarrow K$ tem no máximo um número finito de valores críticos.

Demonstração:

O conjunto de pontos críticos de $g|_{V^*}$ pode ser expresso, pelo lema 10, como uma diferença de conjuntos algébricos $W - \Sigma(V)$ e portanto, pelo corolário 12, como uma união finita disjunta $W - \Sigma(V) = M_1 \cup \dots \cup M_k$ de variedades analíticas possuindo um número finito de componentes topológicas. Dado $x \in M_i$, este é ponto crítico de $g|_{V^*}$ e portanto é também ponto crítico de $g|_{M_i}$. Como os pontos de M_i são todos pontos críticos de $g|_{V^*}$, g é constante ao longo de cada componente conexa de M_i e portanto $g(M_i)$ é um conjunto finito. Agora, a união $g(M_1) \cup \dots \cup g(M_k)$ é o conjunto de valores críticos de $g|_{V^*}$.

APÊNDICE II

LEMA DE SELEÇÃO DA CURVA

Teorema (Bruhat e Cartan)

Sejam $V \subset \mathbb{R}^m$ um conjunto algébrico e $U \subset \mathbb{R}^m$ um aberto semi-algébrico ou seja $U = \{x \in \mathbb{R}^m \mid g_1(x) > 0, \dots, g_t(x) > 0\}$ para $g_j(x)$ polinômios real $j = 1, \dots, t$.

Se $0 \in \overline{U \cap V}$ então existe uma curva $p: [0, \varepsilon) \rightarrow \mathbb{R}^m$ analítica tal que $p(0) = 0$ e $p(t) \in U \cap V$ para $0 < t < \varepsilon$.

Demonstração [Milnor]

1) Redução ao caso $\dim V = 1$,

Suponhamos que $\dim V \geq 2$, provaremos primeiramente que existe $V_1 \subset V$ subconjunto algébrico próprio tal que $0 \in \overline{U \cap V_1}$.

Podemos supor que:

a) V é irredutível (caso contrário tomaríamos $V_1 = A$ uma das componentes irredutíveis de V para a qual $0 \in \overline{U \cap A}$).

b) Existe vizinhança D de 0 em \mathbb{R}^m tal que $D \cap U \cap \Sigma(V) = \emptyset$ (caso contrário, tomamos $V_1 = \Sigma(V)$).

c) V não está contido em um hiperplano próprio de \mathbb{R}^m .

Seja $\{f_1, \dots, f_k\}$ conjunto gerador do ideal de V , $I(V)$. Então $\dim V = m - \rho$ onde ρ é o posto máximo possível da matriz

$$[df_1(x), \dots, df_k(x)] \quad \text{com } x \in V \quad \text{e}$$

$$\Sigma(V) = \{x \in V \mid \text{posto } [df_1(x), \dots, df_k(x)] < \rho\}$$

Por hipótese existe esferas S_ϵ centradas em 0 e de raio ϵ arbitrariamente pequeno que contém pontos de $U \cap V$.

Pela Proposição II.1 e b) segue que se ϵ for suficientemente pequeno S_ϵ é transversal a V de modo que $S_\epsilon \cap V \cap U \neq \emptyset$ é uma subvariedade de dimensão $m - \rho - 1$ e $\text{posto } [df_1(x) \dots df_k(x) dr(x)] = \rho + 1$ para todo $x \in S_\epsilon \cap U \cap V$ onde $r(x) = \|x\|^2$.

Seja $g = g_1 \dots g_l$ e considere $g|_{V \cap S_\epsilon}$. Para todo $x \in S_\epsilon \cap U \cap V$ temos $g(x) > 0$. De modo que se $x' \in V \cap S_\epsilon$ é um ponto de máximo de $g|_{S_\epsilon \cap V}$ (compacto) então $g(x') \geq g(x) > 0$ isto é $x' \in S_\epsilon \cap U \cap V$.

Mas como x' é ponto crítico de $g|_{V \cap S_\epsilon}$ então

$$\text{posto}[df_1(x'), \dots, df_k(x') dr(x') dg(x')] \leq \rho + 1.$$

Concluímos então que arbitrariamente próximo de 0 existem pontos da interseção $V' \cap U$ onde V' é subconjunto algébrico definido por

$$V' = \{x \in V \mid \text{posto}[df_1(x), \dots, df_k(x) dr(x) dg(x)] \leq \rho + 1\}. \quad \text{De}$$

maneira que se V' for um subconjunto próprio de V então podemos tomar $V_1 = V'$. Suponhamos que $V' = V$, iremos aplicar o mesmo raciocínio para uma outra função conveniente.

Observe que se arbitrariamente próximo de 0 existem pontos de $U \cap V \cap \{x_i = 0\}$ onde $\{x_1, \dots, x_m\}$ são coordenadas de \mathbb{R}^m então $A_1 = V \cap \{x_i = 0\}$ é um subconjunto algébrico próprio de V (pela hipótese c) de modo que podemos tomar $V_1 = A_1$.

Podemos assim supor que existe uma vizinhança D' de 0 tal que $D' \cap U \cap V \cap \{x_i = 0\} = \emptyset$ para $i = 1, \dots, m$.

Considere a função $x_1^2 g|_{V \cap S_\epsilon}$ com ϵ escolhido adequadamente. Se x' é ponto de máximo de $x_1^2 g|_{V \cap S_\epsilon}$ então

$$x_1'^2 g(x') \geq x_1^2 g(x) > 0 \text{ donde } x' \in V \cap S_\epsilon \cap U.$$

Novamente, como x' é ponto crítico de $x_1^2 g$ então

$$\text{posto}[df_1(x'), \dots, df_k(x') \text{ dr}(x') d(x_1^2 g)(x')] \leq \rho + 1$$

Portanto

$$\tilde{V}_1 = \{x \in V / \text{posto}[df_1(x), \dots, df_k(x) \text{ dr}(x) d(x_1^2 g)(x)] \leq \rho + 1\}$$

é um subconjunto algébrico que contém pontos de U arbitrariamente próximos de 0 . Se $\tilde{V}_1 \neq V$ podemos tomar $V_1 = \tilde{V}_1$.

Caso contrário temos:

$$V = V' = \tilde{V}_1 = \dots = \tilde{V}_m \text{ e para } x \in U \cap V \text{ suficientemente}$$

próximo de zero tal que

$$\text{posto}[df_1(x), \dots, df_k(x)dr(x)] = \rho + 1 \quad \text{temos:}$$

$dg(x)$ pertence ao espaço gerado por $[df_1(x), \dots, df_k(x)dr(x)]$ ($V^{-1}=V$)

e $d(x_i^2g)(x)$ também pertence a este espaço (pois $\tilde{V}_i = V$).

Mas $d(x_i^2g)(x) = 2x_i g(x)dx_i(x) + x_i^2 dg(x)$ e como $x_i \neq 0$

$g(x) > 0$ obtemos que $\{df_1(x), \dots, df_k(x), dr(x)\}$ gera todo o espaço das diferenciais em x ($= \text{Hom}(\mathbb{R}^m, \mathbb{R})$). Logo

$$m = \text{posto}[df_1(x), \dots, df_k(x)dr(x)] = \rho + 1 \quad \text{ou seja} \quad \dim V = 1.$$

2) Descrição local de subconjuntos algébricos de dimensão 1

Seja x_0 um ponto não isolado de um subconjunto algébrico $V \subset \mathbb{R}^m$ de dimensão 1. Então existe uma vizinhança U de x_0 em \mathbb{R}^m tal que

$$V \cap U = \bigcup_{i=1}^r R_i \quad \text{onde} \quad \bigcap_{j=1}^r R_j = x_0$$

cada R_i (ramo) é homeomorfo a um intervalo real e pode ser parametrizado por uma série $p(t) = x_0 + \left(\sum_{j=1}^{\infty} a_{j1} t^j, \dots, \sum_{j=1}^{\infty} a_{jm} t^j \right)$ convergente para $|t| < \epsilon$.

Demonstração:

Para o caso complexo esta é a descrição dos ramos de uma curva complexa em \mathbb{C}^m [veja Kendig] onde de fato obtem-se uma parametrização de cada ramo da forma

$p(z) = x^0 + (z^n, \sum_{j=1}^n a_{j1} z^j, \dots, \sum_{j=1}^n a_{jm} z^j)$. (Se V não está contida em algum hiperplano $z_k = 0$).

No caso real, seja $V_{\mathbb{C}}$ fecho complexo de V em \mathbb{C}^m isto é o menor subconjunto algébrico de \mathbb{C}^m que contém V . Então $\dim_{\mathbb{C}} V_{\mathbb{C}} = \dim_{\mathbb{R}} V = 1$ e $V_{\mathbb{C}} \cap \mathbb{R}^m = V$.

Para cada ramo R_j de $V_{\mathbb{C}}$ seja $p(z) = x^0 + (z^n, \Sigma a_{j1} z^j, \dots, \Sigma a_{jm} z^j)$ uma parametrização, com $z \in \mathbb{C}$.

Mas $p(z) \in \mathbb{R}^m$ se e somente se $z^n \in \mathbb{R}$ e $\Sigma a_{jk} z^j \in \mathbb{R}$ para $k = 1, \dots, m$.

Escrevendo $z = r e^{i\theta}$ obtemos $z^n \in \mathbb{R}$ se e somente se $n\theta = k\pi$ isto é $z = r\zeta$ onde ζ é uma raiz $2n$ -ésima da unidade. Escolhendo uma raiz ζ e substituindo na série $\Sigma a_{jk} z^j$ obtemos $\Sigma (a_{jk} \zeta^j) r^j \in \mathbb{R}$ para $k = 1, \dots, m$.

Afirmção: Se $p(\zeta r)$ contém pontos de \mathbb{R}^m arbitrariamente próximos de x^0 então $a_{jk} \zeta^j \in \mathbb{R}$ para todo $j \geq 1$ e $k = 1, \dots, m$.

Prova: Fixando k provamos por indução em j .

Para $j = 1$ seja r_i uma seqüência de números reais tal que $\Sigma_{j=1}^{\infty} (a_{jk} \zeta^j) r_i^j \in \mathbb{R}$ então $\frac{1}{r_i} \Sigma_{j=1}^{\infty} (a_{jk} \zeta^j) r_i^j \in \mathbb{R}$ o que implica que

$$\lim_{i \rightarrow \infty} \frac{1}{r_i} \Sigma_{j=1}^{\infty} (a_{jk} \zeta^j) r_i^j = a_{1k} \zeta \in \mathbb{R}$$

Por indução suponhamos que $a_{1k} \zeta, \dots, a_{nk} \zeta^n$ sejam reais então $\frac{1}{r_i} [\Sigma (a_{jk} \zeta^j) r_i^j - \Sigma_{j=1}^n (a_{jk} \zeta^j) r_i^j] \in \mathbb{R}$ então

$$\lim_{i \rightarrow \infty} \frac{1}{r_i^{n+1}} \left[\sum_{j=n+1}^{\infty} (a_{jk} \xi^j) r_i^j \right] = a_{n+1k} \xi^{n+1} \in \mathbb{R}.$$

Como é claro que se todos $a_{jk} \xi^j$ são reais então $p(\xi r) \in \mathbb{R}^m$ provamos que a restrição de $p(z)$ à reta ξr parametriza uma parte do conjunto $R_j \cap \mathbb{R}^m$. De fato usando a afirmação acima pode-se provar (leitor) que $R_j \cap \mathbb{R}^m$ possui no máximo um ramo.

Concluindo assim a prova de 2).

3) Conclusão da demonstração do Lema de Seleção da Curva:

Suponhamos que $\dim V = 1$ e que $0 \in \overline{U \cap V}$.

Seja $p(t)$, $|t| < \epsilon$ ramo passando por 0 que contém pontos de $U = \{x / g_1(x) > 0, \dots, g_l(x) > 0\}$ arbitrariamente próximos de 0. Para cada j a função analítica real $g_j(p(t))$ ou é positiva em algum intervalo $0 < t < \epsilon'$ ou é menor ou igual a 0 neste intervalo. Por hipótese existe sequência $t_k \rightarrow 0$ tal que $g_j(p(t_k)) > 0$ $j = 1, \dots, l$ e para todo k . Tomando uma subsequência se necessário podemos supor que $0 < t_k < \epsilon'$ (ou $-\epsilon' < t_k < 0$) e que o sinal de $g_j(p(t))$ não varia em $(0, \epsilon')$, logo $g_j(p(t)) > 0$ $j = 1, \dots, k$ isto é o semi-ramo $x = p(t)$, $0 \leq t < \epsilon'$ é tal que $p(0) = 0$ e $p(t) \in U$ para $t > 0$ como queríamos.

Exercício: Seja $f \geq 0$ e $g \geq 0$ polinômios reais em \mathbb{R}^m , não negativos que se anulam em um ponto x^0 . Então existe uma vizinhança D de x^0 tal que para todo $x \in D$ se $dg(x)$ e $df(x)$ apontam as direções opostas então $df(x) = 0$.

Prova: Aplicar o Lema de Seleção da curva ao aberto $U = \{x / \langle dg(x), df(x) \rangle < 0\}$ e ao conjunto algébrico

$$V = \left\{ \text{posto} \begin{bmatrix} df(x) \\ dg(x) \end{bmatrix} \leq 1 \right\}$$

$$x \in U \cap V \Leftrightarrow dg(x) = \lambda(x)df(x) \quad \text{e} \quad \lambda(x) < 0.$$

Se $x^0 \in \overline{U} \cap \overline{V}$ pelo Lema de Seleção da Curva existe $p(t)$ tal que $\text{posto} \begin{bmatrix} df(p(t)) \\ dg(p(t)) \end{bmatrix} \leq 1$ e

$$dg(p(t)) = \lambda(p(t))df(p(t)) \quad \text{com} \quad \lambda(p(t)) < 0.$$

Mas $f|_U$ e $g|_U$ são positivas.

$$\text{Logo } f \circ p(t) > 0 \quad t > 0 \quad \text{logo} \quad \frac{df(p(t))}{dt} > 0 \quad \text{e}$$

$$\frac{dg}{df}(p(t)) > 0 \quad \text{absurdo pois}$$

$$\frac{df(p(t))}{dt} = df(p(t)) \cdot p'(t) > 0$$

$$\frac{dg}{df}(p(t)) = dg(p(t)) \cdot p'(t) > 0$$



REFERENCIAS

- [1] A. Andreotti, T. Frankel, The Lefschetz Theorem on
Hyperplane Sections, *Annals of Math.*, 69,
(1959), 713-717.
- [2] V.I. Arnold, *Singularity Theory*, Cambridge University Press
(1981).
- [3] Jose A. Hermida Alonso, Felipe Cano Torres, Lê Dũng Tráng,
Int. A la Geometria de Los Sist. Diferenciales, Col. de Monografias y
Memorias de Matematicas XXX, CSIC Publ.
Del Inst. "Jorge Juan" de Matematicas
Madrid (1983).
- [4] W. Burau, Kennzeichnung der Schlauchknoten, *Abh. Math.
Seminar. Hamburg*, 9 (1932), 125-133.
- [5] J.P. Brasselet, *Publications Université de Lille*.
- [6] K. Brauner, Zur Geometrie der Funktionen Zweier Komplexen
Veränderlichen, *Abh. Math. Sem. Hamburg*,
6 (1928), 1-54.
- [7] E. Brieskorn, Die Monodromie der Isolierten Singularitäten
von Hyperflächen, *Manuscripta Math.*,
vol. 2 (1970), 103-160.

- [8] E. Coddington e N. Levinson, Theory of Ordinary Differential Equations, McGraw-Hill, New York (1955).
- [9] R. Crowell, R. Fox, Introduction to Knot Theory, Springer-Verlag, GTM 57.
- [10] P. Deligne, Equations Differentielles à points Singulier Réguliers, Lec. Notes in Math. 163, Springer-Verlag, (1970).
- [11] P. Griffiths e J. Harris, Principles of Algebraic Geometry John Wiley & Sons Inc. (1978).
- [12] R. Gunning (1), Finite Analytic Mappings, Princeton University Press, Princeton (1974).
- [13] R. Gunning (2), Lect. one Complex Anal. Varieties - The Local Parametrization Thm. - Princeton U. Press.
- [14] R. Gunning e H. Rossi, Analytic Functions of Several Complex Variables - Prentice Hall (1965).
- [15] M.W. Hirsh, Differential Topology, Springer-Verlag, GTM 33 (1976).
- [16] S.M. Husein-Zade, The Monodromy Groups of Isolated Singularities of Hypersurfaces, Russian Math. Surveys 32:2 (1977), 23-65.

- [17] K. Kähler, Über die Verzweigung einer Algebraischen Funktion
Zweier Veränderlichen in der Umgebung
einer singulären Stelle, Math. Zeit.
30 (1929), 188-204.
- [18] M. Kervaire e J. Milnor, Groups of Homotopy Spheres, Ann.
of Math. 77 No. 3 (1963) 399-405.
- [19] H. King, Topological Type of Isolated Critical Points,
Ann. of Math., 107, (1978), 385-397.
- [20] Kendig, K., Elementary Algebraic Geometry Springer Verlag,
N.Y., (1977).
- [21] K. Lamotke (1), The Topology of Complex Projective
Varieties After S. Lefschetz, Topology,
20, (1981), 15-51.
- [22] K. Lamotke (2), Die Homologie Isolierter Singularitäten,
Math. Zeit. 143, (1975), 27-44.
- [23] Lê Dũng Tráng (1), Sur les Noeuds Algébriques, Comp.
Math., 25, fasc. 3, (1972), 281-321.
- [24] Lê Dũng Tráng (2), Topologie des Singularités des
Hypersurfaces Complexes, Asterisque
7 e 8, (1973), 171-182.
- [25] S. Lojasiewicz, Ensembles Semianalytiques, IHES (1965).
- [26] J. Milnor (1), Singular Points of Complex Hypersurfaces,
Annals of Math. Studies, Princeton
University Press., Princeton (1968).

- [27] J. Milnor (2), *Topology from the Differentiable Viewpoint*,
University of Virginia Press (1965).
- [28] J. Milnor (3), *Morse Theory*, *Annals of Math., Studies*,
Princeton University Press, Princeton
(1963).
- [29] B. Malgrange, *Intégrales Asymptotiques et Monodromie*,
Ann. Scient. ENS 7, (1974), 405-430.
- [30] W. Massey, *Algebraic Topology: An Introduction*, N.Y.
Harcourt, Brace & World, (1967).
- [31] P. Orlik, *The Multiplicity of a Holomorphic Map at an
Isolated Critical Point*. *Nordic Summer
School Oslo* (1976), 405-474.
- [32] J.P. Ramis, *Théorèmes D'indices Gevrey pour les équations
Différentielles Ordinaires*, *Mem. of
AMS - vol. 48 # 296* (1984).
- [33] M. Sebastiani (1), *Topologie des Singularites et Monodromie*,
Publ. de Math. Pures et Appliquées,
Un. de Lille n° 96 - (1976).
- [34] M. Sebastiani (2), *Monodromie et Polynome de Bernstein*,
D'Après Malgrange, *Seminaire François
Norguet, Lec. Notes in Math. 670*,
Springer-Verlag (1978), 370-381.

- [35] M. Sebastiani (3), Preuve d'une Conjecture de Brieskorn,
Manuscripta Math., 2, (1970), 301-308.
- [36] M. Sebastiani (4), Un Exposé de la Formule de Leray-Norguet
Bol. da Soc. Bras. de Mat., 1, (1971),
47-57.
- [37] A. Simis, Int. às Funções Algébricas e Funções Abelianas,
10º Col. Bras. de Matemática, IMPA-RJ,
(1975).
- [38] J. Sotomayor, Singularidades de Aplicações Diferenciáveis,
III - ELAM - IMPA - (1976).
- [39] E. Spanier, Algebraic Topology, McGraw-Hill, (1966).
- [40] M. Spivak, A Comprehensive Introduction to Differential
Geometry, vol. II, Publish or Perish,
2nd edition, Berkeley, (1979).
- [41] N. Steenrod, The Topology of Fibre Bundles, Princeton
University Press, (1951).
- [42] Van der Waerden, Modern Algebra - Frederick Ungar, vol. I,
II, (1950).
- [43] R. Walker, Algebraic Curves, Springer-Verlag.
- [44] J. Wolf, Differentiable Fibre Spaces and Mappings
Compatible With Riemannian Metrics.
Mich. Math. Journal, (1964), 65-70.

- [45] H. Whitney, Elementary Structure of Real Algebraic Varieties.
- [46] E.T. Whittaker e G.N. Watson, A Course of Modern Analysis, Cambridge U. Press, (1927).
- [47] O. Zariski, On the Topology of Algebroid Singularities, Amer. J. of Math., 54, (1932), 453-465.
- [48] H. Zassenhaus, The Theory of Groups, Chelsea, (1958).

Introdução à Topologia de Singularidades Complexas

PÁGINA	LINHA	LÊ-SE	LEIA-SE
Prefácio 1ª pg	14	coeficientes	expoentes
4	15	m.d.c.{m: m=r ou b=0} > 1	m.d.c.{m: m=r ou b _m ≠0} > 1
11	2	$P_i^{n_i-1} Q_i^{-n_i}$	$P_i^{n_i-1} Q_i^{-n_i}$
14	1	[Zassenhaus]	[Zariski]
16	6	$(-1)^g f_{t_1, n_1}(t^{v_2}) \dots f_{t_{g-1}, n_{g-1}}(t^{v_2}) \dots f_{t_{g-1}, n_{g-1}}(t^{v_2})$	$(-1)^g f_{t_1, n_1}(t^{v_2}) \dots f_{t_{g-1}, n_{g-1}}(t^{v_2}) \dots f_{t_{g-1}, n_{g-1}}(t^{v_2})$
		$(-1)^{g'} f_{t_1, n_1}(t^{v_2}) \dots f_{t_{g-1}, n_{g-1}}(t^{v_2}) \dots f_{t_{g-1}, n_{g-1}}(t^{v_2})$	$(-1)^{g'} f_{t_1, n_1}(t^{v_2}) \dots f_{t_{g-1}, n_{g-1}}(t^{v_2}) \dots f_{t_{g-1}, n_{g-1}}(t^{v_2})$
16	8	$(-1)^g f_{t_1, n_1}(t^{n_2 \dots n_{g-1}}) \dots f_{t_{g-1}, n_{g-1}}(t^{n_{g-1}})$	$(-1)^g f_{t_1, n_1}(t^{n_2 \dots n_{g-1}}) \dots f_{t_{g-1}, n_{g-1}}(t^{n_{g-1}})$
		$(-1)^{g'} f_{t_1, n_1}(t^{n_2 \dots n_{g-1}}) \dots f_{t_{g-1}, n_{g-1}}(t^{n_{g-1}})$	$(-1)^{g'} f_{t_1, n_1}(t^{n_2 \dots n_{g-1}}) \dots f_{t_{g-1}, n_{g-1}}(t^{n_{g-1}})$
32	3	diomorfia a $R^{2n} F_0 = f^{-1}(R_+) \cap S_e$	difeomorfia a $R^{2n} (F_0 = f^{-1}(R_+) \cap S_e)$
52	24	$G S_e^{-N_\eta} : S_e^{-N_\eta} \rightarrow R_+$	$G S_e^{-N_\eta} : S_e^{-N_\eta} \rightarrow R_+$

/...

PÁGINA	LINHA	LÊ-SE	LEIA-SE
58	5	$H_{n-1}(K) \simeq \mathbb{Z} \oplus$	$H_{n-1}(K) \simeq \mathbb{Z}_2$
61	6	$\psi(f^{-1}(0) \cap U) = g^{-1}(0) \cap V$	$\psi(f^{-1}(0) \cap U) = g^{-1}(0) \cap V$
68	12	$B \subset A+B$	$B \hookrightarrow A+B$
72	6	$\partial f^{-1}(0) \cap D$ e $\partial f^{-1}(0) \cap \partial D = \emptyset$	$\partial f^{-1}(0) \cap \partial D = \emptyset$
74	13	$dg(x) : T_x^N + T_x^N(N)$	$dg(x) : T_x^N + T_x^N$
82	5	$k+1$	k
83	18	$A \subset B''$	$A \subset B$
86	15	$0_{Y,Z/G}$	$0_{Y,Z/G}$
86	17	heromorfias	meromorfias
88	5	$\partial f(z_1, z_2(z_1, y), \dots) = y$	$\partial f(z_1, z_2(z_1, y), \dots) = y$
96	13	$f _{f^{-1}(\lambda_1)} : f^{-1}(\lambda_1) \rightarrow \lambda_1$	$f _{f^{-1}(\lambda_1)} : f^{-1}(\lambda_1) \rightarrow \lambda_1$
103	2	seção de TS^n	seção nula de TS^n
110	10	[Massey]	[Steenrod]
112	17	[Crowell-Fox]	[Zassenhaus]
142	7	$M = V - \Sigma(V)$	$M_1 = V - \Sigma(V)$
142	13	$Y - W$	$V - W$

Impresso na Gráfica do

